

## اثرهای صورت‌بندی، فضایی و فضالکترونی

## مقدمة

شکل‌های مختلفی که یک مولکول می‌تواند به خود بگیرد، صورت‌بندی‌های آن مولکول نامیده می‌شوند. انرژی کل یک مولکول با شکل آن رابطه‌ای مستقیم دارد. این انرژی کل از چند مؤلفه تشکیل می‌شود که آنها را تا حدی می‌توان به ویژگی‌های ساختاری مشخصی نسبت داد. از جمله عواملی که در انرژی کل سهم دارند و ارتباط قابل درکی با ساختار مولکولی دارند، می‌توان به برهمنکنش‌های غیرپیوندی، کشش حلقه در سیستم‌های حلقوی، کشش‌های پیچشی ناشی از پوشیدگی پیوندها، ناپایدارشدن به دلیل انحراف طول پیوندی یا زاویه پیوندی از مقادیر بهینه اشاره کرد. بر عکس، عوامل پایدارکننده‌ای هم وجود دارند که دارای قیدهای هندسی هستند. اکثر این عوامل را می‌توان در زمرة اثرهای فضالکترونی به شمار آورد؛ یعنی برای بیشینه‌شدن برهمنکنش‌های پایدارکننده به یک رابطه هندسی خاص نیاز است. به علاوه، برهمنکنش‌های دیگری نیز وجود دارد مثل تشکیل پیوند هیدروژنی یا برهمنکنش‌های دوقطبی-دوقطبی که برای آنها قدرت برهمنکنش بهشت به شکل هندسی مولکول بستگی دارد. اصولی که تحلیل تعابونهای صورت‌بندی بر آنها استوار است، در چارچوبی بسط یافته‌اند که خود پایه در مکانیک کلاسیک دارد. یک مولکول، کم انرژی‌ترین شکلی را به خود می‌گیرد که از چرخش حول پیوندهای ساده خود و تنظیم زاویه‌ها و طول پیوندها حاصل می‌شود. از آنجاکه طول پیوندها و زوایای پیوندی از مولکولی به مولکول دیگر نسبتاً به طور جزئی تغییر می‌کند، شکل مولکولی در وهله نخست به وسیله فرایندهای چرخشی آن تعیین می‌شود. بسیاری از مولکول‌ها به دلیل انحراف از شکل‌های هندسی ایده‌آل از خودکشش نشان می‌دهند. انرژی کشش، مقدار انرژی اضافی در مقایسه با یک مولکول مرجع و فاقد کشش است. در این فصل توجه خود را به منابع کشش و تغییر واکنش پذیری در اثر کشش معطوف خواهیم داشت.<sup>۱</sup>

از دیدگاه اوریتال مولکولی، انرژی مولکول برابر حاصل جمع انرژی اوریتال‌های اشغال شده است. محاسبه انرژی کل در آرایش فضایی متفاوت نشان می‌دهد که انرژی تابعی از شکل هندسی است. تفسیر فیزیکی این حکم بر حسب مؤثر بودن همپوشانی اوریتال‌ها امکان‌پذیر است. همپوشانی بیشینه میان اوریتال‌هایی که برهمکنش پیوندی دارند، انرژی مولکولی را کاهش دهنده است. اصطلاح اثر فضای الکترونی برای در برگرفتن آن دسته از روابط میان ساختار، چرخش، انرژی و واکنش‌پذیری به کار می‌رود که می‌توان آنها را به برهمکنش‌های اوریتالی به شکل هندسی ربط داد.

**۱-۳ کشش و مکانیک مولکولی**  
سیستمی برای تحلیل اختلاف انرژی میان مولکول‌ها و میان صورت‌بندی‌های گوناگون آنها وجود دارد که مفاهیم

بنیادی آن را مستعار فرمول بندی کرده است.<sup>۲</sup> این روش اکنون به عنوان مکانیک مولکولی شناخته می‌شود. یک مولکول آن شکل هندسی را می‌پذیرد که انرژی کل آن را کمینه کند. این شکل هندسی با کمترین انرژی ممکن، تا حدی تحت کشش قرار دارد که حد کشش به میزان انحراف پارامترهای ساختاری آن از مقادیر ایده‌آل آنها بستگی دارد. انرژی مربوط به یک نوع خاص از انحراف، تابعی از میزان انحراف و نیروی مقابله کننده با آن انحراف است. انرژی کشش کل که ابتدا به آن انرژی فضایی گفته می‌شد، حاصل جمع چند مؤلفه است:

$$E_{\text{steric}} = E(r) + E(\theta) + E(\phi) + E(d)$$

که  $E(r)$  مؤلفه مربوط به کشیده شدن یا فشرده شدن پیوندها،  $E(\theta)$  انرژی انحراف زوایای پیوندی،  $E(\phi)$  کشش پیچشی و  $E(d)$  افزایش انرژی ناشی از برهمکنش‌های غیرپیوندی میان اتم‌هاست. محاسبات مکانیک مولکولی شامل جمع زدن میدان‌های نیرویی مربوط به هر کدام از انواع کشش می‌شود.

عبارت‌های ریاضی برای این میدان‌های نیرو را می‌توان از توابع انرژی پتانسیل مکانیک به دست آورد. انرژی لازم برای کشیدن یک پیوند یا خمیده کردن یک زاویه پیوندی به صورت تابعی از مریع انحراف افزایش می‌یابد. برای کشیده شدن پیوند داریم:

$$E(r) = 0.5k_r(r - r_0)^2$$

که  $k_r$  ثابت نیروی کششی،  $r$  طول پیوند و  $r_0$  طول پیوند عادی است. برای خمیده شدن زاویه پیوند داریم:

$$E(\theta) = 0.5k_\theta(\Delta\theta)^2$$

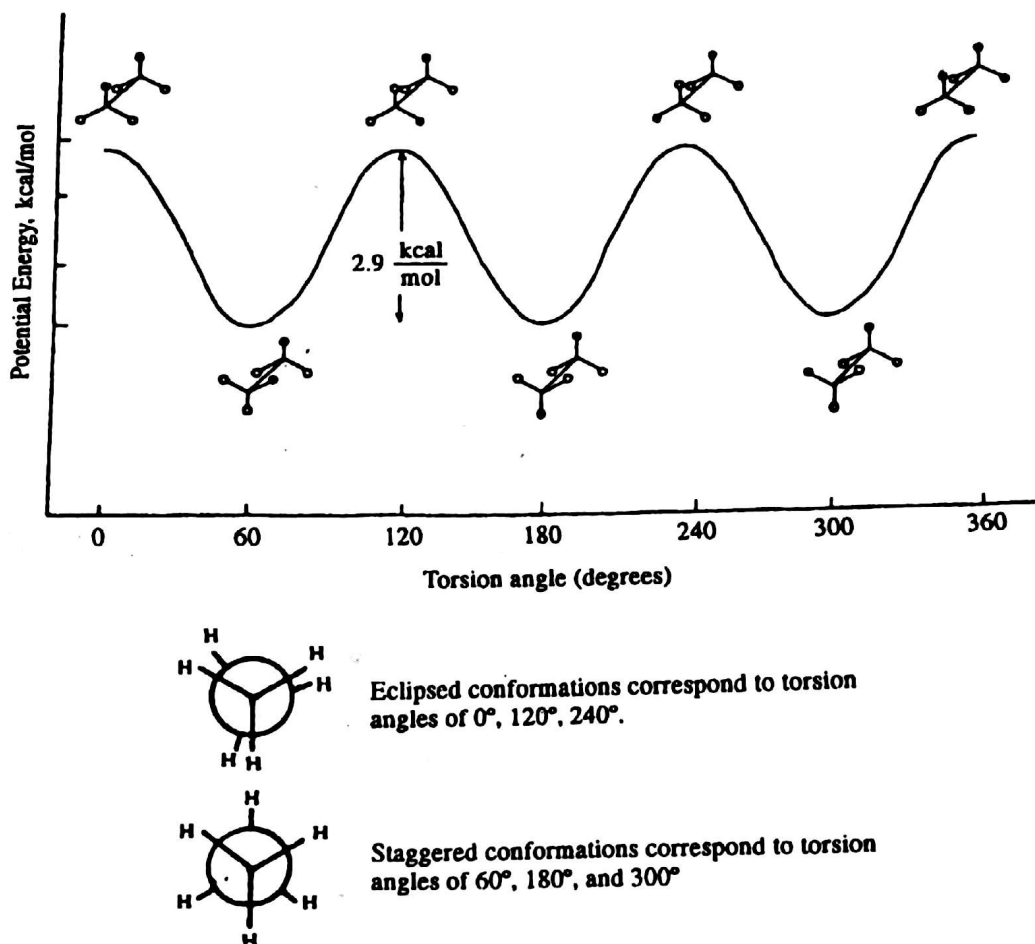
که  $k_\theta$  ثابت نیروی خمشی و  $\Delta\theta$  انحراف زاویه پیوندی از مقداری عادی آن است.

کشش پیچشی، تابعی سینوسی از زاویه پیچشی است. کشش پیچشی از یک سد انرژی نتیجه می‌شود که در مقابل چرخش پیوند ساده مقاومت می‌کند که مثال آن را برای مولکول اتان در فصل دو دیدیم. برای مولکول‌هایی با سد سه گانه مثل اتان، شکل سد پیچشی به صورت زیر است:

$$E(\phi) = 0.5V_0(1 + \cos 3\phi)$$

که  $V_0$  سد انرژی چرخشی و  $\phi$  زاویه پیچش است. برای هیدورکرین‌ها،  $V_0$  را می‌توان برابر با همان سد انرژی اتان (2.8–2.9 kcal/mol) برابر گرفت. نمودار انرژی پتانسیل برای چرخش حول محور C–C اتان در شکل ۱-۳ داده شده است.

تعیین سهم انرژی‌های مربوط به برهمکنش‌های غیرپیوندی، که ممکن است از نوع دافعه یا جاذبه باشند، از همه دشوارتر است. هنگامی که دو اتم بدون بار به هم نزدیک می‌شوند، برهمکنش میان آنها در فواصل دور بسیار کوچک است و با نزدیک شدن فاصله میان آنها به حاصل جمع شعاع‌های واندروالسی آنها، جاذبه میان آنها افزایش یابد ولی از آن پس (یعنی با کمتر شدن فاصله میان آنها از حاصل جمع شعاع واندروالسی) نیروی دافعه است که افزایش می‌یابد. این رفتار را می‌توان در نمودار مورس مشاهده کرد که نمونه آن در شکل ۲-۳ نشان داده شده است. برهمکنش جاذبه‌ای رانیروهای لاندن یا نیروهای پراکنده‌ای نامیده‌اند که برهمکنش‌هایی نسبتاً ضعیف هستند. نیروهای لاندن با توان ششم فاصله میان هسته اتم‌ها رابطه عکس دارند و با افزایش این فاصله می‌توان از این نیروها چشم پوشی کرد. در فواصل کوچکتر از حاصل جمع شعاع‌های واندروالسی، نیروهای دافعه که به مراتب قوی‌تر هستند، غالب می‌شوند. در جدول ۱-۳ فهرستی از شعاع واندروالسی اتم و گروه‌های متداول در مولکول‌های آلی ارائه شده است.



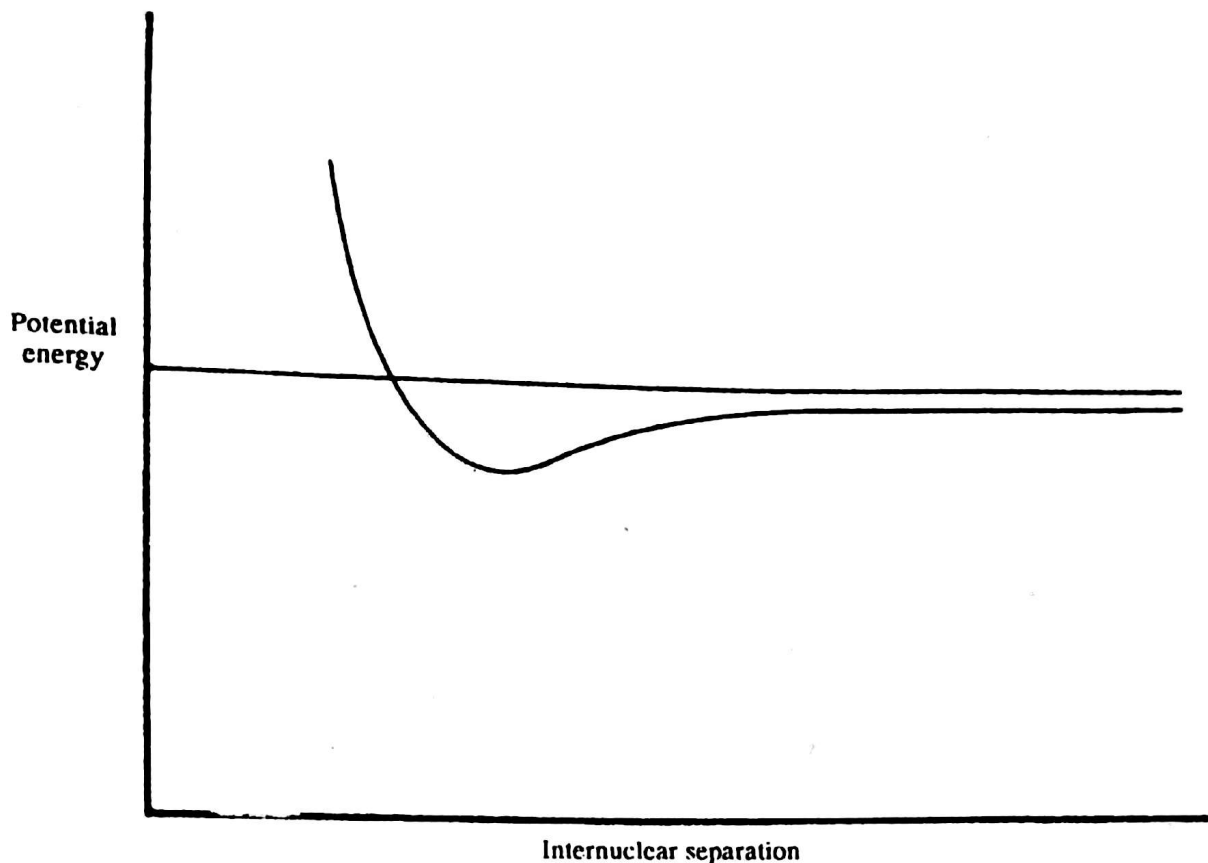
شکل ۱-۳ انرژی پتانسیل به عنوان تابعی از زاویه پیچش برای اتان.

کشش متقابل و کشش پیچشی بر همکنش‌های غیرپیوندی را می‌توان با بررسی صورت‌بندی‌های *n*-بوتان درک کرد. رابطه میان انرژی پتانسیل و زاویه پیچش برای چرخش حول پیوند (2)-C(3)-C(4) در شکل ۳-۳ نشان داده شده است. نمودار انرژی پتانسیل بوتان از آن لحاظ که سه نقطه بیشینه و سه نقطه کمینه دارد، به نمودار اتان شباهت دارد ولی تفاوت آن در این است که یکی از نقاط کمینه از دو نقطه کمینه دیگر پایین‌تر و یکی از سه نقطه بیشینه از دو نقطه بیشینه دیگر بالاتر است. نقاط کمینه به صورت‌بندی‌های نپوشیده تعلق دارند که از میان آنها صورت‌بندی آنتی انرژی‌کمتری از دو صورت‌بندی گوش دارد. اختلاف انرژی میان صورت‌بندی‌های آنتی و گوش در بوتان حدود 0.8 kcal/mol است.<sup>a</sup> نقاط بیشینه به صورت‌بندی‌های پوشیده مربوط می‌شوند که پرانرژی‌ترین آنها صورت‌بندی است که در آن دو گروه متیل یکدیگر را پوشش می‌دهند. انرژی صورت‌بندی پوشیده متیل-متیل از انرژی صورت‌بندی پوشیده متیل-هیدروژن حدوداً 2.6 kcal/mol و از انرژی صورت‌بندی آنتی نپوشیده، حدوداً 6 kcal/mol بیشتر است.

جدول ۱-۳ شعاع‌های واندروالسی برای چند اتم و گروه ( $A_0$ ).

H	1.20		CH <sub>3</sub>	2.0
N	1.55	P	1.80	
O	1.52	S	1.80	
F	1.47	Cl	1.75	Br
			1.85	I
				1.98

a. From A. Bondi, *J. Phys. Chem.* 68:441 (1964).



**شکل ۳-۳** انرژی بعنوان تابعی از فاصله میان دو هسته برای اتمهای پیوند نیافته.

این نمودار چرخشی بوتان را می‌توان با برهم‌نهی نیروهای وان دروالسی بر نمودار انرژی چرخشی اتان درک کرد. دو صورت‌بندی گوش نسبت به صورت‌بندی آنتی انرژی بیشتر دارند که افزایش انرژی از دافعه وان دروالسی میان دو گروه متیل ناشی می‌شود که برابر با  $0.8 \text{ kcal/mol}$  است. صورت‌بندی‌های پوشیده همگی نسبت به صورت‌بندی‌های نپوشیده دارای کشش پیچشی برابر با  $2.8 \text{ kcal/mol}$  هستند که این وضعیت درست مثل اتان است. صورت‌بندی پوشیده متیل علاوه بر این تحت کشش ناشی از دافعه وان دروالسی میان گروه‌های متیل است. دافعه وان دروالسی میان متیل و هیدروژن در صورت‌بندی‌های پوشیده دیگر کوچک‌تر است. سد پوشیده متیل دقیقاً مشخص نیست. گستره آن در مقادیر تجربی و نظری بین  $4.0$  و  $6.6 \text{ kcal/mol}$  است. جدیدترین مقادیر، در حد پایین گستره فوق گزارش شده است<sup>۴</sup>. صورت‌بندی‌های پوشیده  $120^\circ$  و  $240^\circ$  به اندازه  $0.6 \text{ kcal/mol}$  بالاتر از کشش پیچشی هستند یعنی به اندازه  $0.3 \text{ kcal/mol}$  برای هر کدام از دافعه‌های متیل-هیدروژن. جمعیت صورت‌بندی‌های گوناگون طبق معادله زیر به انرژی میان آنها ربط داده می‌شود:

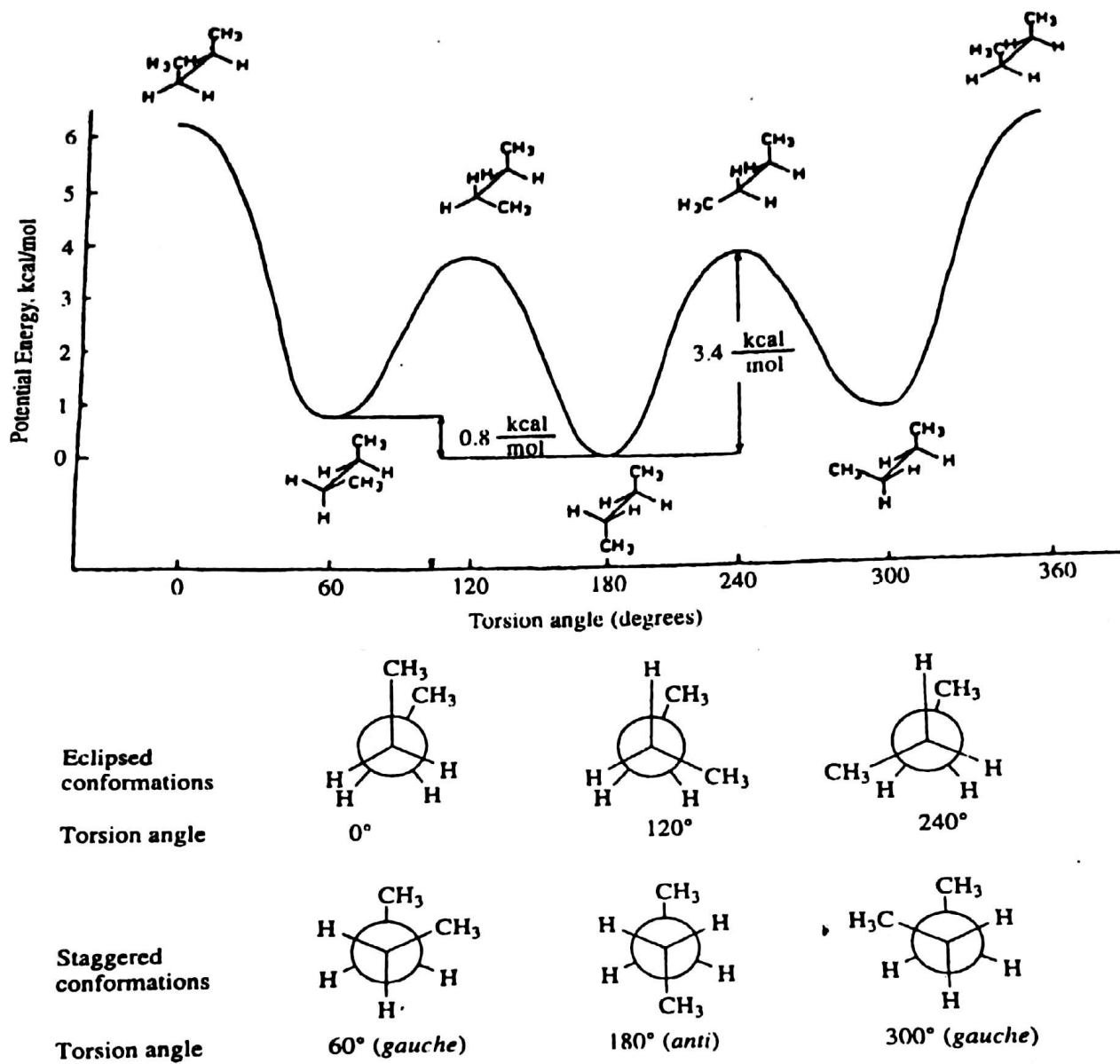
$$\Delta G^\circ = -RT \ln K$$

برای مورد بوتان، تعادل زیر دارای  $\Delta H^\circ = -0.8 \text{ kcal/mol}$  است:

آنلى گوش

چون دو صورت بندی گوش داریم که با هم انانتیومرند، انرژی آزاد، سهم آنتروپی را هم منعکس می‌کند:

$$\Delta S^\circ = -R \ln 2$$



شکل ۳-۳ نمودار انرژی پتانسیل برای چرخش حول پیوند (2)-C(3)-(3)-C در بوتان.

در 298K

$$= -0.8 \text{ kcal/mol} - (-RT \ln 2)$$

$$\Delta G^\circ = -0.8 \text{ kcal/mol} + 0.41 \text{ kcal/mol} = -0.39 \text{ kcal/mol}$$

$$K = [\text{anti}][\text{gauche}] = 1.9$$

این متناظر با توزیع 66% آنتی و 34% گوش است. در جدول ۲-۳ رابطه میان اختلاف انرژی آزاد، تعادل و ترکیب درصد مخلوط دوجزئی شده است.

مثال‌هایی از برهمکنش‌های غیرپیوندی جاذبه‌ای را می‌توان در برخی هیدروکربن‌های هالوژن‌دار یافت. برای شال، در ۱-کلروپروپان، صورت‌بندی گوش قدری بر صورت‌بندی آنتی در حالت تعادل ترجیح داده می‌شود. این تنها از ضریب آماری (آنتروپی) ۲ به ۱ نتیجه می‌شود، بلکه  $\Delta H = (0.3 + 0.3) \text{ kcal/mol}$  را منعکس می‌کند که به ک نیروی جاذبه لاندن نسبت داده می‌شود. فاصله اتم کلر و گروه متیل در صورت‌بندی گوش حدوداً به اندازه ناصل جمع شعاع‌های واندروالسی آنهاست.<sup>۵</sup>

جدول ۳-۲ روابط میان ترکیب درصد، تعادل و انرژی آزاد.

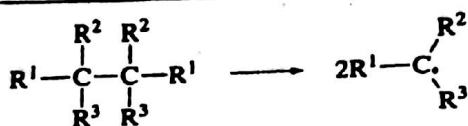
More stable isomer (%)	Equilibrium constant (K)	Free energy $\Delta G_{25}^{\circ}$ (kcal/mol)
50	1	0.0
55	1.22	-0.119
60	1.50	-0.240
65	1.86	-0.367
70	2.33	-0.502
75	3.00	-0.651
80	4.00	-0.821
85	5.67	-1.028
90	9.00	-1.302
95	19.00	-1.744
98	49.00	-2.306
99	99.00	-2.722
9.9	999.00	-4.092

a. From E. L. Eliel, *Stereochemistry of Carbon Compounds*, McGraw-Hill, New York, 1962.

تفکیک انرژی کششی کل به مؤلفه‌های کشش طول پیوند، کشش زاویه پیوندی، کشش پیچشی و دافعه غیرپیوندی به شیوه‌ای کیفی برای تحلیل و توجیه اثرهای فضایی و ساختاری بر تعادل‌ها و واکنش‌پذیری مفید است. به کارگیری کمی اصول مکانیک مولکولی برای محاسبات شکل هندسی در حالت پایه، گرمای تشکیل و انرژی‌های کشش تا حد زیادی گسترش یافته است. کمینه‌سازی انرژی کشش کل یک مولکول، که به وسیله یک معادله چند پارامتری برای هر کدام از میدان‌های نیرو بیان می‌شود، با محاسبات پیاپی قابل انجام است. این روش‌های محاسباتی تا بدان حد بهبود یافته‌اند که شکل هندسی هیدروکربن‌هایی با اندازه معمولی را با صحت  $0.01\text{ \AA}$  (در طول پیوند) و  $1$  تا  $2^\circ$  در زاویه پیوند به دست می‌دهند.<sup>۱</sup> همین میزان صحت را می‌توان از محاسبات مربوط به گستره وسیعی از مولکول‌ها که شامل گروه‌های عاملی معمولی و نیز واسطه‌های معین مثل کربوکاتیون می‌شود، انتظار داشت.<sup>۷</sup> در این نوع سیستم‌ها، جمله‌هایی برای برهمکنش‌های دوقطبی-دوقطبی و قطبش متقابل را باید در معادلات پارامتری منظور کرد. این محاسبات را به وسیله چند برنامه کامپیوتری که در دسترس هستند، می‌توان انجام داد. خواص پارامترهای مورد استفاده در برنامه حد کارایی و قابلیت اطمینان نتایج به دست آمده را تعیین می‌کند. برای اجرای محاسبات چند سیستم پارامترها و معادلات ارائه شده است. پرکاربردترین سیستم در شیمی آلی، سیستمی است که آلینجر و همکاران ابداع کرده‌اند و معمولاً از آن به عنوان محاسبات MM (مکانیک مولکولی) یاد می‌شود.<sup>۸</sup> آخرین نسخه این سیستم به MM3 معروف است. محاسبات در این سیستم شامل تکرار عملیات می‌شود تا اینکه انرژی کمینه یافته شود. برای اینکه یک کمینه سرتاسری و نه موضعی یافته شود، باید دقت به عمل آورد. برای این منظور، از چند شکل هندسی اولیه متفاوت استفاده می‌شود که همگی باید به ساختاری با انرژی کمینه یکسان منجر شوند.

مثالی از کاربرد مکانیک مولکولی در پژوهش روی واکنش‌های شیمیایی، مطالعه همبستگی میان کشش فضایی در یک مولکول و سهولت گسترشی پیوندهای کربن-کربن است. برای یک سری اثان‌های شش استخلافی، معلوم شد بین کشش محاسبه شده به روش مکانیک مولکولی و سرعت ترمولیز همبستگی خوبی وجود دارد.<sup>۹</sup> برخی از این داده‌ها در جدول ۳-۳ داده شده است.

**جدول ۳-۳ همبستگی میان کشش درون مولکولی به دست آمده محاسبات MM و انرژس فعال شده برای تفکیک پیوندهای C-C در اتان‌های استخلاف شده.**



$\Delta G^\ddagger$ (kcal/mol)	MM strain (kcal/mol)	$\Delta G^\ddagger$ (kcal/mol)	MM strain (kcal/mol)				
R <sup>1</sup>	R <sup>2</sup>	R <sup>3</sup>	R <sup>1</sup>	R <sup>2</sup>	R <sup>3</sup>		
H	H	H	Ph	H	CH <sub>3</sub>	50	3.6
CH <sub>3</sub>	H	H	Ph	H	C <sub>2</sub> H <sub>5</sub>	49.7	4.8
CH <sub>3</sub>	CH <sub>3</sub>	H	Ph	H	CH(CH <sub>3</sub> ) <sub>2</sub>	47.4	8.4
CH <sub>3</sub>	CH <sub>3</sub>	CH <sub>3</sub>	Ph	H	C(CH <sub>3</sub> ) <sub>3</sub>	42.1	22.2
CH <sub>3</sub>	CH <sub>3</sub>	C <sub>2</sub> H <sub>5</sub>	Ph	CH <sub>3</sub>	CH <sub>3</sub>	37.9	18.4
CH <sub>3</sub>	CH <sub>3</sub>	CH(CH <sub>3</sub> ) <sub>2</sub>	Ph	CH <sub>3</sub>	C <sub>2</sub> H <sub>5</sub>	34.9	23.7
CH <sub>3</sub>	CH <sub>3</sub>	C(CH <sub>3</sub> ) <sub>3</sub>	Ph	CH <sub>3</sub>	CH(CH <sub>3</sub> ) <sub>2</sub>	26.7	40.9

a. C. Rüchardt and H.-D. Beckhaus, *Angew. Chem. Int. Ed. Engl.* 19:429 (1980).

### ۲-۳ صورت‌بندی در مولکول‌های غیر حلقوی

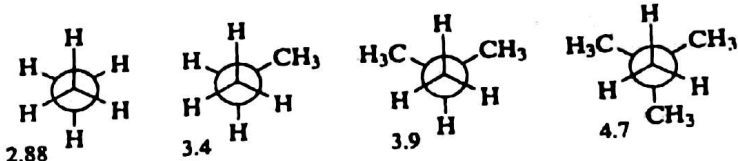
صورت‌بندی هیدروکربن‌های غیر حلقوی را با سطدادن اصول مطرح شده در تحلیل تعادل‌های چرخشی بوتان و اتان می‌توان تفسیر کرد. صورت‌بندی‌های نپوشیده متاظر با انرژی صورت پتانسیل کمینه و صورت‌بندی‌های پوشیده متاظر با انرژی پتانسیل بیشینه‌اند. از میان صورت‌بندی‌های نپوشیده، شکل‌های آنتی از شکل‌های گوش پایدارترند. مقدار سدهایی که مقابل چرخش در بسیاری از مولکول‌های آلى اندازه گیری شده‌اند.<sup>۱۰</sup> برخی مثال‌های این تابع در جدول ۴-۳ داده شده است. تکنیک‌های تجربی مورد استفاده برای مطالعه فرایندهای چرخشی شامل طیف‌نگاری ریزموچ، پراش الکترونی، جذب فرا صوتی و طیف‌نگاری زیرقرمز (IR) می‌شود.<sup>۱۱</sup>

### جدول ۴-۳ سدهای انرژی چرخشی ترکیبات از نوع CH<sub>3</sub>-X

Compound	Barrier height (kcal/mol)
<b>Alkanes</b>	
1. CH <sub>3</sub> -CH <sub>3</sub>	2.88
2. CH <sub>3</sub> -CH <sub>2</sub> CH <sub>3</sub>	3.4
3. CH <sub>3</sub> -CH(CH <sub>3</sub> ) <sub>2</sub>	3.9
4. CH <sub>3</sub> -C(CH <sub>3</sub> ) <sub>3</sub>	4.7
5. CH <sub>3</sub> -SiH <sub>3</sub>	1.7
<b>Haloethanes</b>	
6. CH <sub>3</sub> -CH <sub>2</sub> F	3.3
7. CH <sub>3</sub> -CH <sub>2</sub> Cl	3.7
8. CH <sub>3</sub> -CH <sub>2</sub> Br	3.7
9. CH <sub>3</sub> -CH <sub>2</sub> I	3.2
<b>Heteroatom substitution</b>	
10. CH <sub>3</sub> -NH <sub>2</sub>	1.98
11. CH <sub>3</sub> -NHCH <sub>3</sub>	3.62
12. CH <sub>3</sub> -OH	1.07
13. CH <sub>3</sub> -OCH <sub>3</sub>	2.7

a. Taken from the compilation of J. P. Lowe, *Prog. Phys. Org. Chem.* 6:1 (1968); barriers are those for rotation about the bond indicated in the formula.

با قرارگرفتن هر گروه متیل به جای یکی از اتم‌های هیدروژن روی کربن‌ها، به طور منظم حدود ۰.۵–۰.۶ kcal/mol به ارتفاع سد انرژی چرخشی افزوده شود. این سد در اتان ۲.۸۸ kcal/mol و در پروپان برابر ۳.۴ kcal/mol است که این افزایش ۰.۵ kcal/mol به پوشیده شدن گروه متیل و هیدروژن مربوط می‌شود. هنگامی که دو برهمنکنش متیل-هیدروژن رخ می‌دهد (مثل مورد ۲-پروپان) سد انرژی به ۳.۹ kcal/mol افزایش می‌یابد. این افزایش با رسیدن به ۲،۲-دی‌متیل پروپان که در آن سد انرژی برابر با ۴.۸ kcal/mol است، به ۱.۸ kcal/mol می‌رسد که به سه برهمنکنش پوشیدگی هیدروژن-متیل مربوط می‌شود.

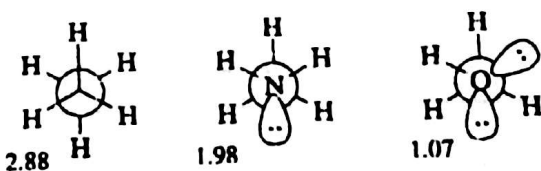


افزایش سد انرژی چرخشی با زیادشدن تعداد برهمنکنش‌های پوشیدگی  $\text{CH}_3/\text{H}$

سد چرخشی در متیل سیلان (جدول ۴-۳، مدخل پنجم) به طور چشمگیری از اتان کوچکتر است (۱.۷ در برابر ۲.۸۸ kcal/mol). این نشان‌دهنده کاهش دافعه‌های الکترون-الکترونی در صورت‌بندی پوشیده است که نتیجه افزایش طول پیوند کربن-سیلیکون ( $1.87\text{\AA}$ ) در مقایسه با طول پیوند کربن-کربن ( $1.54\text{\AA}$ ) در اتان است.

همه هالوآتان‌ها دارای سدهای چرخشی مشابه در گستره ۳.۷–۳.۲ kcal/mol هستند. افزایش ارتفاع سد نسبت به اتان احتمالاً از دافعه واندروالسی ناشی می‌شود. هالوژن‌های سنگین‌تر، شعاع واندروالسی بزرگتر دارند ولی این شعاع بیشتر به دلیل پیوند بیشتر در حاشیه قرار می‌گیرد به طوری که اثر نهایی، ثابت ماندن نسبی سد چرخشی برای هر کدام از اتیلن هالید‌هاست.

با تغییر دادن اتم متصل به گروه متیل از کربن به نیتروژن و سپس اکسیژن، یعنی از اتان به متیل‌آمین و متانول، سد چرخشی از ۲.۸۸ به ۱.۹۸ و سپس ۱.۰۷ kcal/mol کاهش می‌یابد. این مقادیر، نسبت تقریبی ۳ به ۲ به ۱ را برای تعداد برهمنکنش‌های پوشیدگی  $\text{H}-\text{H}$  در این سه مولکول به دست می‌دهند.

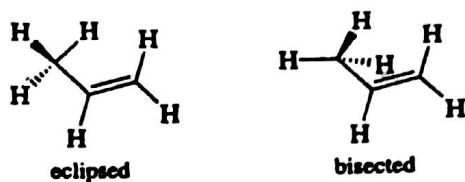


کاهش سد چرخشی با تعداد برهمنکنش‌های پوشیدگی  $\text{H}-\text{H}$ .

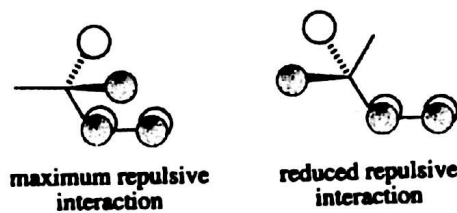
در مدخل‌های ۱۱ و ۱۳ جدول ۴-۳، داده‌های مربوط به اثر جایگزینی متیل روی متانول و متیل‌آمین ارائه شده است. داده‌ها نشان‌دهنده افزایش پاسخ به جایگزین شدن گروه متیل هستند. در حالی که سد انرژی برای پروپان ۳.۴ kcal/mol است (در مقایسه با ۲.۸۸ kcal/mol در اتان)، سد انرژی برای دی‌متیل‌آمین ( $3.6\text{kcal/mol}$  در مقایسه با ۱.۹۸ kcal/mol در متیل‌آمین) و برای دی‌متیل اتر برابر با  $2.7\text{kcal/mol}$  در مقایسه با  $1.07\text{kcal/mol}$  برای متانول) است. از این رو، در حالی که پوشیدگی متیل-هیدروژن، سد پروپان را به اندازه  $0.5\text{kcal/mol}$  بالا برده است. افزایش برای دی‌متیل اتر و دی‌متیل‌آمین برابر با  $1.6\text{kcal/mol}$  است. این افزایش سد به دافعه‌های واندروالسی نسبت داده می‌شود که نتیجه کوتاه‌تر بودن پیوندهای  $\text{C}-\text{N}$  و  $\text{C}-\text{O}$  در مقایسه با پیوند  $\text{C}-\text{C}$  است.

دو گروه صورت‌بندی برای آلکن‌های انتهاهی موجود است. این دو گروه عبارتند از صورت‌بندی‌های پوشیده

و صورت‌بندی‌های نیمسازی که در شکل زیر برای پروپن داده شده‌اند.<sup>۱۲</sup>

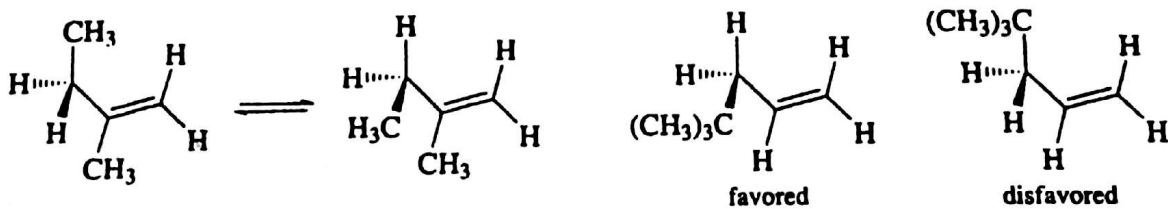


علت ارجحیت صورت‌بندی پوشیده برای پروپن را می‌توان به کمک MO و با بذل توجه به برهمکنش میان پیوند دوگانه و مؤلفه  $\pi$  اوربیتال‌های مرتبط با گروه متیل توضیح داد. برهمکنش غالب، یک برهمکنش دافعه میان اوربیتال‌های پرشده گروه متیل و اوربیتال  $\pi$  پرشده پیوند دوگانه است. این برهمکنش در صورت‌بندی نیمسازی نسبت به صورت‌بندی پوشیده بیشتر است.<sup>۱۳</sup>



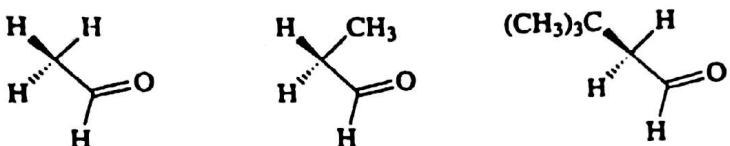
صورت‌بندی‌های A و B از نوع پوشیده هستند در حالی که C و D از نوع نیمسازی‌اند. به کمک طیف‌نگاری ریز‌موج معلوم شده است که صورت‌بندی‌های پوشیده از صورت‌بندی‌های نیمسازی و B به میزان حدوداً ۰.۵ kcal/mol از A پایدارتر است.<sup>۱۴</sup> با محاسبات MO در سطح 6-31G\* برای A تا D به ترتیب انرژی‌های نسبی ۱.۷۴ kcal/mol، ۰.۰۰، ۰.۲۵، ۰.۰۷۵ یافته شده است.<sup>۱۲</sup>

جایگزینی بیشتر می‌تواند باعث واردشدن عوامل اضافی، به‌ویژه دافعه‌های غیرپیوندی، شود که بر تعادل‌های چرخشی تأثیر می‌گذارد. برای مثال، جایگزین متیل در 2-C-2، مثل ۲-متیل-۱-بوتن، باعث واردشدن برهمکنش گوش متیل-متیل در صورت‌بندی مشابه با B می‌شود و در نتیجه در ۲-متیل-۱-بوتن در صورت‌بندی پوشیده انرژی تقریباً یکسان دارند.<sup>۱۵</sup> با افزایش اندازه گروه در 3-C-3، ارجحیت برای صورت‌بندی پوشیده مشابه با B به قیمت A افزایش می‌یابد. ۴،۴-دی‌متیل-۱-پنتن عمدتاً در صورت‌بندی هیدروژن پوشیده یافت می‌شود.



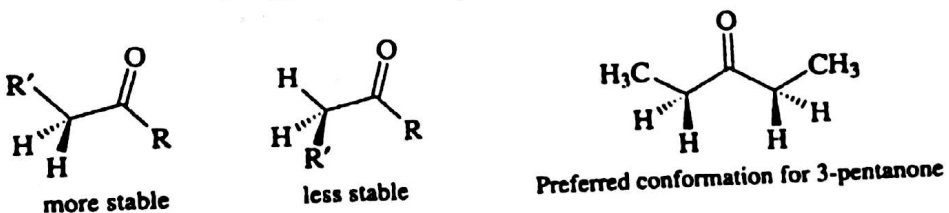
صورت‌بندی‌های ارجح ترکیبات کربونیل، مثل صورت‌بندی‌های ۱-آلکن‌ها بیشتر در حالت پوشیده‌اند تا نیمسازی که این برای استالدهید و پروپونالدهید در زیر نشان داده شده است. سد انرژی برای استالدهید ۱.۲ kcal/mol است.<sup>۱۶</sup> این حدوداً یک‌سوم سد انرژی در اتان است و محاسبات MO نشان می‌دهد که علت اصلی وجود این سد تا حد زیادی دافعه هیدروژن-هیدروژن در صورت‌بندی است که در آن هیدروژن آلدید با هیدروژن گروه متیل پوشیده می‌شود.<sup>۱۳</sup> تحلیل مشروح تر نشان داده است که برای تحلیل کمی این سد انرژی، شکل هندسی مولکول باید قدری تنظیم گردد از جمله اینکه طول پیوند σ باید قدری بیشتر در نظر گرفته شود.<sup>۱۷</sup> در

پروپیونالدهید، گروه متیل، و نه هیدروژن، است که در پایدارترین صورت بندی با گروه کربونیل پوشیده می‌شود. اختلاف انرژی میان دو صورت بندی پوشیده به کمک طیف‌نگاری ریزموج برابر با  $0.9 \text{ kcal/mol}$  بدست آمده است.<sup>۱۸</sup> تعدادی از آلدھیدها با NMR مورد مطالعه قرار گرفته‌اند و معلوم شده است که دارای ترکیب درصد مشابهی از صورت بندی هستند.<sup>۱۹</sup> هنگامی که استخلاف آلکیل از نظر فضایی حجم بیشتری را طلب کند، صورت بندی پوشیده هیدروژن پایدارتر می‌شود. این مورد را در  $3,3\text{-متیل بوتانال}$  می‌توان مشاهده کرد.



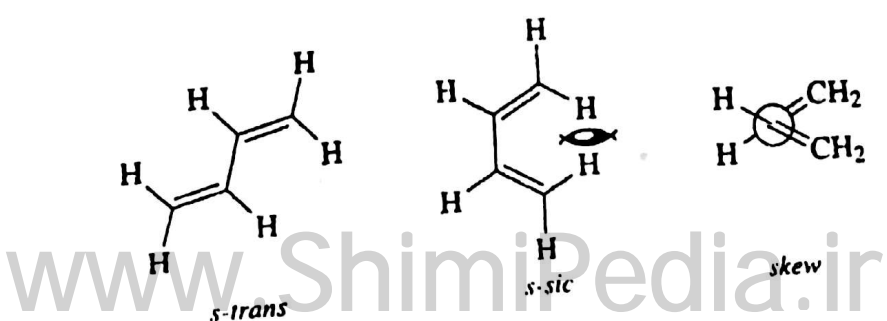
صورت بندی‌های ارجح برای استالدهید، پروپیونالدهید و  $3,3\text{-متیل بوتانال}$

کتون‌ها نیز صورت بندی‌های پوشیده را بهتر می‌پذیرند. در صورت بندی ارجح، گروه آلکیل، و نه هیدروژن، است که با گروه کربونیل پوشیده می‌شود. زیرا این صورت بندی به دو گروه آلکیل امکان می‌دهد تا به جای اینکه گوش باشند، در حالت آنتی قرار بگیرند. مطالعات پراش الکترون روی  $3\text{-پتن}$  حاکی از آن است که صورت بندی نشان‌داده شده پایدارترین صورت بندی است و این با تعمیم فوق همانگی دارد.<sup>۲۰</sup>



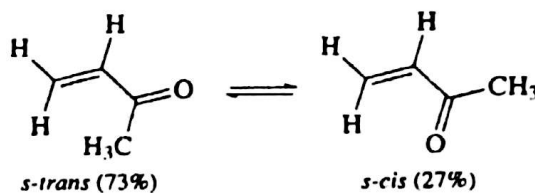
صورت بندی ارجح برای  $3\text{-پتن}$  ناپایدارتر پایدارتر

انتظار می‌رود  $3,3\text{-دی‌إن‌ها}$  صورت بندی‌هایی را پذیرد که در آنها پیوندهای دوگانه در یک صفحه قرار گیرند به‌طوری که همپوشانی اوربیتال‌ها و عدم استقرار الکترون‌ها به‌طرزی کارآمد امکان‌پذیر گردد. دو صورت بندی مسطح متفاوت برای  $3,3\text{-بوتادی‌إن}$  را به عنوان  $\text{E}\text{-ترانس}$  و  $\text{E}\text{-سیس}$  می‌شناسند. علاوه بر این دو صورت بندی مسطح، صورت بندی سومی هم وجود دارد که از آن به عنوان صورت بندی متنافر<sup>x</sup> یاد می‌شود که شبیه سیس است. ولی مسطح نیست. انواع مطالعات انجام شده نشان داده است که صورت بندی  $\text{E}\text{-ترانس}$  برای  $3,3\text{-بوتادی‌إن}$ ، بیشترین پایداری را دارد.<sup>۲۱</sup> مقدار کوچکی از یکی از صورت بندی‌های متنافر در تعادل با صورت بندی اصلی وجود دارد.<sup>۲۲</sup> در صورت بندی مسطح  $\text{E}\text{-سیس}$  میان هیدروژن‌های روی C-1 و C-4 دافعه واندروالسی وجود دارد. این دافعه با تبدیل به صورت بندی متنافر تخفیف می‌یابد.

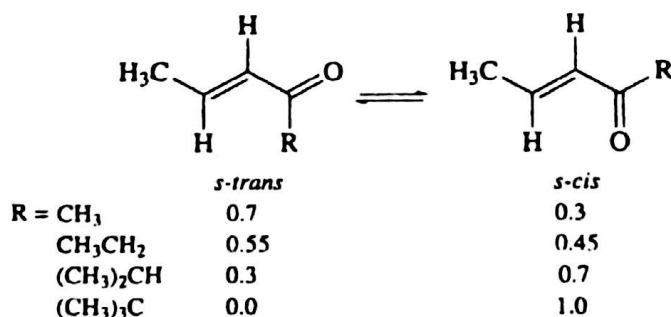


سد انرژی برای تبدیل صورت‌بندی متنافر به صورت‌بندی  $\alpha$ -ترانس برابر با  $3.9 \text{ kcal/mol}$  است. این بیشینه انرژی احتمالاً به صورت‌بندی MO گوناگون نشان می‌دهد که انرژی صورت‌بندی  $\alpha$ -ترانس به میزان  $5-2 \text{ kcal/mol}$  از صورت‌بندی‌های سطح دیگر یا شیبه سیس متنافر کمتر است.<sup>۲۳</sup> اکثر محاسبات سطح بالا نشان می‌دهد که صورت‌بندی متنافر بر  $\alpha$ -سیس ارجحیت دارد ولی اختلاف انرژی‌های یافته شده بسیار کوچک هستند.<sup>۲۴, ۲۵</sup>

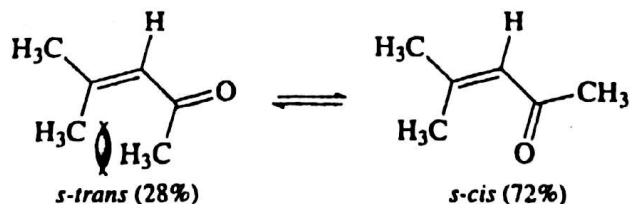
مورد ترکیبات کربونیل  $\alpha, \beta$ -اشباع‌نشده به مورد ۱،۳-دی‌إن‌ها شباهت دارد زیرا در این ترکیبات نیز عوامل فضالکترونی باعث ارجحیت سیستمی سطح برای  $\text{C}=\text{C}=\text{O}$  می‌شوند. صورت‌بندی‌های مهم در این سیستم‌ها  $\alpha$ -ترانس و  $\alpha$ -سیس هستند. داده‌های طیف‌نگاری ریزموچ نشان می‌دهد که در آکرولین (۲-پروپنال)، تنها صورت‌بندی قابل تشخیص،  $\alpha$ -ترانس است.<sup>۲۶</sup> توزیع تعادلی صورت‌بندی‌های  $\alpha$ -ترانس و  $\alpha$ -سیس برای کتون‌های  $\alpha, \beta$ -اشباع‌نشده به حد برهمکنش و اندروالسی میان استخلاف‌ها بستگی دارد.<sup>۲۷</sup> در متیل‌وینیل‌کتون، دافعه‌های واندروالسی نامطلوب میان استخلاف‌ها در کمترین مقدار خود هستند و مولکول به طور غالب در صورت‌بندی  $\alpha$ -ترانس وجود دارد:



هنگامی که گروه‌های آلکیلی بزرگتر جایگزین متیل شوند، کسر مولی شکل  $\alpha$ -سیس به تدریج با افزایش اندازه گروه آلکیل افزایش می‌یابد.



برهمکنش نامطلوب متیل-متیل-نایپایدارشدن صورت‌بندی ۴-متیل-۳-پنتن-۲-اون نسبت به صورت‌بندی  $\alpha$ -سیس می‌شود و تعادل به سمت  $\alpha$ -سیس متمايل می‌شود.<sup>۲۸</sup>



### ۳-۳ صورت‌بندی‌های مشتقات سیکلوهگزان

تحلیل صورت‌بندی در ترکیبات حاوی حلقه‌های شش عضوی به طرزی مناسب صورت پذیرفته و قابل درک است. دلیل اصلی برای عمق مطالعات در این حیطه و به دست آمدن اطلاعات مشروح به ماهیت خود این سیستم بر می‌گردد. سیکلوهگزان و مشتقات آن بسیار مناسب تحلیل کامل هستند زیرا توسط تعداد کوچکی از کمینه‌های

انرژی مشخص می‌شوند. پایدارترین صورت‌بندی‌ها در این سیستم‌ها به وسیله سدهایی از هم جدا می‌شوند که تا حدی از سدهای چرخشی در ترکیبات غیرحلقوی یا سیستم‌های حلقوی دیگر بالاتر بوده اندازه گیری آنها نیز آسان‌تر است.

پایدارترین صورت‌بندی سیکلوهگزان، شکل صندلی است. مطالعات پراش الکترونی در حالت گازی نشان می‌دهد که این صندلی در مقایسه با مدل مولکولی که با استفاده از اتم‌های کربن چهاروجهی ساخته می‌شود، قدری مسطح‌تر است. زوایای پیچش که در صورت‌بندی ایده‌آل صندلی باید  $60^\circ$  باشد، برابر با  $55.9^\circ$  هستند و پیوندهای C-H کاملاً موازی نیستند بلکه حدوداً  $7^\circ$  به سمت بیرون منحرف می‌شوند. طول پیوندهای C-C برابر با  $1.528\text{\AA}$  طول پیوندهای C-H برابر با  $1.119\text{\AA}$  و زوایای پیوندی C-C برابر با  $111.05^\circ$  است.<sup>28</sup>



ویژگی‌های ساختاری صورت‌بندی صندلی در سیکلوهگزان

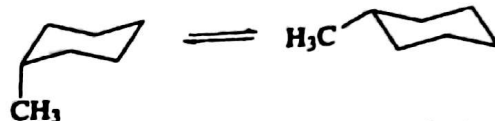
دو صورت‌بندی غیر صندلی دیگر برای سیکلوهگزان که دارای زوایا و طول‌های پیوندی عادی هستند، صورت‌بندی‌های پیچ‌خورده و قایق هستند.<sup>29</sup> هردو صورت‌بندی پیچ‌خورده و قایق ناپایدار‌تر از صندلی‌اند. محاسبات مکانیک مولکولی نشان می‌دهد که انرژی صورت‌بندی پیچ‌خورده حدود  $5\text{ kcal/mol}$  و صورت‌بندی قایق حدود  $6.4\text{ kcal/mol}$  بیشتر از انرژی صندلی است.<sup>6</sup> اندازه گیری مستقیمی از اختلاف انرژی صندلی و پیچ‌خورده با به کارگیری طیف‌نگاری IR در دمای پایین انجام شده است.<sup>30</sup> معلوم شده که آنتالپی صندلی به اندازه  $5.5\text{ kcal/mol}$  کمتر از آنتالپی پیچ‌خورده است.

صورت‌بندی‌های پیچ‌خورده و قایق از صندلی انعطاف‌پذیرترند ولی توسط کشش پیچشی ناپایدار می‌شوند. هیدروژن‌های «میل پرچمی» که به فاصله  $1.83\text{\AA}$  از هم قرار دارند، بیشتر ناپایدار می‌شوند زیرا این فاصله از حاصل جمع شعاع‌های وان‌دروالسی ( $2.4\text{\AA}$ ) کوچکتر است.



تبديل شکل‌های صندلی به یکدیگر به عنوان وارونگی صورت‌بندی شناخته می‌شود و در اثر چرخش حول پیوندهای کربن-کربن رخ می‌دهد. برای سیکلوهگزان، ثابت سرعت مرتبه اول برای وارونگی حلقوی در  $300\text{ K}$  در حدود  $10^5\text{ s}^{-1}$ - $10^4\text{ s}^{-1}$  است. آنتالپی فعال‌سازی برابر با  $10.8\text{ kcal/mol}$  است.<sup>31</sup> محاسبه شکل هندسی حالت گذار به وسیله مکانیک مولکولی نشان می‌دهد که شکل نیمه پیچ‌خورده به میزان  $12.0\text{ kcal/mol}$  بالاتر از شکل صندلی قرار دارد. حالت گذار شامل  $0.2\text{ kcal/mol}$  انرژی فشردگی ناشی از تغییر شکل پیوند،  $2.0\text{ kcal/mol}$  کشش زاویه پیوندی،  $4.4\text{ kcal/mol}$  کشش وان‌دروالسی و  $5.4\text{ kcal/mol}$  کشش پیچشی می‌شود. در شکل ۴-۳ نمودار انرژی فرآیند وارونگی صورت‌بندی در مولکول سیکلوهگزان نشان داده شده است. شکل قایق به اندازه  $1-2\text{ kcal/mol}$  بالای صورت‌بندی پیچشی قرار دارد و حالت گذاری برای تبدیل شکل‌های پیچ‌خورده به یکدیگر به شمار می‌رود.

قرار دادن استخلاف روی حلقه سیلکووهگزان تأثیر چندانی بر سرعت وارونگی صورت‌بندی ندارد ولی توزیع نعادلی بین شکل‌های صندلی متفاوت را تغییر می‌دهد. همه استخلاف‌هایی که در یک صورت‌بندی صندلی به حالت محوری هستند، در اثر وارونگی حلقه به استخلاف‌های استوایی تبدیل می‌شوند و بالعکس. برای متیل سیلکلووهگزان مقدار  $\Delta G^\circ$  تعادل زیر

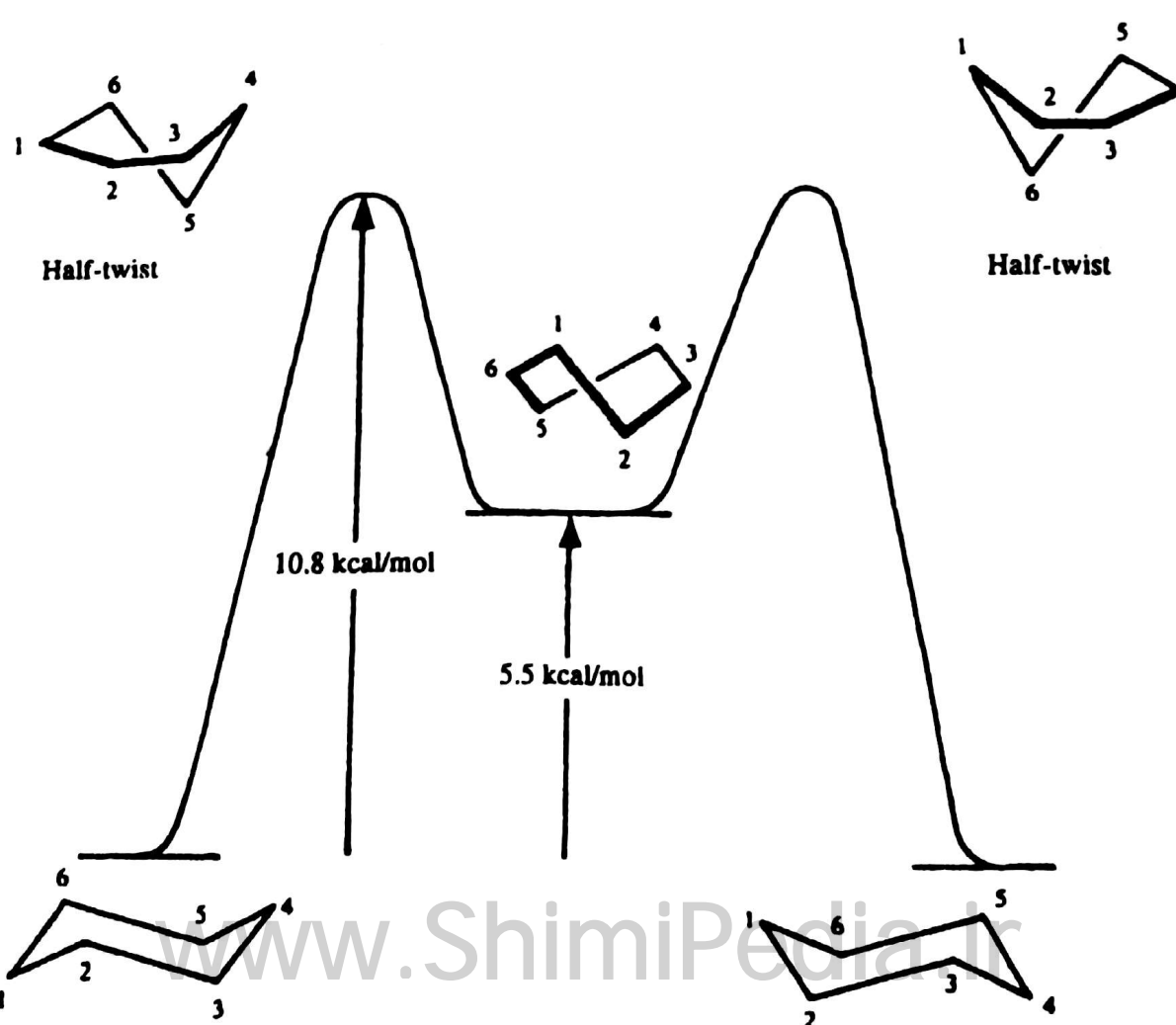


برابر با  $1.8 \text{ kcal/mol}$  است که متناظر با ترکیبی از ۹۵٪ صورت‌بندی استوایی می‌باشد. دو عامل در ارجحیت صورت‌بندی استوایی سهم دارند. صورت‌بندی استوایی متیل با آرایش آنتی نسبت به پیوندهای C(3)-C(2) و C(5)-C(6) است، حال آنکه گروه متیل با این پیوندهای رابطه گوش دارد. قبل‌آیدیم که انرژی صورت‌بندی گوش برای *n*-بوتان به اندازه  $0.8 \text{ kcal/mol}$  از انرژی صورت‌بندی آنتی بیشتر است. به علاوه، میان گروه متیل محوری و هیدروژن‌های محوری در C-3 و C-5 دافعه‌ای وجود دارد که به آنها برهمنکش‌های ۱، ۳-دومحوری گفته می‌شود.



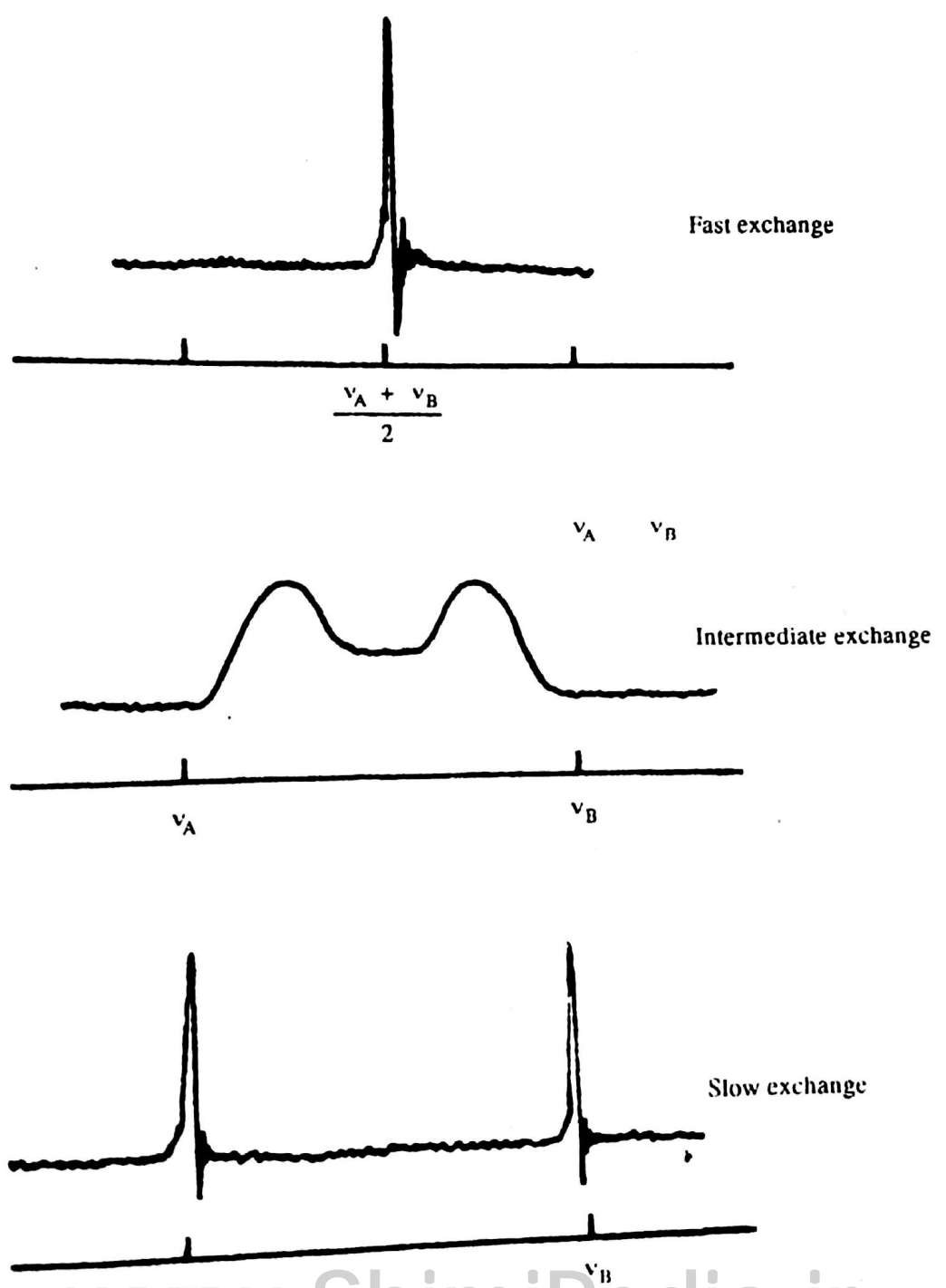
آرایش‌های گوش بوتان  
در متیل سیلکلووهگزان محوری

آرایش‌های آنتی بوتان  
در متیل سیلکلووهگزان استوایی



شکل ۳-۴ نمودار انرژی برای وارونگی حلقه سیلکلووهگزان

اختلاف انرژی میان صورت‌بندی‌های سیلکووهگزان استخلاف شده و نیز سینتیک فرایندهای وارونگی حلقه را می‌توان به چند روش فیزیکی اندازه گیری کرد. طیف‌نگاری MMR به ویژه برای مطالعات ترمودینامیکی و نیز سینتیکی سودمند است.<sup>۳۲</sup> در اصطلاح شناسی NMR، تبدیل استخلاف استوایی به محوری وبالعکس رافرایند تبدیل جایگاه می‌نماید. بسته به سرعت فرایند، اختلاف میان جایه‌جایی شیمیابی هسته در دو جایگاه و قدرت میان تبادل جایگاه، طیف به دست آمده یا میانگین وزنی (تبادل سریع جایگاه،  $k > 10^5 \text{ s}^{-1}$ ) یا برهمنهی طیف‌های مربوط طیف‌نگار، طیف به دست آمده یا میانگین وزنی (تبادل آهسته جایگاه،  $k < 10^2 \text{ s}^{-1}$ ) خواهد بود. در به دو صورت‌بندی منعکس‌کننده ترکیب صورت‌بندی (تبادل آهسته جایگاه) سرعت‌های تبادل میانه، طیف‌های پهن مشاهده می‌شوند. تحلیل وابستگی طیف‌ها به دما می‌تواند به پارامترهای سرعت‌های تبادل میانه، طیف‌های پهن مشاهده می‌شوند. تحلیل وابستگی طیف‌ها به دما می‌تواند به پارامترهای فعال‌سازی برای فرایند صورت‌بندی منجر گردد. شکل ۵-۳، تغییر ظاهر یک طیف ساده را نشان دهد.



شکل ۵-۳ ظاهر طیف‌های NMR برای سیستمی که دستخوش تبادل دو جایگاه می‌شود. (A — B).

برای سیلکووهگزان‌های استخلاف شده، شرط تبادل آبسته در دمای پایین زیر  $50^{\circ}\text{C}$  - برآورده می‌شود. در جدول ۳-۵ داده‌های مربوط به نیمه عمر به تعادل رسیدن صورت‌بندی سیلکووهگزیل کلرید به عنوان تابعی از دما داده شده است. با استفاده از این داده‌ها می‌توان مشاهده کرد که محلول‌های خالص از صورت‌بندی سیلکووهگزیل کلرید استوایی را در دمای پایین می‌توان حفظ کرد. این به طور تجربی اثبات شده است.<sup>۳۳</sup> بلورهایی به دست می‌آید که فقط حاوی ایزومر استوایی است. هنگامی که جامد در  $150^{\circ}\text{C}$  - حل شود، طیف NMR محلول فقط سیگنالی را نشان می‌دهد که مشخصه صورت‌بندی استوایی است. هنگامی که محلول گرم شود، تعادل میان صورت‌بندی‌های دوباره برقرار می‌شود.

جدول ۳-۵ نیمه عمر بر وارونگی صورت‌بندی سیلکووهگزیل کلرید در دمای گوناگون.

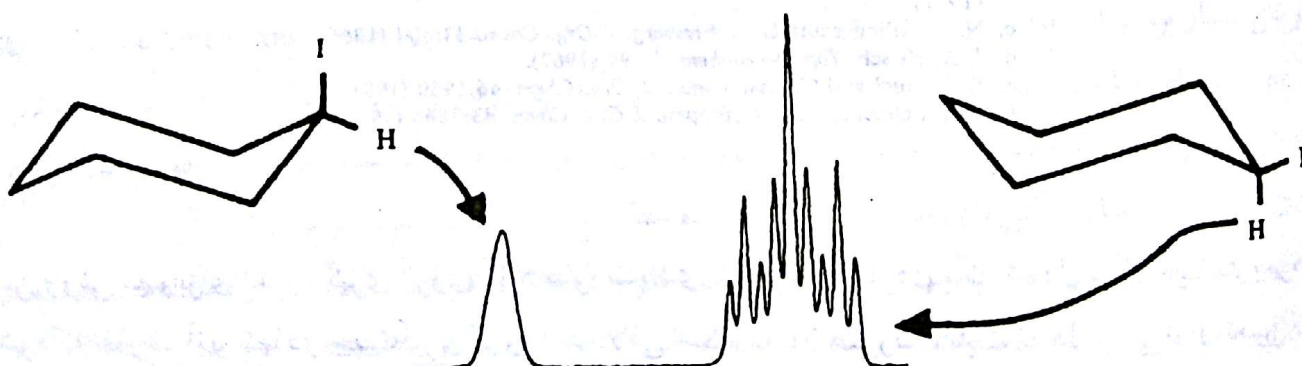
Temperature ( $^{\circ}\text{C}$ )	Half-life
25	$1.3 \times 10^{-5} \text{ s}$
-60	$2.5 \times 10^{-2} \text{ s}$
-120	23 min
-160	22 yr

a. F. R. Jensen and C. H. Bushweller, *J. Am. Chem. Soc.*, 91:3223 (1969).

اختلاف انرژی آزاد میان صورت‌بندی‌ها به عنوان انرژی آزاد صورت‌بندی شناخته می‌شود. برای سیلکووهگزان‌های استخلاف شده به طور قراردادی مقدار  $\Delta G^{\circ}$  - برای تعادل زیر مشخص می‌شود:

### استوایی $\rightleftharpoons$ محوری

اگر صورت‌بندی استوایی از محوری پایدارتر باشد،  $\Delta G^{\circ}$  منفی می‌شود، لذا مقدار  $\Delta G^{\circ}$  - برای گروه‌هایی که موقعیت استوایی را بهتر می‌پذیرند، مثبت خواهد بود. هرچه مقدار  $\Delta G^{\circ}$  - بزرگتر باشد، موقعیت استوایی ارجحیت بیشتری می‌یابد.



شکل ۳-۶ طیف NMR سیلکووهگزیل یدید در  $80^{\circ}\text{C}$ . فقط سیگنال‌های میزان پایین نشان داده شده‌اند. (طیف 100MHz).

مورد سیلکووهگزیل یدید مثالی از کاربرد طیف‌نگاری NMR برای تعیین ثابت تعادل صورت‌بندی و مقدار  $\Delta G^{\circ}$  - فراهم می‌آورد. در  $80^{\circ}\text{C}$  - طیف NMR سیلکووهگزیل یدید دو پیک دو متمایز در ناحیه سیگنال CHI نشان می‌دهد (شکل ۳-۶).<sup>۳۴</sup> سیگنال چندتایی در میدان بالا در واقع یک سه‌تایی از سه‌تایی‌ها با ثابت‌های جفت‌شدنی

و  $3.5\text{Hz}$  و  $12\text{Hz}$  است. این الگو، مشخصه هیدروژنی در موقعیت محوری با دو جفت شدگی محوری-محوری و دو جفت شدگی محوری-استوایی است. پیک پهن تر در میدان پایین، مشخصه پروتونی در موقعیت استوایی است و چهار جفت شدگی استوایی-استوایی از چنین پروتونی را منعکس می‌کند. مساحت نسبی دو پیک، به ۱ است که مؤید صورت‌بندی با هیدروژن محوری است. این متناظر با مقدار  $\Delta G^\circ = 0.47\text{kcal/mol}$  - برای استخلاف یدو است. مقادیر انرژی آزاد صورت‌بندی برای بسیاری از گروه‌های استخلافی روی سیلکوهوگزان به کمک روش‌های NMR تعیین شده‌اند که برخی از آنها در جدول ۳-۶ داده شده‌اند.

جدول ۳-۶ انرژی آزاد صورت‌بندی ( $-\Delta G^\circ$ ) برای گروه‌های استخلافی.

Substituent	$-\Delta G^\circ$ (kcal/mol)	Reference
-F	0.24-0.28	b
-Cl	0.53	b
-Br	0.48	b
-I	0.47	b
-CH <sub>3</sub>	1.8	c
-CH <sub>2</sub> CH <sub>3</sub>	1.8	c
-CH(CH <sub>3</sub> ) <sub>2</sub>	2.1	c
-C(CH <sub>3</sub> ) <sub>3</sub>	> 4.5	d
-CH=CH <sub>2</sub>	1.7	e
-C≡CH	0.5	f
-C <sub>6</sub> H <sub>5</sub>	2.9	e
-CN	0.15-0.25	b
-O <sub>2</sub> CCH <sub>3</sub>	0.71	b
-CO <sub>2</sub> H	1.35	d
-CO <sub>2</sub> C <sub>2</sub> H <sub>5</sub>	1.1-1.2	d
-OH (aprotic solvents)	0.52	d
-OH (protic solvents)	0.87	d
-OCH <sub>3</sub>	0.60	d
-NO <sub>2</sub>	1.16	b
-HgBr	0	b

a. For a more extensive compilation including other groups, see E. L. Eliel, S. H. Wilen, and L. N. Mander, *Stereochemistry of Organic Compounds*, John Wiley & Sons, New York, 1993, pp. 696-697.

b. F. R. Jensen and C. H. Bushweller, *Adv. Alicyclic Chem.* 3:140 (1971).

c. N. L. Allinger and L. A. Freiberg, *J. Org. Chem.* 31:804 (1966).

d. J. A. Hirsch, *Top Stereochem.* 1:199 (1967).

e. E. L. Eliel and M. Manoharan, *J. Org. Chem.* 46:1959 (1981).

f. H. J. Schneider and V. Hoppen, *J. Org. Chem.* 43:3866 (1978).

دومین روش مهم برای اندازه گیری انرژی آزاد صورت‌بندی شامل برقرار کردن یک تعادل میان دیاسترومراهای می‌شود که تفاوت آنها در جهت گیری گروه استخلافی است. در آن صورت، ثابت تعادل را می‌توان تعیین کرد و برای محاسبه اختلاف انرژی آزاد میان ایزومرها به کار برد. برای مثال، با استفاده از کاتالیزور نیکل و رفلوکردن در حلal بنزن می‌توان میان سیس-و ترانس-4-بوتیل سیلکوهوگزانول تعادل برقرار کرد و مخلوطی حاوی ۲۸٪ سیس-۴-بوتیل سیلکوهوگزانول و ۷۲٪ ترانس-۴-بوتیل سیلکوهوگزانول به دست آورد.<sup>۳۵</sup>

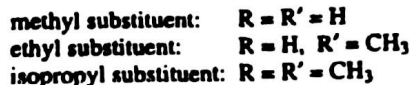
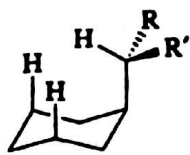


با این فرض که تنها صورت‌بندی‌هایی اهمیت دارند که در آنها گروه  $\text{E}$ -بوتیل در موقعیت استوایی قرار دارد، تغییر انرژی آزاد برای تعادل با اختلاف انرژی آزاد میان یک گروه هیدروکسیل محوری و استوایی برابر است. ثابت تعادل به مقدار  $\Delta G^\circ = 0.7 \text{kcal/mol}$  - برای استخلاف هیدروکسیل منجر می‌شود. در این روش هنچنین فرض می‌شود که گروه  $\text{E}$ -بوتیل حلقه را به هیچ وجه منحرف نمی‌کند و با گروه هیدروکسیل برهمکنش مستقیمی ندارد.

چند روش دیگر برای تعیین انرژی آزاد صورت‌بندی در دسترس است.<sup>۳۶</sup> مقادیر بسیاری از استخلاف علاوه بر گروه‌های فهرست شده در جدول ۳-۶ جمع‌آوری شده است.<sup>۳۷</sup>

با درنظر گرفتن برخی گروه‌های نماینده می‌توان دیدی از عوامل تعیین‌کننده مقدار  $\Delta G^\circ$  - برای استخلاف‌های گوناگون بدست آورد. از میان هالوژن‌ها، فلوئور کمترین تعایل را برای پذیرش صورت‌بندی استوایی دارد. هالوژن‌های دیگر نیز انرژی‌های آزاد صورت‌بندی بسیار مشابهی دارند. این نتیجه‌ای از روندهای جبران‌کننده در شعاع‌های واندروالسی و طول پیوند‌هاست. گرچه شعاع واندروالسی با عدد اتمی افزایش می‌یابد، طول پیوند نیز زیاد می‌شود به طوری که اثر نهایی کوچک است. ممکن است نیروهای جاذبه‌ای لاندن جاذبه‌ای نیز سهمی داشته باشند که این سهم با اندازه اتم هالوژن افزایش می‌یابد.

گروه‌های آلکیلی متیل، اتیل و ایزوپروپیل دارای انرژی‌های آزاد صورت‌بندی مشابه بوده مقدار آن برای گروه ایزوپروپیل فقط اندکی از متیل و اتیل بزرگتر است. این مقادیر مشابه برای سه استخلاف حاکی از این واقعیت هستند که چرخش حول پیوند بین استخلاف و حلقه به گروه‌های اتیل و ایزوپروپیل این امکان را می‌دهد که صورت‌بندی را پذیرند که اثر استخلاف‌های متیل اضافی روی دو گروه را به کمترین حد خود برساند.

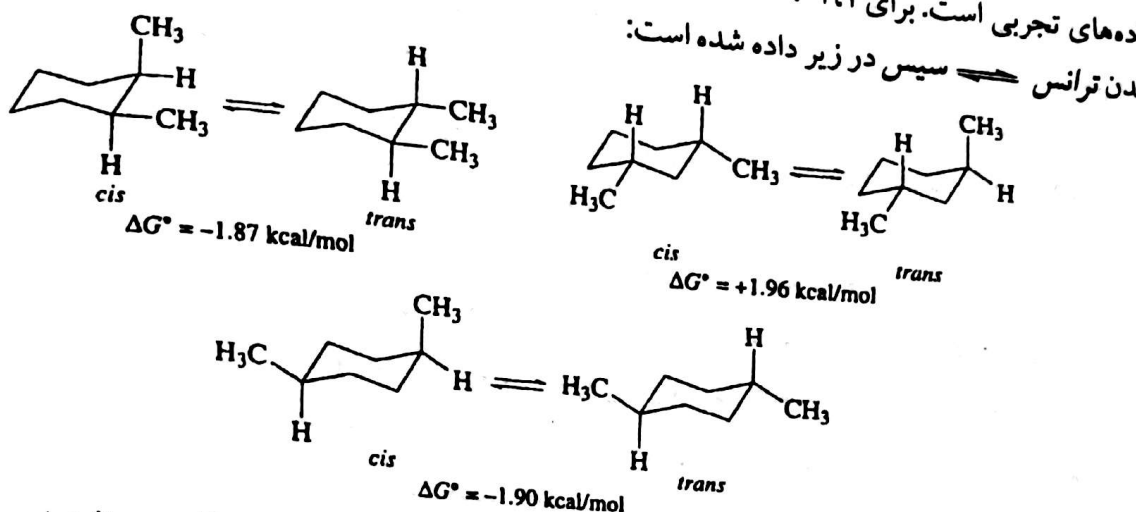


یک استخلاف  $\text{E}$ -بوتیل دافعه واندروالسی شدیدی را با هیدروژن‌های سین-محوری در جهت‌گیری محوری تجربه می‌کند که با چرخش حول پیوند با حلقه، این دافعه قابل تخفیف نیست. در نتیجه، مقدار  $\Delta G^\circ$  - برای گروه  $\text{E}$ -بوتیل بسیار بیشتر از مقادیر مربوط به گروه‌های آلکیلی دیگر است. مقداری حدود  $5 \text{mcal/mol}$  به وسیله مکانیک مولکولی محاسبه شده است.<sup>۳۸</sup> کوشش‌های تجربی به عمل آمده برای اندازه گیری مقدار  $\Delta G^\circ$  - برای  $\text{E}$ -بوتیل فقط حد پایین این مقدار را به دست داده است زیرا صورت‌بندی محوری به مقدار بسیار اندک موجود است و اختلاف انرژی به اختلاف میان شکل‌های صندلی و پیچ‌خورده حلقه سیلکو‌هگزان بسیار شبیه است.

ارجحیت قوی گروه  $\text{E}$ -بوتیل برای اشغال موقعیت استوایی آن را به گروهی مفید برای مطالعه سیستم‌هایی با گرایش صورت‌بندی مبدل ساخته است. وجود یک استخلاف  $\text{E}$ -بوتیل این اطمینان را فراهم می‌آورد که تعادل تا حد زیادی به طرفی متمایل می‌شود که گروه  $\text{E}$ -بوتیل در موقعیت استوایی قرار دارد ولی به هر حال، فرایند وارونگی صورت‌بندی را متوقف نمی‌سازد. لازم به تأکید است که «گرایش به یک صورت‌بندی» با «قفل شدن در یک صورت‌بندی» مترادف نیست. از آنجاکه وارونگی حلقه هنوز می‌تواند رخ دهد، درست نیست که تصور کنیم سیستم تنها در یک صورت‌بندی «قفل» شده است.

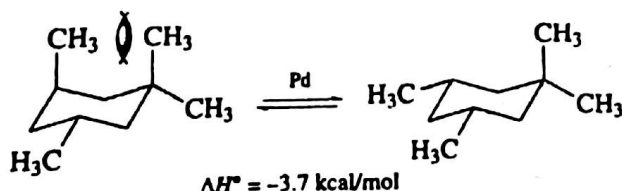
هنگامی که دو یا چند استخلاف روی یک حلقه سیلکو‌هگزان وجود داشته باشد، برهمکنش‌های میان

استخلاف‌ها را باید در تحلیل منظور نمود. دی‌متیل‌سیلکو‌هگزان‌ها مثالی از همخوانی کامل تفسیر صریح با داده‌های تجربی است. برای  $-2,1,-3,1$  و  $+4,1$ -دی‌متیل‌سیلکو‌هگزان، تغییر انرژی آزاد تعادل برای ایزومری شدن ترانس  $\rightleftharpoons$  سیس در زیر داده شده است:

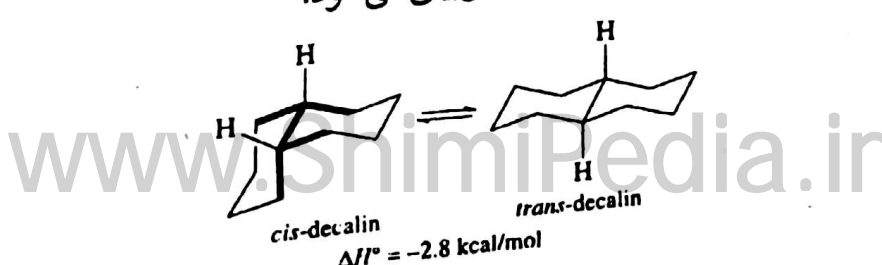


دیاستروم پایدارتر در هر یک از موارد بالا دیاسترومی است که هر دو گروه متیل آن به حالت استوایی باشند. اختلاف انرژی آزادی که به نفع ایزومر دو استوایی است برای همه موارد حدوداً یکسان (1.9kcal/mol) و نزدیک به مقدار  $\Delta G^\circ$ - برای گروه متیل (1.8kcal/mol) است. این نشان می‌دهد که هیچ برهمکنش مهمی وجود ندارد که در متیل‌سیلکو‌هگزان نیز وجود داشته باشد. این منطقی است زیرا در هر مورد درست مثل متیل‌سیلکو‌هگزان، گروه متیل محوری فقط با هیدروژن‌های ۳-۵-دومحوری برهمکنش دارند.

صورت‌بندی‌هایی که در آنها یک برهمکنش ۳-۱-دومحوری بین گروه‌های استخلافی بزرگتر از هیدروژن وجود دارد به دلیل دافعه و اندروالسی ناپایدار می‌شوند. به تعادل رسیدن مخلوط‌هایی از سیس- و ترانس-۱،۳،۵-ترامتیل‌سیلکو‌هگزان نشان می‌دهد که ایزومر سیس به اندازه ۰.۳۷kcal/mol مطلوب‌تر است.<sup>۳۹</sup> به این ترتیب، مقداری برای همکنش متیلی ۱-۳-دومحوری به دست می‌آید که ۱.۹kcal/mol از مقدار مربوط به برهمکنش ۱،۳-متیل-هیدروژن بیشتر است.



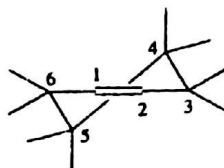
سیستم حلقوی دکالین (بی‌سیلکو[۴-۴-۰]دکان) یک سیستم مهم دیگر برای مطالعه اثرات صورت‌بندی بر حلقه‌های سیلکو‌هگزان فراهم می‌آورد و به تعادل رسیدن ایزومرهای سیس و ترانس نشان می‌دهد که ایزومر ترانس حدوداً به اندازه ۲.۸kcal/mol مطلوب‌تر است. توجه دارید که این نشان‌گر تغییر در پیکربندی است نه صورت‌بندی. اختلاف انرژی را می‌توان با توجه به این نکته تحلیل نمود که ایزومر سیس دارای سه برهمکنش گوش بوتانی بیشتر است که در ایزومر ترانس وجود ندارند. با نسبت دادن یک مقدار ۰.۸kcal/mol به برهمکنش گوش، اختلاف آنتالپی  $2.4 \text{ kcal/mol}$  بین دو ایزومر پیش‌بینی می‌شود.



میان سیستم‌های سیس-دکالین و ترانس-دکالین از نظر انعطاف‌پذیری چرخشی آنها تفاوت مهمی وجود دارد. ترانس-دکالین به دلیل ماهیت حلقه‌های جوش خورده‌ای که دارد، قادر به وارونگی حلقه نیست. سیس-دکالین از نظر صورت‌بندی تحرک دارد و با سرعتی که فقط اندکی از وارونگی سیلکوهوگزان کمتر است ( $\Delta G^\ddagger = 12.3 - 12.4 \text{ kcal/mol}$ ) دستخوش وارونگی حلقه می‌شود.<sup>۴۰</sup> سیستم ترانس-دکالین، از نظر صورت‌بندی قفل است و از آن می‌توان برای تعیین اختلاف پایداری و واکنش‌پذیری گروه‌ها در محیط‌های محوری و استوایی استفاده کرد.

اثر وارد کردن اتم‌هایی با هیبریداسیون  $sp^2$  در مولکول‌های باززنجیر را قبلًا مورد بحث قرار دادیم و متذکر شدیم که سدهای پیچشی در ۱-آلکن‌ها و آلدهیدها تا حدی نسبت به آلکان‌ها کوچکترند. هنگامی که مرکزهای  $sp^2$  در حلقه‌های شش عضوی وارونه شوند، اثراتی مشابه مشاهده شود. در حالی که سد انرژی آزاد برای وارونگی حلقه در سیلکوهوگزان برابر با  $10.3 \text{ kcal/mol}$  است، این مقدار برای متیلن سیلکوهوگزان<sup>۴۱</sup> به  $7.7 \text{ kcal/mol}$  و برای سیلکوهوگزان<sup>۴۲</sup> به  $4.9 \text{ kcal/mol}$  کاهش می‌یابد.

صورت‌بندی سیلکوهوگزان به صورت یک نیم صندلی توصیف می‌شود. پارامترهای ساختاری تعیین شده براساس پراش الکترون و طیف‌نگاری ریزموج نشان می‌دهند که پیوند دوگانه می‌تواند بدون انحرافی جدی در حلقه اسکان یابد.<sup>۴۳</sup>

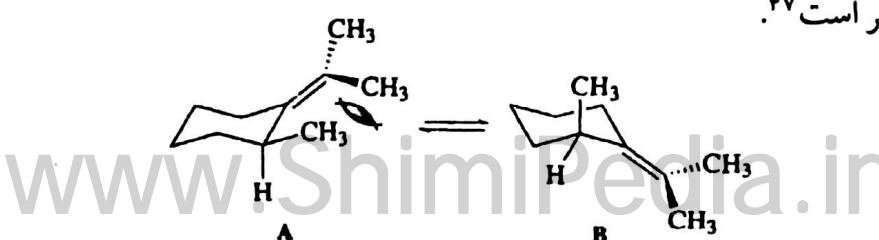


صورت‌بندی نیم صندلی برای سیلکوهوگزان

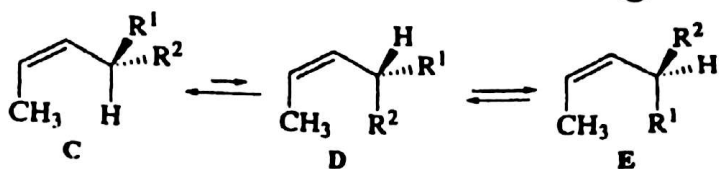
طول پیوند  $C(1)-C(2)$  برابر با  $1.335 \text{ \AA}$  و زاویه پیوند  $(C(2)-C(3)-C(1))$  برابر  $123^\circ$  است. استخلاف‌های روی  $C-3$  و  $C-6$  قدری از جهت‌های محوری و استوایی عادی خود جایه‌جا می‌شوند که به این جهت‌گیری‌ها، محوری کاذب و استوایی کاذب گفته می‌شود. انرژی فعال‌سازی برای وارونگی حلقه  $5.3 \text{ kcal/mol}$  است.<sup>۴۴</sup> ارجحیت برای جهت‌گیری برهمکنش  $1-3$ -دومحوری از سیلکوهوگزان به دلیل انحراف حلقه و مقدار  $-\Delta G^\ddagger$  مربوط به گروه متیل در  $4$ -متیل سیلکوهوگزان و مقدار  $1 \text{ kcal/mol}$  پیشنهاد شده است.<sup>۴۵</sup>

معلوم شده است که آلکیلiden سیلکوهوگزان‌هایی که در  $2-C$  حامل گروه‌های آلکیل با اندازه میانه هستند، تمایل دارند صورت‌بندی را پذیرند که در آن گروه آلکیل موقعیت محوری را اشغال می‌کند تا به این ترتیب برهمکنش‌های واندروالسی نامطلوب با گروه آلکیلiden تخفیف یابد. این از دافعه واندروالسی میان گروه آلکیل در موقعیت استوایی و استخلاف‌های سیس روی پیوند دوگانه برون‌حلقه‌ای نتیجه می‌شود. برای مشخص کردن این اثر فضایی از اصطلاح کشنش آلیلی استفاده می‌شود.<sup>۴۶</sup>

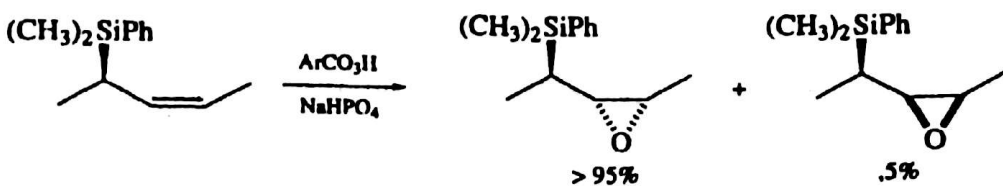
انرژی دافعه برای متیل سیلکوهوگزان کمینه است ولی محاسبات مکانیک مولکولی نشان می‌دهد که صورت‌بندی محوری A از صورت‌بندی که دارای یک گروه ایزوپروپیلiden برو حلقة‌ای است به اندازه  $2.6 \text{ kcal/mol}$  پایدارتر است.<sup>۴۷</sup>



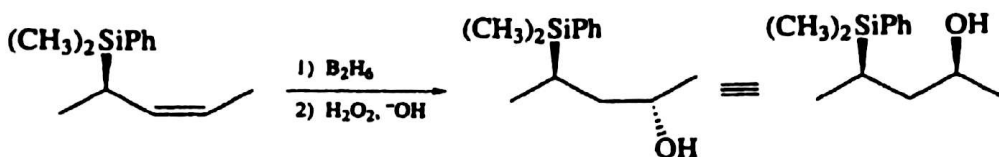
کشش ۳،۱-آلیل بر صورت بندی Z-آلکن‌ها تأثیر می‌گذارد. ۲-آلکن‌هایی که روی کربن ۴ استخلاف دارند، صورت بندی C را برابر D یا E ترجیح دهنده تا برهمکنش فضایی با گروه متیل C-1 به حداقل برسد.<sup>۴۸</sup>



اگر  $R^1$  و  $R^2$  با هم تفاوت داشته باشند، دو وجه پیوند دوگانه دیگر هم ارز نخواهند بود و به این ترتیب، واکنش‌های فضایی‌گزین روی پیوند دوگانه میسر خواهد شد. این اثرات برای مثال با نظیر اپوکسایش و هیدروبوردارشدن از طریق افزایش ترجیحی از وجه مخالف استخلاف‌های حجمی سیلیل پیش می‌روند.



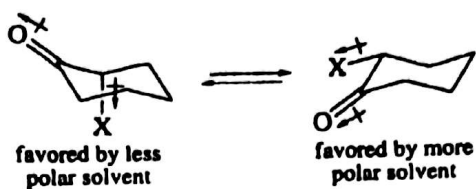
ref 49



ref 50

بنابراین شباهت با آلدہیدهای غیرحلقوی و کتون‌ها، انتظار می‌رود گروه آلکیل روی C-2 در حلقه سیلکو‌هگزانون در موقعیت استوایی پایدارتر از موقعیت محوری باشد. گروه آلکیل در جهت‌گیری استوایی با گروه کربونیل پوشیده می‌شود و این صورت بندی متناظر با صورت بندی پایدارتر کتون‌های بازنگیر است. این صورت بندی (مثل مورد سیلکو‌هگزان) همچنین از برهمکنش‌های ۳-دومحوری با هیدروژن‌های سیس-دومحوری پرهیز می‌کند. انرژی‌های آزاد صورت بندی برای استخلاف ۲-آلکیل در سیلکو‌هگزانون‌ها توسط مطالعات تعادلی تعیین شده است.<sup>۵۱</sup>

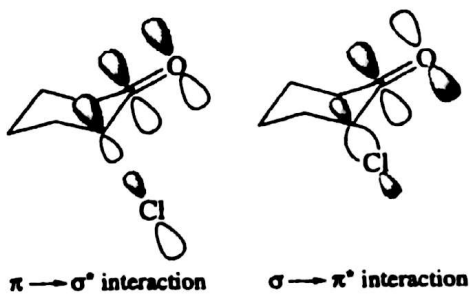
انرژی صورت بندی گروه آلکیل در سیلکو‌هگزان کمتر است زیرا برهمکنش‌های ۳-دومحوری در آن کاهش یافته است. یک گروه متیل C-3 در سیلکو‌هگزانون دارای مقدار  $\Delta G^\circ = 1.3 - 1.4 \text{ kcal/mol}$  است.<sup>۵۲</sup> صورت بندی ارجح ۲-کلروسیلکلو‌هگزانون به قطبیت حلال بستگی دارد. در حاللهایی با ثابت دی‌الکتریک کوچک، استخلاف هالوژن در جهت محوری پایدارتر است. برای مثال در کلروفرم، صورت بندی Br-محوری ۲-برموسیلکلو‌هگزانون تقریباً به نسبت ۳ به ۱ فراوان‌تر است.<sup>۵۳</sup> ارجحیت محوری به ترتیب  $F < Cl < Br < I$  افزایش می‌یابد. هالوژن‌های استوایی با گروه کربونیل پوشیده می‌شود. تصور می‌شود این پدیده که به اثر  $\pi$ -هالوژن باشد. هالوژن‌های استوایی با گروه کربونیل پوشیده می‌شود. فضای‌الکترونی میان گروه کربونیل و پیوند کربن-هالوژن معروف است نتیجه برهمکنش‌های دوقطبی و فضای‌الکترونی میان گروه کربونیل و پیوند کربن-هالوژن است.<sup>۵۴</sup> دوقطبی‌های پیوندی در صورت بندی هالوژن محوری تا حدی یکدیگر را حذف می‌کنند ولی در صورت بندی‌های هالوژن استوایی با یکدیگر جمع می‌شوند. صورت بندی با گشتاور دوقطبی کوچکتر در حللهای با ثابت دی‌الکتریک کمتر مطلوب خواهند بود.



Axial : equatorial ratio		
X	Cyclohexane	CHCl <sub>3</sub>
F	56 : 44	17 : 83
Cl	77 : 23	45 : 55
Br	87 : 13	71 : 29
I	95 : 5 <sup>a</sup>	88 : 12

a. In hexane.

ترجیح نسبی برای جهت‌گیری محوری  $\alpha$ -هالوسیلکو-هگزانون‌ها را از نظر فضایی-الکترونی هم می‌توان تفسیر کرد. در ۲-کلروسیلکو-هگزان و آرایش محوری پیوند C-Cl را تقریباً عمود بر صفحه گروه کربونیل قرار می‌دهد. به این ترتیب، برهمکنش میان اوریتال‌های  $\pi$  گروه کربونیل و اوریتال‌های  $\sigma$  مربوط به پیوند C-Cl امکان‌پذیر می‌گردد. دو برهمکنش امکان‌پذیر است: دهنگی  $\pi \rightarrow \sigma^*$  و دهنگی  $\sigma \rightarrow \pi^*$ . این نامستقرشدن  $\pi \rightarrow \sigma$  در مورد جهت‌گیری استوایی کلر امکان‌پذیر نیست زیرا پیوند C-Cl در آن حالت تقریباً در صفحه گرهی گروه کربونیل قرار می‌گیرد.



### ۴-۳ حلقه‌های کربوسیکلیک غیر از شش‌عضوی

مهترین ویژگی‌های ساختاری که بر صورت‌بندی و واکنش‌پذیری سیلکوآلکان‌ها تأثیر می‌گذارد بسته به اینکه حلقه‌های کوچک (سیلکوپروپان و سیلکوبوتان)، متداول (سیلکوپنتان، سیلکوهگزان و سیلکوهپتان)، میانه (سیلکواتان تا سیلکواوندکان)، یا بزرگ (سیلکودودکان به بالا) باشند، متفاوت هستند. در حلقه‌های کوچک، کشش زاویه‌ای و کشش پیچشی غالب است. حلقه‌های متداول عاری از کشش هستند و صورت‌بندی‌های آنها بیشتر تحت تأثیر عوامل پیچشی هستند. در حلقه‌های میانه تعادل‌های صورت‌بندی وجود دارد و خواص شیمیایی این ترکیبات نشان می‌دهد که برهمکنش‌های واندروالسی حلقة-متقاطع نقش مهمی دارند. حلقه‌های بزرگ به طرز فرایندهای انعطاف‌پذیر می‌شوند و تعداد صورت‌بندی‌های کم‌انرژی در آنها زیاد است. در جدول ۷-۳ داده‌های مربوط به انرژی کششی سیلکوآلکن‌ها تا سیلکودودکان ارائه شده است.

حلقه سیلکوپروپان الزاماً مسطح است و مسئله صورت‌بندی مطرح نمی‌شود. طول‌های پیوندی قدری از مقدار

عادی که  $1.5\text{\AA}$  است کوتاه‌تر بوده زاویه  $\text{H}-\text{C}-\text{H}$  تا حدی از زاویه چهاروجهی بازتر ( $115^\circ$ ) است.<sup>۵۴</sup> این ویژگی‌های ساختاری و واکنش‌پذیری نسبتاً بالای حلقه‌های سیلکوپروپان به وسیله مفهوم «پیوندهای خمیده» قابل توضیح هستند که در آنها چگالی الکترون از محور بین هسته‌ای جای‌جا می‌شود (بخش ۱-۱-۱).

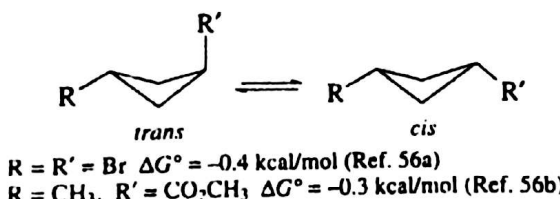
### جدول ۷-۳ انرژی کنش سیکلوآلکان.

Cycloalkane	Strain energy (kcal/mol) <sup>a</sup>
Cyclopropane	28.1 <sup>b</sup>
Cyclobutane	26.3
Cyclopentane	7.3
Cyclohexane	1.4
Cycloheptane	7.6
Cyclooctane	11.9
Cyclononane	15.5
Cyclodecane	16.4
Cyclododecane	11.8

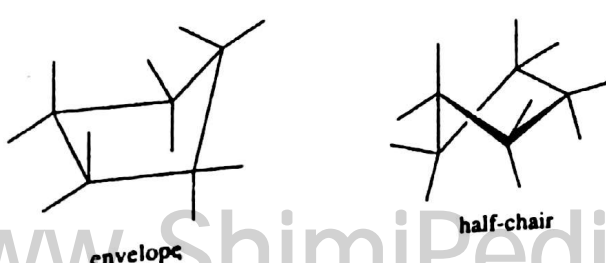
a. Estimated values taken from E. M. Engler, J. D. Andose, and P. v. R. Schleyer, *J. Am. Chem. Soc.* 95:8005 (1973).

b. Estimated values taken from P. v. R. Schleyer, J. E. Williams, and K. R. Blanchard, *J. Am. Chem. Soc.* 92:2377 (1970).

سیکلوبوتان یک صورت‌بندی چین‌خوردۀ به خود می‌گیرد که استخلاف‌ها در آن موقعیت‌های شبهمحوری یا شبه‌استوایی را اشغال می‌کنند.<sup>۵۵</sup> سیلکوپروپان‌های ۱-۳-استخلافی، ارجحیت انرژی کوچکی برای ایزومر سیس نشان می‌دهد زیرا این باعث قراردادن هر دو استخلاف در موقعیت‌های شبه‌استوایی می‌شود.<sup>۵۶</sup> اختلاف انرژی و سد انرژی مقابله وارونگی هر دو نسبت به سیلکو‌هگزان کوچک‌ترند.

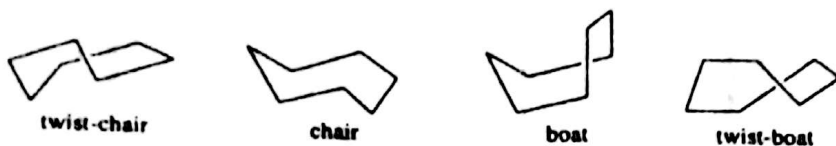


سیکلوبنتان نامسطح است و دو شکل هندسی با انرژی کمینه وجود دارند که یکی به عنوان پاکتی و دیگری به عنوان نیم‌صندلی شناخته می‌شود.<sup>۵۷</sup> در صورت‌بندی پاکتی، یک اتم کربن از صفحه چهار اتم کربن دیگر بیرون آمده است. در صورت‌بندی نیم‌صندلی، سه کربن در یک صفحه قرار دارند، یکی از دو کربن باقیمانده در بالای این صفحه و کربن دیگر در پایین آن قرار می‌گیرد. اختلاف انرژی میان صورت‌بندی‌ها بسیار کوچک است و تبدیل دو صورت‌بندی به یکدیگر به سرعت انجام می‌شود.<sup>۵۸</sup> همه اتم‌های کربن به سرعت از موقعیت‌های مسطح و نامسطح تغییر مکان می‌دهند. این فرایند را چرخش کاذب می‌نامند.



با افزایش اندازه حلقة، بر تعداد صورت‌بندی‌هایی که باید در نظر گرفته شوند، افزوده می‌شود. برای سیکلوبهتان،

چهار صورت‌بندی بهویژه پایدار محاسبه شده است.<sup>۵۹</sup> پژوهش‌های NMR نشان می‌دهند که صندلی پیچ خورده بیشترین پایداری را دارد.<sup>۶۰</sup> مشتقات سیکلوهپتان عمده‌تاً صورت‌بندی صندلی پیچ خورده را به خود می‌گیرند.<sup>۶۱</sup>



پراکندگی کل در انرژی‌ها برای چهار صورت‌بندی فقط ۲.۷ kcal/mol محاسبه شده است. صورت‌بندی‌های پیچ خورده به وسیله چرخش کاذب به سرعت به یکدیگر تبدیل می‌شوند.<sup>۶۲</sup>

برای سیکلوهپتان، در کل یازده صورت‌بندی باید در نظر گرفت که انرژی نسبی آنها محاسبه شده است. بر اساس این محاسبات، شکل قایق-صندلی پایدارترین صورت‌بندی است. این پیش‌بینی را تحلیل طیف‌های وابسته به دمای  $^{19}\text{F}-\text{NMR}$ <sup>۱۹</sup> برای فلوروروسیکلوهپتان تائید می‌کند.<sup>۶۳</sup> انرژی فعال‌سازی برای تبدیل صورت‌بندی‌ها به یکدیگر در گستره ۵–۸ kcal/mol قرار دارد. تعدادی از پایدارترین صورت‌بندی‌های این ترکیب در زیر نشان داده شده‌اند.

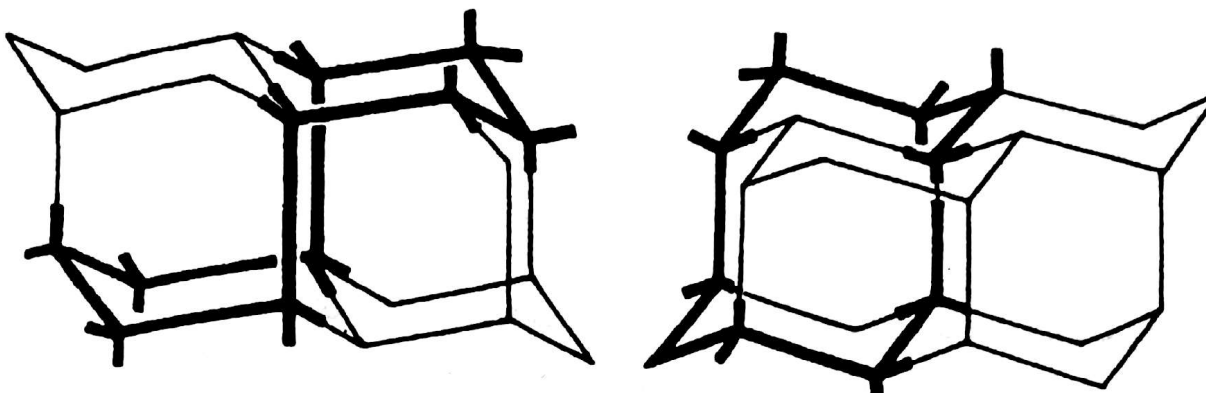


تعداد صورت‌بندی‌های ممکن برای حلقه‌های بزرگتر به سرعت زیاد می‌شود.<sup>۶۴</sup> یک مفهوم جالب و ساده کننده در اینجا پدید می‌آید. شبکه الماس، پایدارترین آرایش برای آرایه بزرگی از اتم‌های کربن  $\text{sp}^3$  است. همچنین نتایج نظری و تجربی وجود دارند که نشان می‌دهند هیدروکربن‌های اشباع شده چند حلقه‌ای پیچیده در ساختارهای الماس‌گونه دارای بیشترین پایداری هستند. آدامانتان آشناترین مثال از این نوع ساختار است.



می‌توان پیش‌بینی کرد که حلقه‌های انعطاف‌پذیر بزرگ، ساختارهای مشابهی را به خود می‌گیرند که حاوی صورت‌بندی صندلی سیکلوهگزان هستند. صورت‌بندی‌ها مریبوط به سیکلوآلکان‌های  $\text{C}_{24}$  تا  $\text{C}_{10}$  متناظر با بخش‌های شبکه الماسی به وسیله تحلیل توپولوژی سیستماتیک با استفاده از مدل‌ها یا محاسبات کامپیوتری شناسایی شده‌اند.<sup>۶۵</sup> این نوع رابطه در شکل ۷-۳ برای سیکلوهپدان نشان داده شده است. محاسبات مکانیک مولکولی نشان می‌دهد که این در واقع کم انرژی‌ترین صورت‌بندی برای سیکلوهپدان است.<sup>۶۶,۶۷</sup>

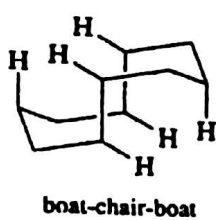
مطالعات انجام شده روی مشتقات سیکلوهپدان به وسیله روش‌های بلورشناسی پرتو X نشان داده است که این مولکول در حالت جامد، صورت‌بندی قایق-صندلی-حقایق را به خود می‌گیرد.<sup>۶۷</sup> (توجه دارید که واژه قایق در اینجا به شیوه‌ای متفاوت با سیکلوهگزان به کار گرفته می‌شود). همان‌طور که در جدول ۷-۳ خاطرنشان شد، سیکلوهپدان بسیار بیشتر از سیکلوهگزان تحت کشش قرار دارد. بررسی صورت‌بندی قایق-صندلی-حقایق نشان می‌دهد که منع بخشی از این کشش تماس‌های واندروالسی نزدیک میان دو مجموعه سه تایی از هیدروژن‌ها در هر طرف مولکول است (شکل زیر را مشاهده کنید). انحراف مولکول به شکل‌های پیچشی باعث تخفیف یافتن این برهمکنش‌ها می‌شود ولی در عوض کشش پیچشی وارد مولکول می‌شود.



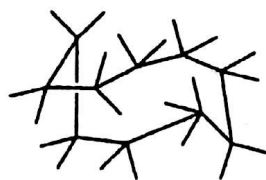
### **Side view**

### **Front view**

شکا، ۳-۷ صوت‌بندی‌های هم‌ارز از شبکه الماسی برای سیکلودکان.



## **boat-chair-boat**



## **twist-boat-chair**

با بزرگ شدن اندازه حلقه، تعداد صورت‌بندی‌های ممکن نیز بیشتر می‌شود به‌طوری که صورت‌بندی‌های شبکه‌الماسی متناوب در دسترس مولکول قرار می‌گیرد.<sup>۶۸</sup>

### ۳-۵ اثر هترواتم‌ها بر تعادل‌های صورت‌بندی

از قرار گرفتن عناصر دیگر به جای اتم کربن در چند پارامتری ساختاری تغییراتی به وجود می‌آید که بر خصوصیات صورت‌بندی مولکول تأثیر می‌گذارند. در این بخش، ابتدا به توصیف برخی ویژگی‌های فضای شیمیایی مشابه‌های هتروسیکلی سیکلوآلکان‌ها می‌پردازیم.<sup>۱۹</sup> برای شرح و بسط درباره اصول حاکم بر صورت‌بندی، بحث خود را روی حقه‌های شش عضوی مرکزی کنیم به طوری که بتوان خواص آنها را در حیطه سیستم‌هایی در نظر گرفت که دارای تعداد محدودی از صورت‌بندی‌های کم انرژی باشند.

آشکارترین تغییراتی که با وارد کردن یک هترواتم به درون حلقه شش عضوی رخ می دهد، به طول پیوند و زاویه پیوند مربوط می شود. هر دو پیوند کربن-اکسیژن و کربن-نیتروژن (به ترتیب  $1.43\text{\AA}$  و  $1.47\text{\AA}$ ) از پیوند کربن-کربن ( $1.54\text{\AA}$ ) کوتاه ترند، در حالی که طول پیوند کربن-گوگرد ( $1.82\text{\AA}$ ) بسیار بزرگ تر است. زوایای پیوندی عادی در اکسیژن و نیتروژن قدری از زاویه چهار وجهی کوچکترند و این تفاوت برای گوگرد بسیار چشمگیرتر است زیرا برای آن زاویه عادی  $C-S-C$  حدوداً  $100^\circ$  است. هتروسیکل های شش حلقه ای حاوی اکسیژن (تتراهیدروپیران)، نیتروژن (پیپریدین) و گوگرد (تیان) همگی شبیه به شکل صندلی سیکلوهگزان هستند ولی طوری تغییر شکل می دهند که طول های پیوندی و زاویه های پیوندی مشخصه این هترواتم ها را در خود اسکان دهند. تاخور دگی این حلقه ها از سیکلوهگزان قدری بیشتر است. به دلیل طول های پیوندی کوتاه تر  $O-C-O$ ، استخلاف در موقعیت ۲ روی حلقه های تتراهیدروپیران و  $3,1$ -دی اکسان نسبت به حلقه های سیکلوهگزان دارای

انرژی آزاد صورت‌بندی بیشتری هستند. طول‌های پیوندی کوتاه‌تر به برهمکنش دافعه‌ای قوی‌تر با هیدروژن‌های محوری منجر می‌شود. در جدول ۸-۳ مقادیر  $\Delta G^\circ$ -برای چند گروه آلکیل در تراهیدروپیران، ۱،۳-دی‌اکسان و ۱،۳-دی‌تیان به همراه مقادیر  $\Delta G^\circ$ -برای سیکلوهگزان داده شده است.



جدول ۸-۳ مقایسه مقادیر انرژی آزاد صورت‌بندی برای استخلاف‌های روی تراهیدروپیران، ۱،۳-دی‌اکسان و ۱،۳-دی‌تیان با مقادیر مربوط به سیکلوهگزان.

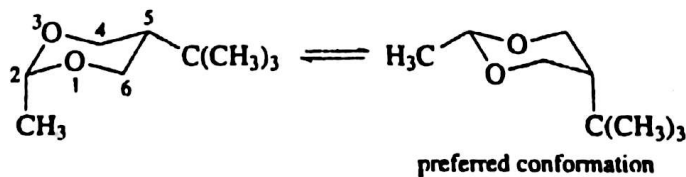
Group	Cyclohexane	Tetrahydro-pyran <sup>a</sup> 2-Position	$-\Delta G^\circ$ (kcal/mol)			
			1,3-Dioxane <sup>b</sup>		1,3-Dithiane <sup>c</sup>	
			2-Position	5-Position	2-Position	5-Position
CH <sub>3</sub> -	1.8	2.9	4.0	0.8	1.8	1.0
CH <sub>3</sub> CH <sub>2</sub> -	1.8		4.0	0.7	1.5	0.8
(CH <sub>3</sub> ) <sub>2</sub> CH-	2.1		4.2	1.0	1.5	0.8
(CH <sub>3</sub> ) <sub>3</sub> C-	> 4.5			1.4	> 2.7	
CH <sub>2</sub> =CH-	1.7	2.3				
CH≡C-	0.5	0.3				

a. E. L. Eliel, K. D. Hargrave, K. M. Pietrusiewicz, and M. Manoharan, *J. Am. Chem. Soc.* 104:3635 (1982).

b. E. L. Eliel and M. C. Knoeber, *J. Am. Chem. Soc.* 90:3444 (1968); F. W. Nader and E. L. Eliel, *J. Am. Chem. Soc.* 92:3050 (1970).

c. E. L. Eliel and R. O. Hutchins, *J. Am. Chem. Soc.* 91:2703 (1969).

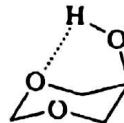
یک ویژگی مهم در حلقه‌های هتروسیکلی، کاهش دافعه فضایی برای استخلاف‌های محوری است که از جایگزینی گروه متیلن در سیکلوهگزان با اکسیژن، نیتروژن یا گوگرد نتیجه می‌شود. این اثر به سهولت در سیس-۲-متیل-۱،۳-دی‌اکسان قابل مشاهده است؛ در این نمونه، صورت‌بندی ارجح دارای گروه ابتویل محوری و گروه متیل استوایی است.<sup>۷</sup> اکسیژن دو ظرفیتی هیچ استخلافی ندارد، لذا برهمکنش ۱،۳-دومحوری که نامطلوب ترین برهمکنش برای استخلاف‌های محوری در سیکلوهگزان است، در این نمونه وجود ندارد. برهمکنش‌های دومحوری میان گروه متیل و هیدروژن‌های C-4 و C-6 بر هر گونه دافعه میان گروه ابتویل و جفت الکترون تنهای اکسیژن می‌چربند.



معلوم شده است که استخلاف‌های ۵-آلکیل در ۱،۳-دی‌اکسان نسبت به سیکلوهگزان ارجحیت کمتری برای گرفتن موقعیت استوایی از خود نشان می‌دهند. این کاهش ارجحیت از کاهش دافعه‌های واندروالسی در جهت‌گیری محوری ناشی می‌شود زیرا هیدروژنی وجود ندارد که نسبت به استخلاف ۵-آلکیل در حالت سین-محوری باشند. ولی استخلاف ۲-آلکیل ارجحیت بیشتری برای جهت‌گیری استوایی در ۱،۳-دی‌اکسان نسبت به سیکلوهگزان دارد زیرا کاهش طول پیوند (C-O-C) نسبت به (C-C) یک گروه ۲-آلکیل محوری را در

تماس بیشتر با هیدروژن‌های سین-محوری در C-4 و C-6 قرار می‌دهد که نتیجه آن افزایش دافعه واندروالسی خواهد بود. به طور مشابه، استخلاف ۴-آلکیل محوری در ۱،۳-دیاکسان دچار دافعه واندروالسی بزرگ با هیدروژن محوری در C-2 نسبت به سیکلوهگزان می‌شود. نکته کلی که باید درک کرد آن است که انرژی آزاد صورت‌بندی نه تنها تابعی از اندازه گروه بلکه تابعی از محیط مولکولی اطراف آن است.<sup>۷۱</sup>

کاهش ارجحیت برای جهت‌گیری استوایی یک گروه ۵-آلکیل در ۱،۳-دیاکسان‌ها و ۱،۳-دیتیان‌ها از داده‌های جدول ۸-۳ مشهود است. همچنین غالب توجه است که افزایش ارجحیت برای جهت‌گیری استوایی یک گروه ۲-متیل در ۱،۳-دیاکسان با تبدیل حلقه به ۱،۳-دیتیان ناپدید می‌شود. انرژی‌های آزاد صورت‌بندی برای استخلاف‌های ۱،۳-دیآلکیل در ۱،۳-دیتیان به سیکلوهگزان شباهت بیشتری دارند (در واقع قدری کوچکترند) که این ناشی از طول بیشتر پیوند C-S در مقایسه با C-O است. اگر یک استخلاف قطبی داشته باشیم، برهمکنش‌های میان استخلاف و هترواتم روی حلقه می‌تواند عامل مهمی در تعیین وضعیت تعادل صورت‌بندی باشد. در برخی موارد، این برهمکنش‌ها صریح بوده به راحتی می‌توان آنها را ارزیابی کرد. برای مثال، در صورت‌بندی ارجح برای ۵-هیدروکسی-۱،۳-دیاکسان، گروه هیدروکسیل در موقعیت محوری قرار دارد.<sup>۷۲</sup> این صورت‌بندی از آن رو مطلوب است که تشکیل پیوند هیدروژنی گروه هیدروکسیل با اکسیژن حلقه تنها هنگامی امکان‌پذیر است که گروه هیدروکسیل به حالت محوری بوده به عنوان عاملی پایدارکننده برای این صورت‌بندی عمل کند.



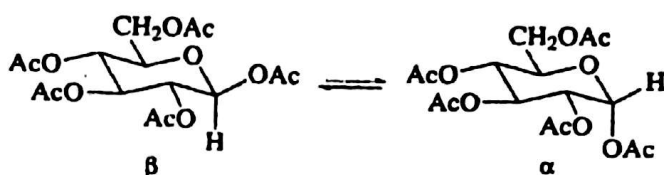
### ۳-۶ اثر آنومری

وجود هترواتم‌ها در حلقه می‌تواند باعث اثر فضالکترونی شود که به نوعه خود اثرات محسوسی بر صورت‌بندی و در نهایت واکنش‌پذیری دارند. مثال‌های فراوان در شیمی کربوهیدرات‌ها نشان می‌دهد که قندهای پیرانوزی با گروه‌های الکترون‌کشنده مثل هالوژن یا آلكوکسی در C-1 معمولاً در حالتی پایدارترند که استخلاف در موقعیت محوری باشد. این تمایل تنها به کربوهیدرات‌ها محدود نمی‌شود بلکه روی سیستم‌های حلقوی ساده‌تر مثل تراهیدروپیران‌های ۲-استخلافی نیز مشاهده می‌شود. این پدیده به عنوان اثر آنومری شناخته می‌شود زیرا شامل استخلاف در موقعیت آنومری در حلقه‌های پیرانوزی کربوهیدرات‌ها می‌شود.<sup>۷۳</sup> در طرح ۱-۳، فهرستی از چند ترکیب ارائه شده است که اثر آنومری از خود نشان می‌دهند. در این طرح همچنین توزیع تعادلی اندازه گیری شده برای آنها نیز داده شده است. در مدخل‌های اول تا سوم، تعادل‌هایی میان دیاسترومراها بر قرارند در حالی که مدخل‌های چهارم تا ششم، اثر آنومری را در سیستم‌هایی با تحرک صورت‌بندی نشان می‌دهند. در تمامی موارد، ایزومرها پایدارتر در طرف راست نشان داده شده است.

بزرگی اثر آنومری به ماهیت استخلاف بستگی دارد و با افزایش ثابت‌های دیالکتریک حلال از شدت آن کاسته می‌شود.<sup>۷۴</sup> اثر استخلاف را می‌توان با مقایسه دو مشتق استخلافی ۲-کلرو و ۲-متوكسی تراهیدروپیران در مدخل‌های دوم و سوم مشاهده کرد. ترکیب ۲-کلرو ارجحیت بسیار بیشتری برای جهت‌گیری محوری نسبت به ترکیب ۲-متوكسی از خود نشان می‌دهد. در مدخل ۳ همچنین داده‌های مربوط به اثر قطبیت حلال فراهم آمده است؛ مشاهده شده است که ثابت تعادل در کربن تراکلرید (2.2=ε) از استونیتریل (37.5=ε) بزرگتر است.

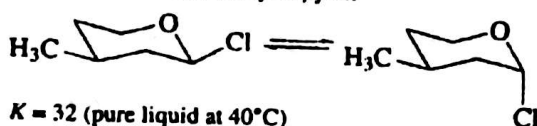
طرح ۱-۳ تعادل در ترکیباتی که اثر آنومری را ز خود نشان می‌دهند.

۱<sup>a</sup> Glucose pentaacetate



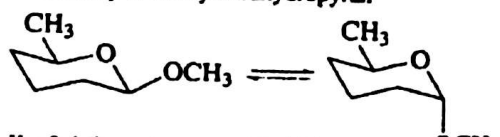
$K = 5$  (in 50% acetic acid; acetic anhydride, 0.1 M  $H_2SO_4$  at 25°C)  
 $\Delta H^\circ = -1.4 \text{ kcal/mol}$

۲<sup>b</sup> 2-Chloro-4-methyltetrahydropyran



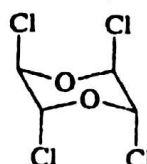
$K = 32$  (pure liquid at 40°C)

۳<sup>c</sup> 2-Methoxy-6-methyltetrahydropyran



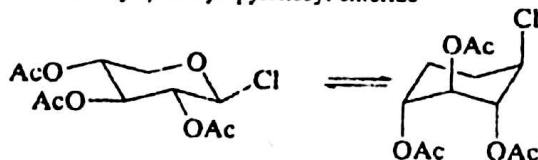
$K = 3.4$  (in carbon tetrachloride)  
 $K = 1.8$  (in acetonitrile)

۴<sup>d</sup> trans, cis, trans-2,3,5,6-Tetrachloro-1,4-dioxane



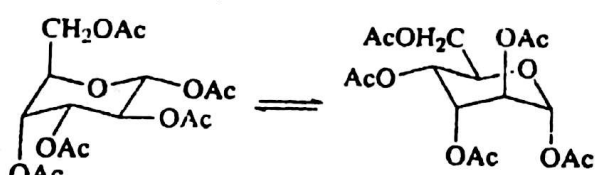
Equilibrium constant not known in solution; crystalline form has all chlorines axial.

۵<sup>e</sup> Tri-O-acetyl-β-D-xylopyranosyl chloride



The NMR spectrum in  $CDCl_3$  indicates that the all-axial form is strongly favored.  
The equilibrium constant is not known.

۶<sup>f</sup> α-D-Altrupyranose pentaacetate



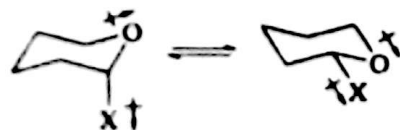
only form present at equilibrium by NMR analysis

- a. W. A. Bonner, *J. Am. Chem. Soc.* 73:2659 (1951).
- b. C. B. Anderson and D. T. Sepp, *J. Org. Chem.* 32:607 (1967).
- c. E. L. Eliel and C. A. Giza, *J. Org. Chem.* 33:3754 (1968).
- d. E. W. M. Rutten, N. Nibbering, C. H. MacGillavry, and C. Romers, *Rec. Trav. Chim.* 87:888 (1968).
- e. C. V. Holland, D. Horton, and J. S. Jewell, *J. Org. Chem.* 32:1818 (1967).
- f. B. Coxon, *Carbohydr. Res.* 1:357 (1966).

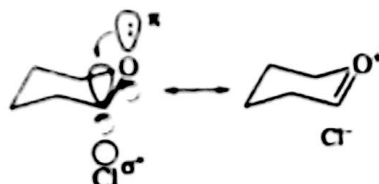
ترکیباتی که در آنها تعادل‌های صورت‌بندی، و نه پیکربندی، از اثر آنومری تأثیر می‌پذیرند، در مدخل‌های ۴ تا ۶ داده شده‌اند. با مطالعات پرتو X روی تک‌بلور ثابت شده است که همه اتم‌های کلر رانس، سیس، ترانس، ترانس-۱،۴-تتراکلرو-۲،۳،۵،۶-دی‌اکسان، جایگاه‌های محوری را در بلور اشغال می‌کنند. هر یک

از اتم‌های کلر در این مولکول به یک کربن آنومری متصل است و در معرض اثر آنومری قرار دارد. مشاهده جالب دیگر آن است که همه استخلاف‌های تری-O-استیبل- $\beta$ -D-زایلوپیرانوزیل کلرید که در مدخل ۵ نشان داده شده است، در محلول جهت‌گیری محوری را اختیار می‌کند. در اینجا برای توجیه این صورت‌بندی به هیچ نیروی انباشتگی بلوری خاصی نمی‌توان روی آورد. اثر آنومری یک کلر برای راندن تعادل به سمتی که سه گروه استوکسی در موقعیت محوری قرار گیرند، کافی است.

چند عامل ساختاری به عنوان علل محتمل برای اثر آنومری در نظر گرفته شده است. در حبظه پیوند ظرفی، می‌توان تشخیص داد که میان پیوندهای قطبی در کربن آنومری در صورت‌بندی استوایی یک دافعه دوقطبی-دوقطبی وجود دارد. این دافعه دوقطبی-دوقطبی در صورت‌بندی محوری کاملاً می‌باشد و این عامل احتمالاً در واستگی اثر آنومری به حلال سهم دارد.



از دیدگاه اوربیتال مولکولی، اثر آنومری به عنوان نتیجه‌ای از برهمکنش میان الکترون‌های جفت نهایی روی اکسیژن پیران و اوربیتال  $5^{\circ}$  مربوط به پیوند با استخلاف الکتروگاتیو C-2 توصیف می‌شود.<sup>۷۵</sup> هنگامی که پیوند C-X محوری باشد، برهمکنش میان یک اوربیتال اشغال شده نوع p روی اکسیژن (الکترون‌های جفت نهای) و اوربیتال ضد پیوندی  $5^{\circ}$  از پیوند X-C امکان‌پذیر می‌شود. به این ترتیب، نامترنگشتن الکترون‌های جفت نهای میسر می‌شود و انتظار می‌رود پیوند O-C تقویت شود در حالی که به طول پیوند X-C افزوده و از قدرت آن کاسته می‌شود.



با مطالعاتی که روی بستگی جابه‌جایی شبیه‌ای  $^{13}\text{C}$ -NMR ترکیب ۲-متوكسی تراهیدروپیران به دما انجام شده است، مقادیر  $\Delta G^{\circ}$  بین ۰.۵ تا  $0.8\text{kcal/mol}$  تعیین شده است که این تغییرات به نوع حلال مربوط می‌شود.<sup>۷۶</sup> محاسبات MO نشان می‌دهد که گروه متوكسی محوری به اندازه  $1.5\text{kcal/mol}$  مطلوب‌تر است.<sup>۷۷</sup> در مثلفات ۲-آلکوکسی تراهیدروپیران، میان طول پیوند برون‌حلقه‌ای C-O و ماهبت استخلاف اکسیژنی یک همبستگی وجود دارد. هر چه الکترون‌کشندگی گروه بیشتر باشد، طول پیوندی که با اکسیژن تشکیل می‌شود، بیشتر می‌شود. این نشانگر آن است که میزان اثر آنومری با ظرفیت الکترون‌پذیری اکسیژن برون‌حلقه‌ای افزایش می‌باشد.<sup>۷۸</sup>

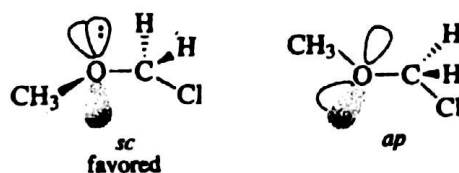


حد افزایش طول پیوند با ظرفیت الکترون‌پذیری OR محدود می‌گیرد

تعادل‌های صورت‌بندی محوری استوایی برای ۲-فلونورو- و ۲-کلرو تراهیدروپیران در محاسبات MO متعدد

مورد پژوهش قرار گرفته‌اند که از جمله می‌توان به محاسبات انجام شده در سطح MP2/6-31G\* اشاره کرد. از محاسبات MP2/6-31G\* به ترتیب مقادیر 3.47 و 2.84 kcal/mol برای انرژی به دست آمده است که تمایل به صورت‌بندی محوری را نشان می‌دهد.<sup>۷۹</sup> اثرات حلال نیز به طور محاسباتی مورد بررسی قرار گرفته‌اند که در نتیجه آنها مشخصه شده است با افزایش قطبیت حلال، پایداری صورت‌بندی محوری را به کاهش می‌گذارد.

اثر آنومری در سیستم‌های غیرحلقوی نیز وجود دارد در آرایش هم‌سطح و ناهمسوی پیوند C-X با اوربیتال جفت‌الکترون تنها هترواتس را ممکن‌پذیر می‌سازد. اثرات آنومری در تعیین پیکربندی استال‌ها و  $\alpha$ -آلکوکسی‌آمین‌ها و نیز  $\alpha$ -هالواترها کاربرد دارند. محاسبات اوربیتال مولکولی (4-31G) اختلافی معادل 4 kcal/mol میان دو صورت‌بندی زیر برای متیل کلرید به دست می‌دهد:<sup>۸۰</sup>



صورت‌بندی سین‌کلینال (sc) برای همپوشانی جفت غیرپیوندی اکسیژن با اوربیتال C-Cl<sup>\*</sup> از پیوند C-Cl مناسب است. برای ارجحیت یافتن حالت هم‌سطح و ناهمسو لازم است یک اوربیتال غیرپیوندی با پیوند کربن و استخلاف الکترونگاتیو آرایش هم‌سطح و ناهمسو داشته باشد. به دلیل ماهیت الکترون‌دهنگی این برهمکنش، ترتیب افزایش آن به صورت N>O>F برای اتم دهنده (D) و N>O>F برای اتم پذیرنده (A) است.



با یک سری واکنش همسان‌نیرو،

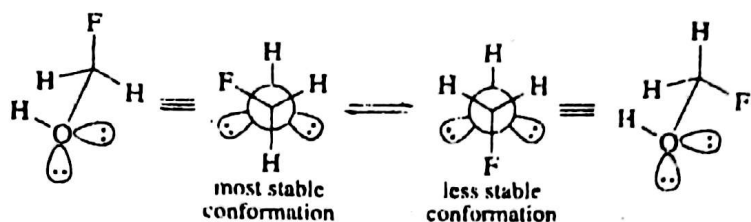


می‌توان اثر پایدارکنندگی را اندازه گیری کرد. نتایج با استفاده محاسبات MO در سطح 3-21G است.<sup>۸۱</sup> محاسبات انجام شده برای یک واکنش همسان‌نیروی مرتبط در سطح MP2/6-311G(d,f) مقادیری به مراتب پایین‌تر (داخل پرانتز) برای سه مشتق استخلافی دوقلو به دست داد.<sup>۸۲</sup>

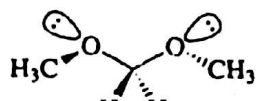
پایداری محاسبه شده برای اثر آنومری (kcal/mol)

X(donor)	Y(acceptor)		
	NH <sub>2</sub>	OH	F
NH <sub>2</sub>	10.6 (3.3)	12.7	17.6
OH		17.4 (9.0)	16.2
F			13.9 (4.5)

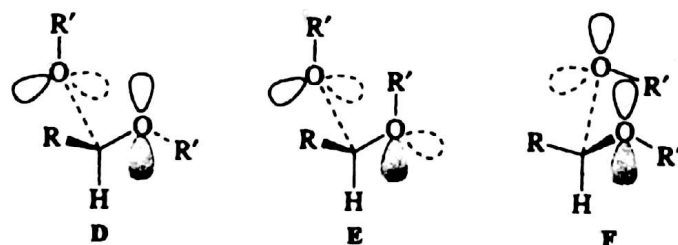
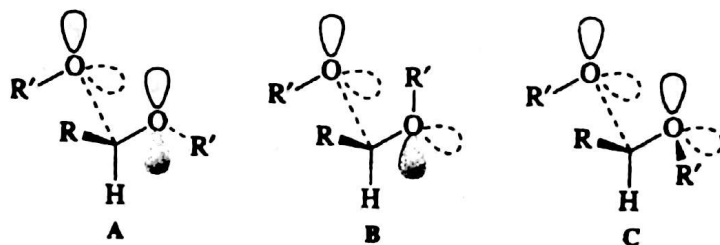
مورد فلورومتانول نیز مثالی جالب است. سد بزرگی در مقابل چرخش هیدروژن هیدروکسیل نسبت به گروه فلورومتیل وجود دارد و در جهت‌گیری ارجح، هیدروژن هیدروکسیل نسبت به فلور در حالت گوش قرار دارد.<sup>۸۳</sup> این صورت‌بندی فلور آنتی نسبت به هیدروژن هیدروکسیل پایدار‌تر است.



ارجحیت برای آرایش گوش مثالی از اثر آنومری است. یک جفت تنهای اکسیژن در صورت‌بندی پایدار نسبت به فلورور در حالت گوش قرار دارد ولی در صورت‌بندی ناپایدار خیر. حتی مولکول‌هایی به سادگی دی‌متوكسی متان نیز شواهدی از اثر آنومری به دست می‌دهند. در صورت‌بندی ارجح برای دی‌متوكسی متان هر پیوند C-O با یک جفت تنهای از اکسیژن مجاور همسو می‌شود.<sup>۸۴</sup>

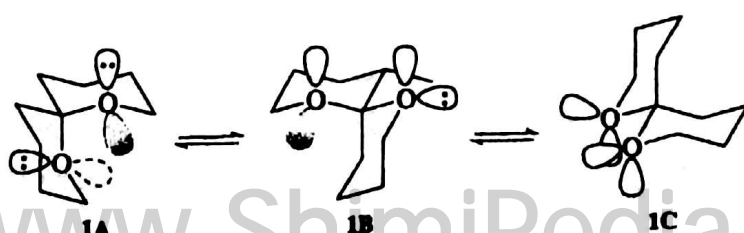


استال‌های غیر حلقوی ساده می‌توانند شش صورت‌بندی متمایز داشته باشند:



صورت‌بندی ارجح، D است زیرا تعداد روابط هم‌سطح و ناهمسو، میان جفت‌های تنهای غیرپیوندی و پیوندهای C-O را به حداقل میزان می‌رساند در حالی که از دافعه‌های واندروالسی 'R'-R' در صورت‌بندی‌های E و F پرهیز می‌شود.

در سیستم‌های حلقوی مثل ۱، صورت‌بندی غالب دارای بیشترین اثر آنومری است. در مورد ۱، فقط صورت‌بندی ۱A است که شکل هندسی هم‌سطح و ناهمسو لازم برای هر دو اکسیژن را فراهم می‌آورد.<sup>۸۵</sup> روابط هم‌سطح و ناهمسو باگنجانده شدن جفت‌های تنهای در اوربیتال‌های اکسیژن نشان داده می‌شوند. البته اثرات دیگری از قابل کشن پیچشی و دافعه ناپیوندی نیز در تعادل صورت‌بندی سهم دارند. معمولاً به پایداری ناشی از برهمکنش آنومری بهینه در یک استال مقدار 1.5kcal/mol نسبت داده می‌شود.



مثال دیگری از یک اثر فضالکترونی در آمین‌ها مشاهده می‌شود. آمین‌هایی که در آنها یک پیوند C-H دارای

جهت‌گیری هم‌سطح و ناهمسو نسبت به جفت تنهای نیتروژن است، در فرکانس کششی پیوند C-H از خود جابجایی نشان می‌دهد که این به ضعیف شدن پیوند به اندازه حدوداً ۰.۴ kcal/mol مربوط می‌شود.<sup>۸۱</sup> این اثر، که اثر جفت تنهای ترانس خوانده می‌شود، از برهمکنش میان جفت تنهای و اوربیتال ضدپیوندی<sup>\*</sup> در C-H ناشی می‌شود. اثرات مشابهی نیز در ترکیبات اکسیژن وجود دارد ولی این اثرات به دلیل الکترونگاتیوی بیشتر اکسیژن ضعیف‌ترند.

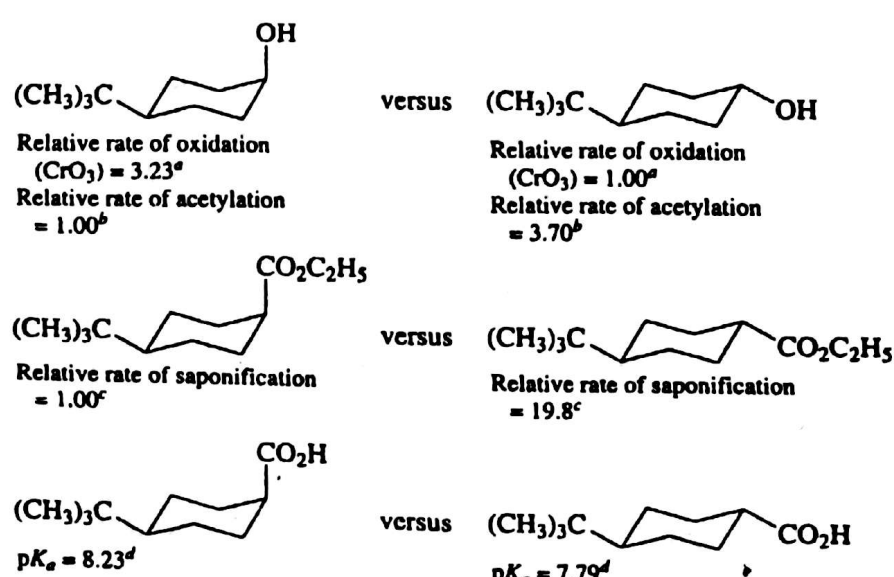
### ۷-۳ اثرات صورت‌بندی بر واکنش‌پذیری

اثرات صورت‌بندی بر واکنش‌پذیری به طور کامل برای سیستم‌های سیکلوهگزانی مورد بررسی قرار گرفته است. اختلاف میان محیط محوری و استوایی یک گروه عاملی می‌تواند منجر به اختلاف چشمگیری در سرعت‌های واکنش‌پذیری شود. یکی از متداول‌ترین شیوه‌های مطالعه اثر جهت‌گیری بر واکنش‌پذیری، استفاده از ابیوتیل یا استخلاف‌های بزرگ دیگر در مکان مناسب است تا اطمینان حاصل گردد که گروه واکنش‌دهنده بهشت در موقعیت استوایی یا محوری قرار دارد. از سیستم ترانس-دکالین که از نظر صورت‌بندی صلب است، می‌توان برای ارزیابی اختلاف واکنش‌پذیری میان گروه‌های عاملی در موقعیت‌های محوری در مقابل استوایی استفاده کرد.



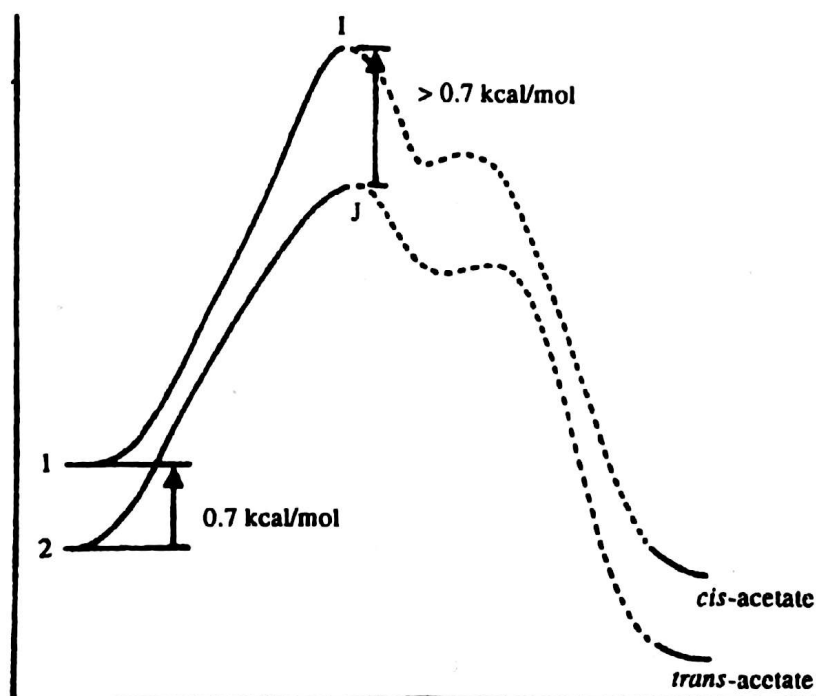
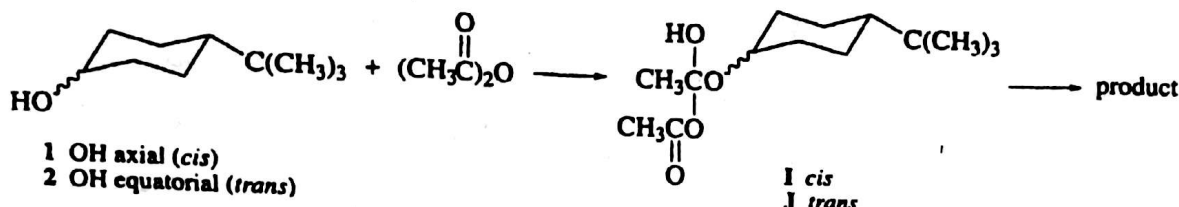
در طرح ۲-۳ داده‌هایی ارائه شده است که اختلاف واکنش‌پذیری میان گروه‌های واقع در موقعیت‌های محوری و استوایی را نشان می‌دهد. لازم به ذکر است که یک گروه می‌تواند در موقعیت محور در مقایسه با موقعیت استوایی متناظر با آن واکنش‌پذیری کمتر یا بیشتر داشته باشد.

طرح ۲-۳ اثرات جهت‌گیری گروه عاملی بر سرعت‌ها و تعادل‌ها



- a. E. L. Eliel, S. H. Schroeter, T. J. Brett, F. J. Biros, and J.-C. Richer, *J. Am. Chem. Soc.* **88**:3327 (1966).  
 b. E. L. Eliel and F. J. Biros, *J. Am. Chem. Soc.* **88**:3334 (1966).  
 c. E. L. Eliel, H. Haubenstock, and R. V. Acharya, *J. Am. Chem. Soc.* **83**:2351 (1961).  
 d. R. D. Stolow, *J. Am. Chem. Soc.* **81**:5806 (1959).

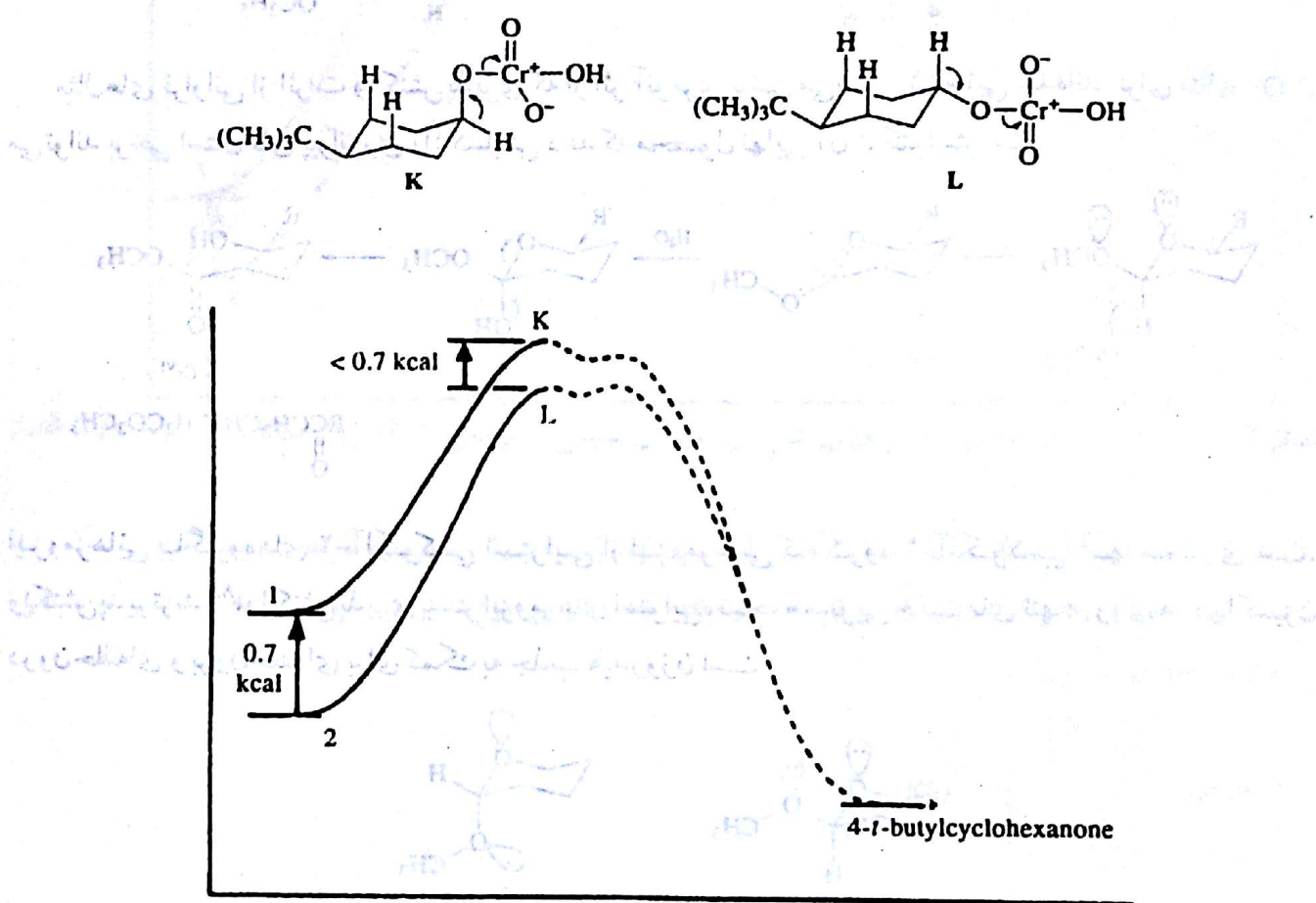
اثر صورت بندی بر واکنش پذیری ارتباط نزدیکی با جزئیات مکانیزم واکنش دارد. در مثال های طرح ۲-۳ شیوه های تأثیرگذاری جهت گیری استخلاف بر واکنش پذیر نشان داده شده است. نشان داده شده است که اکسازین سیس-۴- بوتیل سیکلوهگزانول از اکسایش ایزومر ترانس سریع تر صورت می پذیرد ولی سرعت اسیل دارشدن، ترتیبی معکوس دارد. نخست به استیل دارشدن می پردازیم. سرعت این واکنش به انرژی فعال سازی مرحله تعیین کننده سرعت بستگی دارد. این مرحله برای استیل دارشدن شامل حمله نولکتوفیلی توسط گروه هیدروکسی به گروه کربونیل استیک ایندرید و تشکیل واسطه های چهاروجهی I و J می شود. نمودار انرژی کیفی این واکنش در شکل ۲-۸ داده شده است.



شکل ۲-۸ نمودار انرژی تقریبی برای استیل دارشدن سیس- و ترانس- ۴- بوتیل سیکلوهگزانول.

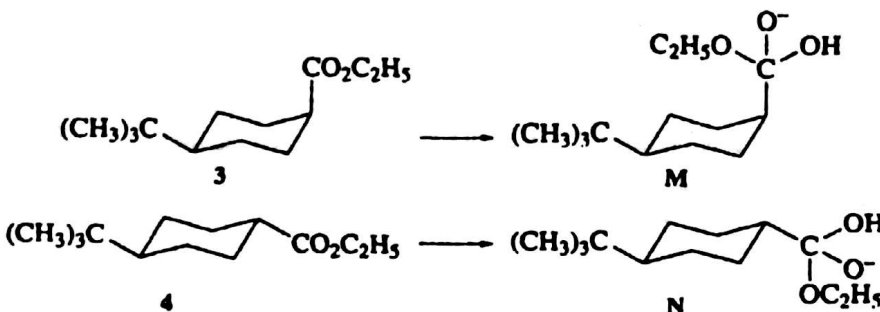
از آنجاکه گروه هیدروکسیل آن یک موقعیت استوایی را اشغال می کند، ایزومر ترانس ترکیب ۲ به اندازه  $\Delta G^\circ$ - از ایزومر سیس ترکیب ۱ برای گروه هیدروکسیل پایدارتر است. می توان فرض کرد که حالت گذار برای مرحله تعیین کننده هیدروکسیل پایدارتر است. می توان فرض کرد که حالت گذار برای مرحله تعیین کننده سرعت به واسطه های چهاروجهی I و J شباهت دارد. از آنجاکه گروه استخلاف با متصل شدن واکنش گر گروه هیدروکسیل بزرگتر شده است، مقدار  $\Delta G^\circ$ - برای استخلاف در حالت گذار باید از  $\Delta G^\circ$ - گروه هیدروکسیل بزرگتر باشد (0.7 kcal/mol). با توجه به این اطلاعات، می توان پیش بینی کرد که ۱ آهسته تر از ۲ استیل دار می شود زیرا انرژی آزاد فعال سازی بزرگ تری لازم خواهد بود. این در شکل ۲-۸ نشان داده شده است. همان طور که در طرح ۲-۳ می بینید، این پیش بینی درست است.

پژوهش‌های گسترده نشان داده است که سیکلوهگزانول‌های محوری نسبت به اکسایش با کرومیک اسید از الكل‌های استوایی واکنش پذیرند.<sup>۸۷</sup> مبنای این اثر را می‌توان با تحلیل انرژی آزاد فعال سازی این واکنش‌ها در کرد. شواهد موجود حاکی از آن است که مرحله تعیین‌کننده سرعت، شکسته شدن واسطه استری کرمات است. حالت گذار شامل گستگی جزئی پیوند C-H و به موازات آن، از دست رفتن کروم می‌شود. نمودار انرژی تقریبی در شکل ۹-۳ داده شده است.

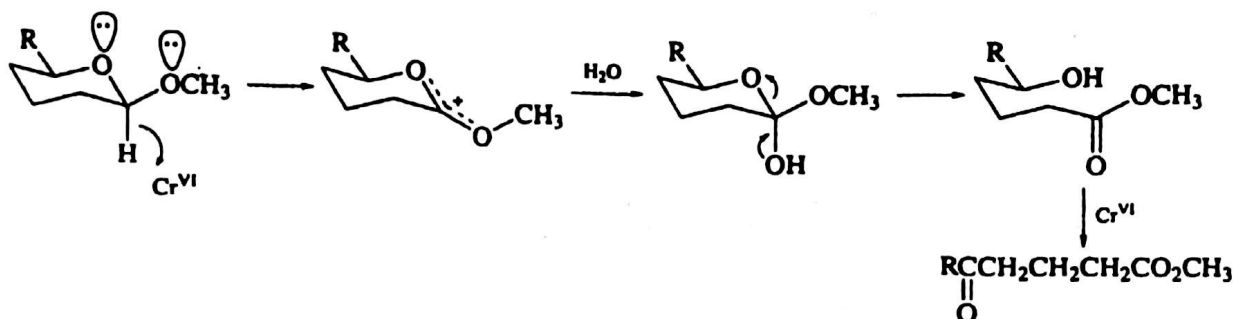


شکل ۹-۳ نمودار انرژی تقریبی برای اکسایش سیس- و ترانس- ۴- بوتیل سیکلوهگزانول.

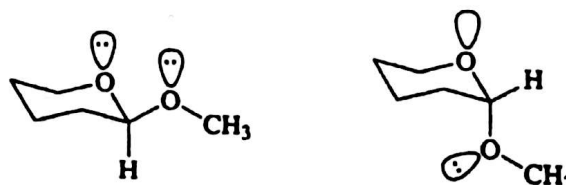
برهمکنش‌های دومحوری (که بخش اعظم انرژی آزاد صورت بندی گروه هیدروکسیل از آنها ناشی می‌شود) در حالت گذار با پیشرفت به سمت هیبریداسیون روی اتم کربنی که دستخوش آسایش می‌شود، تخفیف می‌یابند. از آنجاکه استخلاف با پیشرفت واکنش کوچکتر می‌شود، اختلاف انرژی میان حالت‌های گذار از اختلاف انرژی میان خود واکنش دهنده‌ها کمتر می‌شود. به بیان دیگر، برهمکنش‌های ۳،۱- دومحوری در مرحله تعیین‌کننده سرعت تخفیف می‌یابند. تحت چنین شرایطی، ایزومر سیس که پرانرژی‌تر است، در میان دو الكل واکنش پذیرتر است. تحلیل مشابهی روی هیدرولیز استرهای ۳ و ۴ امکان‌پذیر است. در جدول ۶-۳ مشاهده می‌شود که انرژی آزاد صورت بندی گروه کربوواتوکسی برابر با ۱.۲ کال/مول است. ایزومر سیس به همین اندازه از ایزومر ترانس انرژی بیشتری دارد. حالت‌های گذار به M و N شباهت دارند. گروه استخلاف از  $sp^2$  به  $sp^3$  تغییر هیبرید می‌دهد و با رسیدن به حالت گذار، اندازه آن بزرگ می‌شود. در نتیجه، اختلاف انرژی میان M و N باید بیش از ۱.۲ کال/مول باشد. همان‌طور که از بررسی نمودار تقریبی انرژی در شکل ۱۰-۳ می‌توان نتیجه گرفت، ایزومر ترانس با گروه کربوواتوکسی استوایی به طور چشمگیر سریع‌تر از ایزومر سیس هیدرولیز می‌شود.



مثال‌های فراوانی از اثرات و اکنش‌پذیری که از اثر آنومری ناشی می‌شود، شناسایی شده‌اند. برای مثال، CrO<sub>3</sub> می‌تواند برخی استال‌های پیرانوزی را اکسایش دهد که محصول نهایی آن δ-کتواسترست.



ایزومرهای با گروه‌های ۲-آلکوکسی استوایی از ایزومرهایی که گروه ۲-آلکوکسی آنها محوری است، واکنش‌پذیر ترند.<sup>۸۸</sup> واکنش‌پذیری بیشتر ایزومرهای استوایی، نتیجه همسویی جفت‌های تهای روی هر دو اکسیژن درون‌حلقه‌ای و بروون‌حلقه‌ای برای کمک به جذب هیدروژن است.

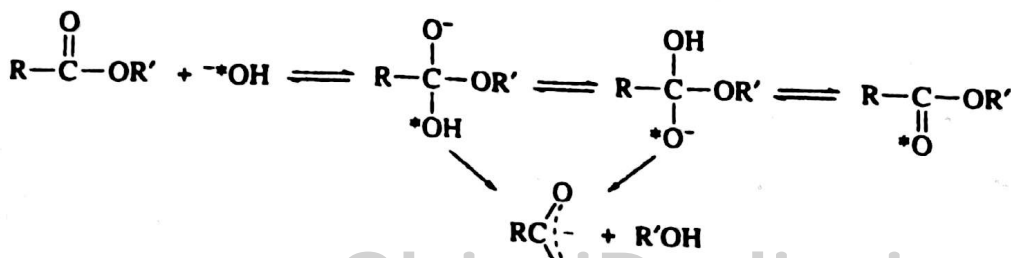


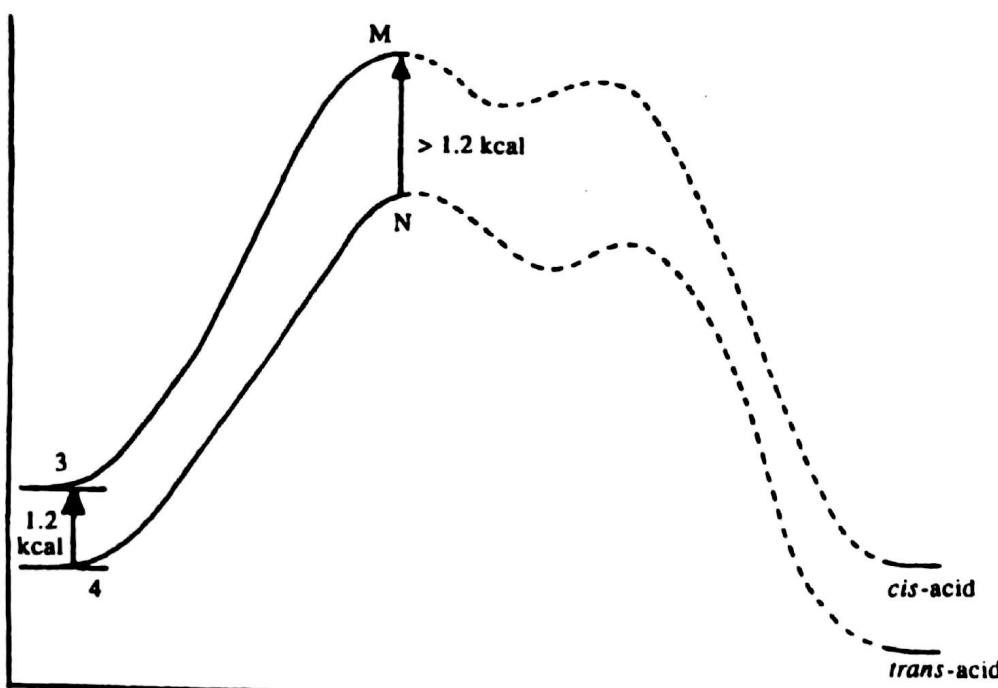
دو اوربیتال جفت تنها  
در آرایش هم سطح و نامتسو

فقط یک اوربیتال جفت تنها  
در آرایش هم سطح و نامتسو

واکنش‌گرهای دیگری که استال‌ها را اکسایش می‌دهند مثل ازوون و N-برموسوکسین‌ایمید، روند مشابهی را برای واکنش‌پذیری نشان می‌دهند.<sup>۸۹</sup>

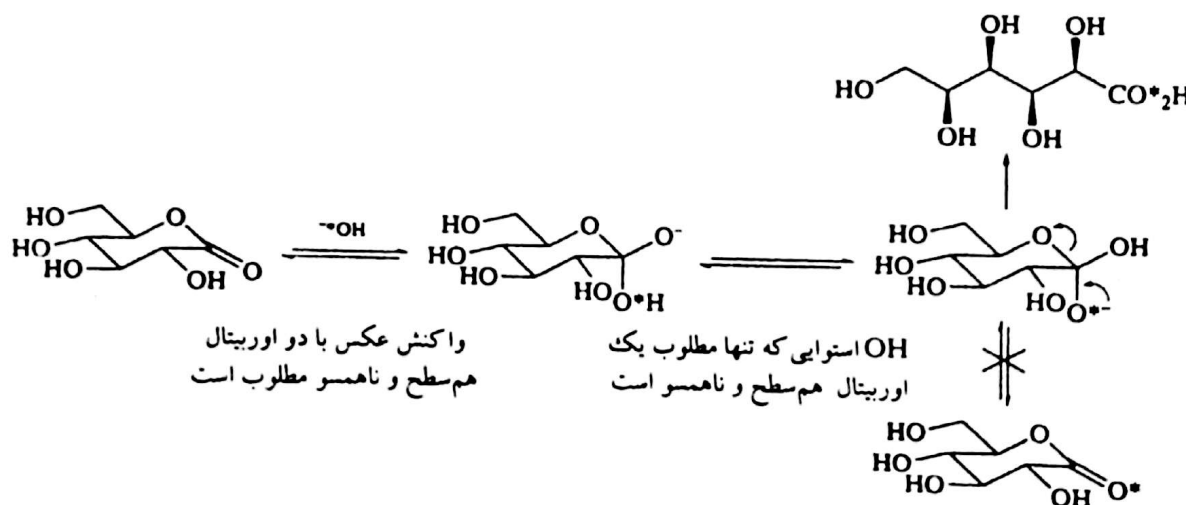
مثال دیگر، عدم تبادل اکسیژن با حللال در هیدرولیز گلوکونولاکتون است. استرهای غیرحلقوی ساده معمولاً در سرعتی رقابتی با هیدرولیز دستخوش تبادل ایزوتوبی می‌شوند. این واکنش از طریق واسطه افزایشی چهار وجهی رخ می‌دهد.





شکل ۳-۱۰ نموداری انرژی تقریبی برای صابونی شدن اتیل استرهای سیس- و ترانس- ۴- بوتیل سیکلوهگزان کربوکسیلیک اسید.

گلوكوناتون هیچ تبادلی نشان نمی‌دهد.<sup>۹۰</sup> دلیل آن است که واسطه چهاروجهی به طریقه‌ای فضایی‌گزین تشکیل و شکسته می‌شود. گرچه تبادل پروتون می‌تواند در واسطه چهاروجهی رخ دهد، اثر آنمری به حذف ترجیحی اکسیژن محوری می‌انجامد.



### ۸-۳ کشش زاویه‌ای و اثر آن بر واکنش‌پذیری

عامل مهم دیگر در واکنش‌پذیری، کشش زاویه‌ای است. کشش زاویه‌ای نتیجه انحراف زوایای پیوندی است و باعث بالارفتن محتوای انرژی مولکول می‌شود.<sup>۹۱</sup> در جدول برخی داده‌های مربوط به کشش زاویه‌ای کل برای تعدادی از هیدروکربن‌های حلقوی، دوحلقه‌ای و سه‌حلقه‌ای داده شده است. حلقه‌های شش عضوی تقریباً عاری از کشش زاویه‌ای هستند در حالی که انرژی کشش در حلقه‌های کوچکتر از ۶- ۷kcal/mol برابر سیکلوپنتان تا تقریباً ۳۰kcal/mol برای سیکلوپروپان افزایش می‌یابد. در ساختارهای پیچیده‌تر، کشش کل با انحراف بیشتر شکل هندسی از زوایای پیوندی بهینه فزونی می‌گیرد.

جدول ۳-۹ انرژی‌های کشش در برخی ترکیبات حلقوی (kcal/mol).

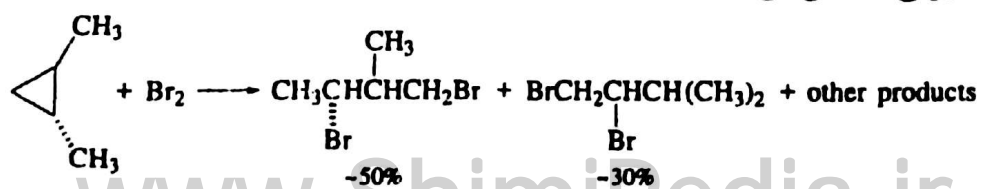
	27.5		63.2		68
	55.2		63.9		98
	26.5		54.9		37
	6.2		31.0		104
	0.0		25.6		7.4
	-1.9		15.8		89
	1.2		9.4		67 <sup>c</sup>
	154.7		96 <sup>b</sup>		

a. Data from K. B. Wiberg, *Angew Chem. Int. Ed. Engl.* 25:312 (1986).

b. D. S. Kabakoff, J.-C. G. Bünzli, J. F. M. Oth, W. B. Mammon, and J. A. Berson, *J. Am. Chem. Soc.* 97:1510 (1975).

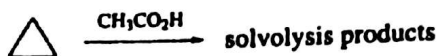
c. K. B. Wiberg, H. A. Connon, and W. E. Pratt, *J. Am. Chem. Soc.* 101:6970 (1979).

به دلیل افزایش انرژی حالت پایه ناشی از کشش زاویه‌ای، واکنش‌هایی که به گشوده شدن حلقه ترکیبات تحت کشش منجر می‌شوند، غالباً از واکنش‌های مشابه در سیستم‌هایی که تحت کشش نیستند، آسان‌تر پیش می‌روند. علاوه بر این، کشش حلقه باعث تغییرات کیفی در ماهیت پیوندها (هیبریداسیون) می‌شود و این تغییرات می‌توانند واکنش پذیری را افزایش دهند.<sup>۱۲</sup> برای مثال، در حالی که هیدروکربن‌های اشباع شده عادی در مقابل برم در تاریکی واکنش ناپذیرند، سیکلوپروپان به سرعت وارد واکنش‌هایی می‌شود که محصولات باز حلقه می‌دهند.<sup>۱۳</sup> محصولات این واکنش‌ها از گشایش حلقه، تشکیل کربوکاتیون و سپس جذب یون برومید، پدید می‌آیند. دو محصول دیگر، از نوآرایی واسطه کاتیونی تشکیل می‌شود.



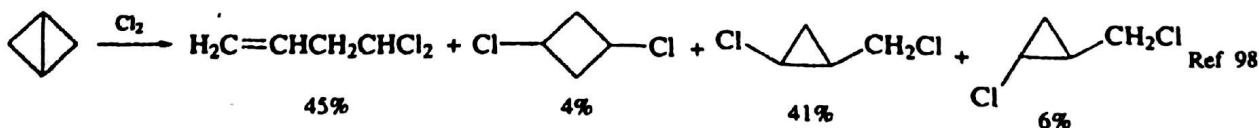
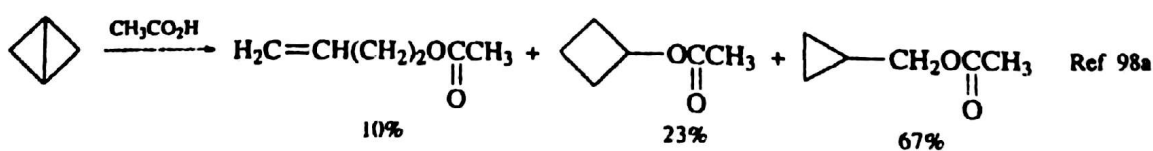
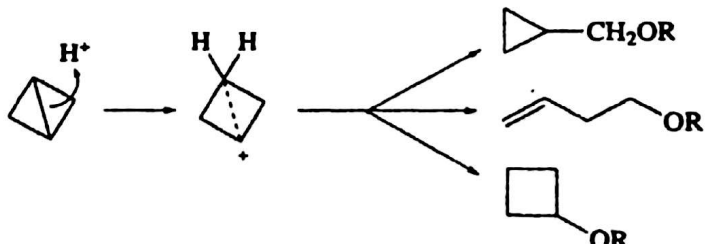
مطالعات سینتیکی و ساختار محصول واکنش استیک اسید با سیکلوپروپان‌ها و ترکیبات دو حلقه‌ای شامل حلقه‌های سه‌عضوی نشان داده است که پس از پروتون‌دارشدن حلقه سیکلوپروپان، افزایش نولکنوفیل در پراستخلاف‌ترین

کربن صورت می‌گیرد. در صد انواع مختلف محصول را توانایی کربن‌های پراستخلاف‌تر برای اسکان دادن باز مثبت تعیین می‌کند. حد جایگزینی در کربوکاتیون تازه تشکیل شده مهمترین عامل در تعیین میزان واکنش پذیری است. سرعت نسبی حلال کافت سیکلوپروپان و مشتقان متیل، ۱-دی‌متیل، ۱،۱-دی‌متیل، ۱،۱،۱-تری‌متیل و ۱،۱،۲-ترامتیل آن در استیک اسید حاکی از آن است که با افزایش گروه‌های الکترون‌دهنده متیل، بر سرعت واکنش افزوده می‌شود.<sup>۹۴</sup>



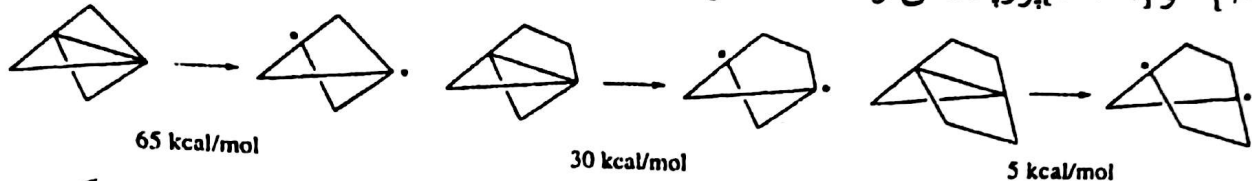
substituents	products		
	relative rate	acetate	alkene
none	1	100	0
1-Methyl	91	67	33
1,1-Dimethyl	639	10	96
1,1,2-Trimethyl	668	25	75
1,1,2,2-Tetramethyl	2135	15	85

بی‌سیکلو[۱-۱-۰]بوتان مثالی از مولکول‌هایی است که در آنها کشش زاویه‌ای شدید منجر به کاهش پایداری و افزایش واکنش پذیری می‌شود.<sup>۹۵</sup> حلقه بی‌سیکلو[۱-۱-۰]بوتان دارای انرژی کششی 63.9 kcal/mol بوده در پیوند مرکزی انرژی HOMO نسبتاً بالاست.<sup>۹۶</sup> پیوند مرکزی در بی‌سیکلو[۱-۱-۰]بوتان از اوریتال‌های *p*-نسبتاً خالص دو کربن سرپلی تشکیل می‌شود. این ویژگی‌های ساختاری در واکنش‌پذیری بیشترین مولکول در مقابل الکتروفیل‌ها منعکس می‌شوند.<sup>۹۷</sup> از حللال کافت کاتالیز اسیدی، محصولاتی ایجاد می‌شود که مشخصه کاتیون بی‌سیکلو بوتونیوم هستند (بخش ۱۲-۵). محصولات از گستینگی هردو پیوند مرکزی و جانبی تشکیل می‌شوند.

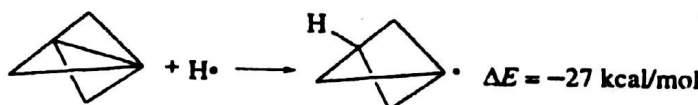


پروپلان‌ها گروه جالب دیگری از مولکول‌ها را تشکیل می‌دهند که واکنش‌پذیری آنها اثرات زوایای پیوندی منحرف شده را منعکس می‌سازد. با کوچکتر شدن پل‌ها در این مولکول‌ها، بر واکنش‌پذیری آنها افزوده می‌شود. همان‌طور که از فرمول ساختاری [۱-۱-۱]پروپلان پیدا است، این مولکول دارای شکلی بسیار غیرعادی است. جهت هر چهار پیوند برقرار شده با اتم‌های سرپل، به یک طرف اتم است.<sup>۹۸</sup> [۱-۲-۲]پروپلان رادر آرگون جامد در دمای ۴۵K می‌توان جداسازی کرد ولی در دماهای بالاتر تجزیه می‌شود و به صورت یک ماده خالص هم جداسازی نشده است.<sup>۹۹</sup> روند کاهش پایداری با افزایش کشش بارسیدن به [۱-۱-۱]پروپلان به شدت معکوس می‌شود. مشاهدات

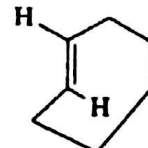
نشان می‌دهد که این ترکیب بسیار آهسته‌تر از [۲-۲-۱]پروپلان تجزیه می‌شود. برای درک این وضعیت، باید دانست که یک عامل اصلی در تعیین پایداری، قدرت پیوند مرکزی در برابر گستگی هومولیتیک است که مسیری برای تجزیه مولکول فراهم می‌آورد. این انرژی قویاً از اختلاف میان انرژی کشنی واکنش دهنده و انرژی کشنی دی‌رادیکال‌ها تأثیر می‌پذیرد. این اثر را در برآوردن انرژی لازم برای شکستن پیوند مرکزی در [۱-۱-۱]- و [۲-۲-۲]پروپلان می‌توان مشاهده کرد.<sup>۱۰۱</sup>



هرچه کشنش رها شده در اثر گستگی پیوند بیشتر باشد، مولکول واکنش پذیرتر است. افزایش چشمگیر پایداری [۱-۱-۱]پروپلان از این واقعیت ناشی می‌شود که در مرحله تشکیل دی‌رادیکال به اندازه پروپلان‌های دیگر کشنش رها نمی‌شود زیرا دی‌رادیکال تشکیل شده خود تا حد زیادی تحت کشنش است. جلوه دیگری از رهاسدن مقدار انرژی نسبتاً کمی که از شکسته شدن پیوند مرکزی ناشی می‌شود، در محاسبات<sup>\*</sup> MP4/6-31G\* روی واکنش عکس یعنی حلقه‌بندی قابل مشاهده است.<sup>۱۰۲</sup>



آلکن‌های حلقوی در صورتی که شکل هندسی مولکول اجازه ندهد همه کربن‌ها،  $sp^2$  در یک صفحه قرار گیرند، کشنش زیادی از خود نشان می‌دهند. *E*-سیکلوهپتن این وضعیت قابل مشاهده است.

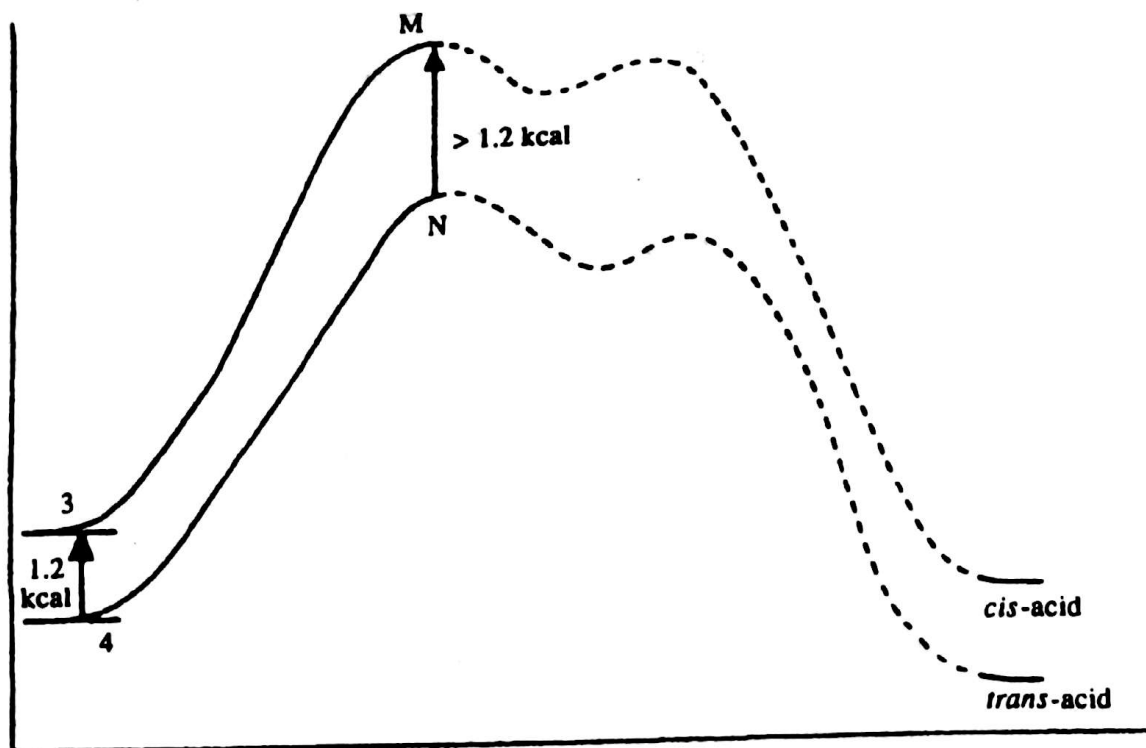


این مولکول که تنها پنج گروه متیلن بین دو اتم پیوند دوگانه در حالت ترانس دارد، به شدت تحت فشار بوده بسیار واکنش پذیر است. جداسازی *E*-سیکلوهپتن امکان پذیر نشده است ولی از طریق آزمایش تله گذاری، شواهدی برای تشکیل آن به دست آمده است.<sup>۱۰۳</sup> این آلکن در حضور واکنش‌گری که انتظار می‌رود به سرعت با آن واکنش دهد تولید می‌شود - که در این مورد، دی‌إن‌دی‌لز-آلدر بسیار واکنش پذیر ۵-دی‌متیل-۴،۳-ایزوپیزوفوران است. محصول افزایشی جداسازی شده همان ساختار و شیمی فضایی پیش‌بینی شده برای محصول افزایشی حاصل از *E*-سیکلوهپتن را دارد است. طول عمر *E*-سیکلوهپتن پس از ایجاد آن با تبدیل آن به ایزومر سپس از طریق واکنش نوری تعیین شده است. انرژی فعال‌سازی برای ایزومری شدن به *Z*-سیکلوهپتن حدوداً برابر با 17 kcal/mol است. طول عمر آن در پستان در ۰°C، حدود چند دقیقه است.<sup>۱۰۴</sup>

گرچه *E*-سیکلوهگزن به عنوان واسطه‌ای واکنش پذیر پذیرفته شده است، وجود آن به طور مستقیم مشاهده نشده است. با محاسبات MO در سطح 31G\* پیش‌بینی می‌شود که این ایزومر به اندازه 56 kcal/mol از ایزومر *Z* ناپایدارتر است و سد انرژی در مقابل تبدیل به ایزومر دیگر حدود 15 kcal/mol است.<sup>۱۰۵</sup>

*E*-سیکلواکتن نیز به طور چشمگیری تحت کشنش است ولی این کشنش به مرتب از *E*-سیکلوهپتن کمتر است. پایداری ایزومرهای *E* هردو ترکیب سیکلونون و سیکلودسن نسبت به ایزومرهای *Z* کمتر است. ولی برای سیکلواون‌دسن و سیکلودسن، ایزومرهای *E* هستند که پایدارترند.<sup>۱۰۶</sup> در جدول ۱۰-۳، داده‌های مربوط به پایداری نسبی سیکلوآلکن‌های C<sub>7</sub> تا C<sub>12</sub> داده شده است.

جدول ۳-۱۰ پایداری نسبی Z-و E-سیکلوآلکن‌ها.

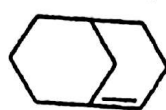


شکل هندسی ترکیبات دوحلقه‌ای نیز می‌تواند باعث انحراف پیوند آلکنی از حالت مسطح شود. یک مثال از این دست، بی‌سیکلو[۲-۲-۱]هپت-۱-إن است:

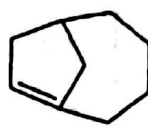


کوشش‌های به عمل آمده برای ساخت مدلی از این مولکول نشان می‌دهد که شکل هندسی سیستم دوحلقه‌ای قادر به اسکان دادن دو کربن  $sp^2$  مسطح نیست. به دلیل کشش موجود، این مولکول حداقل کثر می‌تواند به حالت گذار وجود داشته باشد<sup>۷</sup>. نبود یک چنین پیوندهای دوگانه سرپل مدت‌ها قبل به عنوان قاعده برتر<sup>۸</sup> فرمول‌بندی شد. با مشخص شدن اساس ساختاری برای قاعده برتر، معلوم شد که این ممنوعیت در برابر پیوندهای دوگانه سرپل، نمی‌تواند مطلق باشد<sup>۹</sup>. هنگامی که پل‌های سیستم دوحلقه‌ای به قدر کافی بلند باشند تا امکان مسطح شدن پیوند دوگانه فراهم گردد، آلکن‌های سرپل امکان وجود خواهند یافت. پیشنهاد شده است که حد آلکن‌های سرپل ناپایدار ولی قابل جداسازی هنگامی فرامی‌رسد که بزرگترین حلقه حاوی پیوند دوگانه حداقل هشت عضوی باشد. انتظار می‌رود آلکن‌های سرپلی، که در آنها بزرگترین حلقه دارای هفت عضو است، عمر بسیار کوتاهی داشته باشند<sup>۱۰</sup>. این فرضیات بعداً با توسعه سنتز موفقیت‌آمیز آلکن‌های سرپل مثل موارد نشان داده شده در طرح ۳-۳ مورد آزمون و تأیید قرار گرفتند. پیوندهای دوگانه تحت کشش در این مولکول‌ها به طرزی استثنایی واکنش پذیر بوده دستخوش انواع واکنش‌های افزایشی می‌شوند. کشش کل در آلکن‌های سرپل را می‌توان به کمک روش‌های مکانیک مولکولی محاسبه کرد. برخی انرژی‌های کشش محاسبه شده در طرح ۳-۳ داده شده‌اند<sup>۱۱</sup>. انرژی کشش کل را می‌توان به دو بخش تقسیم کرد که بخشی از آن از پیچش پیوند دوگانه کربن-کربن ناشی می‌شود. این کشش را باطمینان می‌توان برای پیش‌بینی پایداری آلکن‌های سرپل به کار برد<sup>۱۲</sup>.

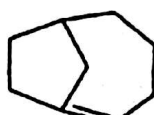
### طرح ۳-۳ آلکن‌های سرپل

Bicyclo[3.3.1]non-1-ene<sup>b,c</sup>

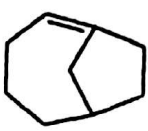
(24)

Bicyclo[4.2.1]non-1(8)-ene<sup>c,d</sup>

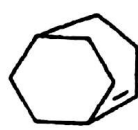
(25)

Bicyclo[4.2.1]non-1(2)-ene<sup>c,d</sup>

(30)

Bicyclo[3.2.1]oct-1-ene<sup>e</sup>

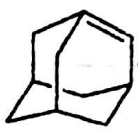
(37)

Bicyclo[3.2.2]non-1-ene<sup>f</sup>

(34)

Bicyclo[3.2.2]non-1(7)-ene<sup>f</sup>

(36)

Adamantene<sup>g</sup>

(37)

Bicyclo[2.2.2]oct-1-ene<sup>h</sup>

(38)

- a. Strain energies calculated by molecular mechanics (Ref. 111) are given in parentheses in kcal/mol.
- b. J. R. Wiseman and W. A. Pletcher, *J. Am. Chem. Soc.* **92**:956 (1970); J. A. Marshall and H. Faubl, *J. Am. Chem. Soc.* **89**:5965 (1967); M. Kim and J. D. White, *J. Am. Chem. Soc.* **99**:1172 (1977).
- c. K. B. Becker, *Helv. Chim. Acta* **60**:81 (1977).
- d. J. R. Wiseman, H.-F. Chan, and C. J. Ahola, *J. Am. Chem. Soc.* **91**:2812 (1969).
- e. W. G. Dauben and J. D. Robbins, *Tetrahedron Lett.* 1975:151.
- f. Transitory existence only; J. R. Wiseman and J. A. Chong, *J. Am. Chem. Soc.* **91**:7775 (1969).
- g. Transitory existence only; A. H. Alberts, J. Strating, and H. Wynberg, *Tetrahedron Lett.* 1973:3047; J. E. Gano and L. Eizenberg, *J. Am. Chem. Soc.* **95**:972 (1973); D. J. Martella, M. Jones, Jr., and P. v. R. Schleyer, *J. Am. Chem. Soc.* **100**:2896 (1978); R. T. Conlin, R. D. Miller, and J. Michl, *J. Am. Chem. Soc.* **101**:7637 (1979).
- h. A. D. Wolf and M. Jones, Jr., *J. Am. Chem. Soc.* **95**:8209 (1973); H. H. Grootveld, C. Blomberg, and F. Bickelhaupt, *J. Chem. Soc., Chem. Commun.* 1073:542.

### ۹-۳ روابط میان اندازه حلقه و سرعت حلقه‌بندی

مثال‌های بسیاری از واکنش‌های درون مولکولی منجر به حلقه‌بندی وجود دارند که به برقراری همبستگی میان سرعت واکنش و اندازه حلقه تشکیل شده کمک کرده‌اند.<sup>۱۱۲</sup> گرچه انواع مختلف واکنش‌ها، اختلاف‌های کمی بزرگی با یکدیگر نشان می‌دهند و استثنایی نیز وجود دارد، ترتیب  $10 > 8 > 7 > 6 > 5 > 4 > 3 > 2 > 1$  راهنمایی تقریبی از واکنش‌پذیری نسبی بسیاری از سیستم‌ها به شمار می‌رود. برخی داده‌های کمی مربوط به واکنش‌های متداول شامل جایگزینی یا مشارکت هسته‌دوستی طرح ۳-۴ ارائه شده است.

در جدول ۱۱-۳، داده‌های سرعت حلقه‌بندی برای یک سری آئیون‌های دی‌اتیل ( $\omega$ -برموآلکیل) مالونات برای حلقه‌های ۴ تا ۱۳ عضوی، ۱۷ عضوی و ۲۱ عضوی ارائه شده است. سرعت‌ها از مقدار بیشینه  $6 \times 10^2 \text{ s}^{-1}$  برای حلقه پنج عضوی تا  $2.9 \times 10^{-6} \text{ s}^{-1}$  برای حلقه ۱۱ عضوی در تغییر است.<sup>۱۱۳</sup>



## طرح ۴-۳ سرعت نسبی حلقه بندی به عنوان تابعی از اندازه حلقه

Reaction	Ring size =	Relative rate					
		3	4	5	6	7	8
1. <sup>a</sup> $\text{Br}(\text{CH}_2)_2\text{CO}_2^-$	— lactone	$8.3 \times 10^{-4}$	0.31	90	1	0.0052	$6 \times 10^{-5}$
2. <sup>b</sup> $\text{Br}(\text{CH}_2)_2\text{NH}_2$	— cyclic amine	0.07	0.001	100	1	0.002	—
3. <sup>c</sup> $\text{PhC}(\text{CH}_2)_2\text{Cl}$ 	— nucleophilic participation in solvolysis	—	0.37	36	1	0.13	—
4. <sup>d</sup>	— cyclic ether formation	—	—	—	1	0.01	$4 \times 10^{-4}$
5. <sup>e</sup> $\text{ArSO}_2\bar{N}(\text{CH}_2)_2\text{Cl}$	— cyclization	17	33	—	1	—	—

- a. C. Galli, G. Illuminati, L. Mandolini, and P. Tamborra, *J. Am. Chem. Soc.* **99**:2591 (1977); L. Mandolini, *J. Am. Chem. Soc.* **100**:550 (1978).  
 b. D. F. DeTar and W. Brooks, Jr., *J. Org. Chem.* **43**:2245 (1978); D. F. DeTar and N. P. Luthra, *J. Am. Chem. Soc.* **102**:4505 (1980).  
 c. D. J. Pasto and M. P. Serve, *J. Am. Chem. Soc.* **87**:1515 (1965).  
 d. G. Illuminati, L. Mandolini, and B. Masci, *J. Am. Chem. Soc.* **96**:1422 (1974).  
 e. R. Bird, A. C. Knipe, and C. J. M. Stirling, *J. Chem. Soc., Perkin Trans. 2* **1973**:1215.

در شکل ۱۱-۳، واکنش پذیری نسبی به صورت تابعی از اندازه حلقه برای دو واکنش جابجایی درون مولکولی دیگر یعنی تبدیل  $\omega$ -برموآلکان کربوکسیلات‌ها به لاکتون‌ها و تشکیل اترها از  $\omega$ -بروموآلکیل مونواترهای ۱-دی‌هیدروکسی بنزن نشان داده شده است.

نقسمی انرژی فعال‌سازی واکنش‌های حلقه بندی متداول معمولاً ویژگی‌های سازگاری را پدیدار می‌کند.  $\Delta H^\ddagger$  برای تشکیل حلقه‌های سه و چهار عضوی معمولاً از  $\Delta H^\ddagger$  برای حلقه‌های پنج و شش عضوی بالاتر است در حالی که  $\Delta H^\ddagger$  برای حلقه‌های سه عضوی کمترین مقدار منفی را دارد و بزرگی آن با مقدار مربوط به حلقه‌های چهار، پنج و شش عضوی قابل مقایسه است که از آن به بعد، با افزایش اندازه حلقه به بیش از هفت، منفی تر می‌شود. جمله  $\Delta H^\ddagger$  کششی را منعکس می‌کند که در اثر بسته شدن حلقه‌های سه عضوی توسعه می‌یابد در حالی که آنتروپی منفی بزرگ مربوط به حلقه‌های بزرگتر، حاکی از آن است که احتمال نسبی برای جهت‌گیری مولکولی لازم کاهش می‌یابد.

ویژگی‌های ساختاری متغیر و فردی بیشتری براین رابطه وسیع میان آنتالپی و آنتروپی مستولی هستند که از آن جمله می‌توان به تغییرات حلال‌پوشی و اثر انشعاب روی زنجیره میانی اشاره کرد. ولی از همه مهمتر قیدهای هندسی (فضالکترونی) روی حالت‌گذار واکنش حلقه بندی است. نزدیک شدن از جهتی خاص ارجح است که به نوع واکنش مورد نظر بستگی دارد در حالی که سرعت نسبی حلقه بندی به عنوان تابعی از اندازه حلقه برای واکنش‌های نشان داده شده در طرح ۴-۳ (که ممکن است واکنش‌های جایگزینی نولکنوفیلی درون مولکولی هستند) نشان دهنده روند کلی  $8 > 7 > 6 > 5 > 4$  هستند، واکنش‌هایی که از مکانیزم‌های دیگر پیروی می‌کنند، ممکن است رابطه‌ای متفاوت از خود نشان دهند.

برای یافتن همبستگی میان سهولت حلقه بندی با الزامات فضالکترونی حالت‌گذار تلاشی سیستماتیک توسط بالدوین و همکاران صورت پذیرفته است. آنها حلقه بندی را براساس سه عامل طبقه بندی کردند: (الف) اندازه حلقه، (ب) هیبرید کرbin در جایگاه واکنش و (پ) رابطه پیوند واکنش دهنده با حلقه در حال تشکیل (درون حلقه یا

برون حلقه بودن). انواع معین از حلقه‌بندی، مطلوب شناخته شده‌اند در حالی که عده‌ای دیگر به دلایل فضای‌الکترونی نامطلوب هستند. خلاصه‌ای از این روابط در جدول ۱۲-۳ داده شده است.

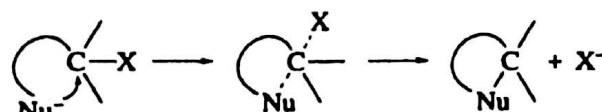
جدول ۱۲-۳ طبقه‌بندی انواع حلقه‌بندی.

Ring size	Exocyclic bonds			Endocyclic bonds <sup>b</sup>	
	<i>sp</i> (dig)	<i>sp</i> <sup>2</sup> (trig)	<i>sp</i> <sup>3</sup> (tet)	<i>sp</i> (dig)	<i>sp</i> <sup>2</sup> (trig)
3	unfav	fav	fav	fav	unfav
4	unfav	fav	fav	fav	unfav
5	fav	fav	fav	fav	unfav
6	fav	fav	fav	fav	unfav
7	fav	fav	fav	fav	fav

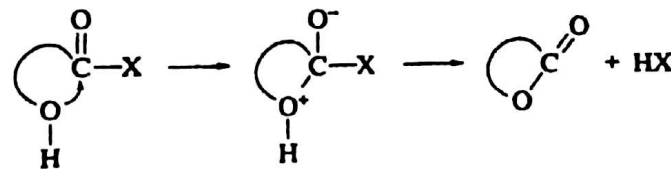
a. J. E. Baldwin, *J. Chem. Soc., Chem. Commun.* 1976:734.

b. The category *endo-tet* also exists but is somewhat rare and is not discussed here.

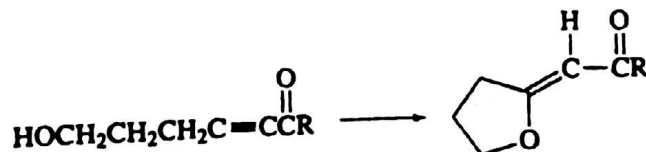
این طبقه‌بندی را با چند مثال می‌توان نشان داد. همه جایگزینی‌های هسته دوستی نشان داده شده در طرح ۱۲-۳ در طبقه اگزو-*tet* جای می‌گیرند. اتم واکنش دهنده دارای هیبرید  $sp^3$  است (چهاروجهی) و پیوند واکنش دهنده یعنی پیوندی که گروه ترک‌کننده با مولکول دارد، نسبت به حلقه در حال تشکیل در موقعیت اگزو است:



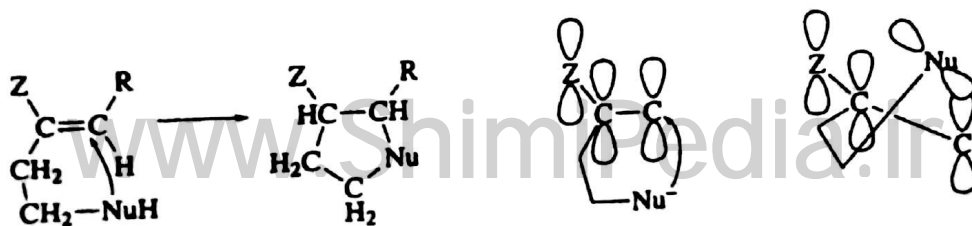
مثالی از یک فرایند اگزو-*trig*، لاکتونی شدن  $\omega$ -هیدروکسی کربوکسیلیک اسید است:



مثالی از فرایند اگزو-*dig*، حلقه‌بندی  $\epsilon$ -هیدروکسی- $\alpha,\beta$ -انیون است که با باز کاتالیز می‌شود.



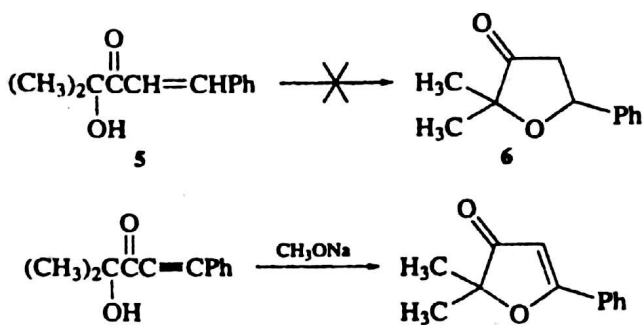
حال توجه خود را به حلقه‌بندی‌های نامطلوب مبدول می‌داریم. برای مثال، چرا باید بسته شدن یک حلقه پنج عضوی از طریق فرایند اندو-*trig* دشوار باشد؟ برای رسیدن به پاسخ باید مسیر نزدیک شدن هسته دوست را در نظر گرفت.<sup>۱۱۴</sup> اگر Z یک گروه مزدوج جاذب الکترون از نوع لازم برای فعال‌سازی پیوند دوگانه برای حمله هسته دوستی باشد، واکنش شامل LUMO سیستم مزدوج، یک اوربیتال  $\pi^*$  می‌شود. هسته دوست نمی‌تواند در صفحه گرهی سیستم  $\pi$  نزدیک شود لذا باید از بالا یا پایین حمله کند.



این الزام فضالکترونی به انحراف بزرگی از شکل هندسی معمولی حلقه‌های پنج عضوی منجر و باعث کشش می‌شود. همین انحراف و کشش است که حلقه‌بندی به شیوه ۵-اندو-*trig* را نامطلوب می‌سازد. بر عکس، ۵-اندو-*dig* امکان‌پذیر است زیرا سیستم استیلنی، اوریتالی فراهم می‌آورد که برای نزدیک شدن تقریباً مسطح در دسترس است.



مطابق با تحلیل‌های فوق، معلوم شده است که ترکیب ۵ نسبت به حلقه‌بندی کاتالیز شده با باز و تشکیل ترکیب ۶ واکنش ناپذیر است هرچند انتظار می‌رود پیوند دوگانه نسبت به افزایش مزدوج هسته دوستی واکنش پذیر باشد. از طرف دیگر، ترکیب استیلنی ۷ به سهولت حلقوی شده ترکیب ۸ را می‌دهد.<sup>۱۱۵</sup>

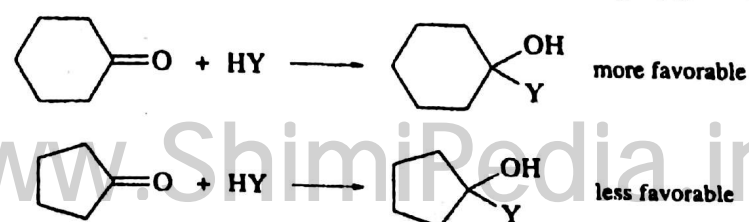


اصطلاحات مطلوب و نامطلوب دقیقاً به همین معنا به کار می‌روند. عوامل دیگری هم سرعت مطلق یک حلقه‌بندی مفروض را تعیین می‌کنند ولی این روابط، حاکی از نیاز به تعیین الزامات فضایی مشخصی هستند که ممکن است بر حالت‌گذار در واکنش‌های حلقه‌بندی تأثیر بگذارند.

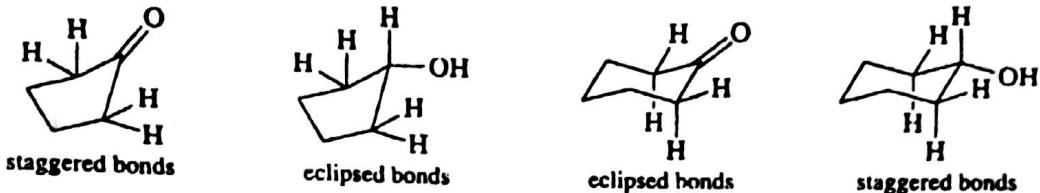
### ۱۰-۳ اثرات پیچشی و فضالکترونی

منظور از کشش پیچشی، مؤلفه‌ای از انرژی مولکولی است که از آرایش غیربهینه پیوندهای مجاور مثلاً در صورت‌بندی پوشیده اتان نتیجه می‌شود. ماهیت فضالکترونی و منبع کششی پیچشی در بخش ۱-۱-۱ مورد بحث قرار گرفته است. ارجحیت برای آرایش‌های نپوشیده حول پیوندهای ساده برای همه آلکان‌ها عمومیت دارد و هنگامی که قیدهای هندسی یک آرایش پوشیده را اجباری می‌سازند، مولکول دارای کشش پیچشی می‌شود. کشش پیچشی که در حالت‌های گذار شکل می‌گیرد، باعث بالارفتن انرژی فعال‌سازی واکنش می‌گردد.

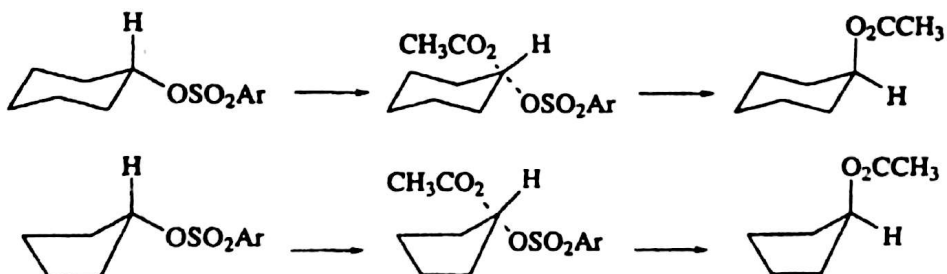
یک مورد کشش پیچشی نقشی عمده دارد، در واکنش‌هایی است که شامل تغییرات هیبرید در یک اتم از حلقه می‌شوند. یک رابطه کلی در خصوص سهولت نسبی تبدیل اتم‌های کربن در یک حلقه از  $sp^2$  به  $sp^3$  یا بالعکس بدست آمده است که در مقایسه واکنش‌پذیری سیکلوهگزانون‌ها با واکنش‌پذیری سیکلوپنتانون‌ها مفید است. واکنش‌هایی که در آنها یک کربن  $sp^2$  در حلقه شش عضوی به کربن  $sp^3$  تبدیل می‌شود، از واکنش‌های مشابه در حلقه پنج عضوی مطلوب‌تر است:



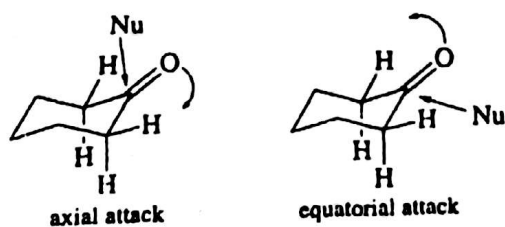
برای مثال، سیکلوهگزانون توسط سدیم بوروهیدرید ۲۳ بار سریع‌تر از سیکلوپنتان کاهش می‌یابد.<sup>۱۱۶</sup> توضیح این اختلاف در کشن پیچشی نسبی دو سیستم نهفته است. تبدیل یک اتم  $sp^2$  در حلقه پنج‌عضوی به  $sp^3$  باعث افزایش کشن پیچشی می‌شود زیرا تعداد برهمکنش‌های پوشیده در الکل افزایش می‌یابد. یک تغییر مشابه در حلقه شش‌عضوی به آرایشی کاملاً نبوده (صندلی) منجر می‌شود که باعث کاهش کشن پیچشی می‌گردد.



بر عکس، فرایندهایی که در آنها کربن  $sp^3$  به  $sp^2$  تبدیل می‌شود، برای حلقه‌های پنج‌عضوی نسبت به حلقه‌های شش‌عضوی مطلوب‌تر است. این را می‌توان به وسیله داده‌های مربوط به استولیز سیکلوپنتیل توسعه داد. مقایسه با سیکلوهگزیل توسعه نشان داد. واکنش اول با آنتالپی فعال‌سازی حدود ۳ kcal/mol کمتر از دومی پیش می‌رود.<sup>۱۱۷</sup> تحلیلی براساس مکانیک مولکولی معلوم کرد که این اختلاف تا حد زیادی با آزادشدن کشن پیچشی در مورد سیکلوپنتیل قابل توضیح است.<sup>۱۱۸</sup> توجه دارید که یک اثر کشن زاویه‌ای وجود دارد که در جهت عکس عمل می‌کند زیرا در مقابل افزایش زاویه پیوند در مرکز واکنش در حلقه سیکلوپنتیل به  $120^\circ$  مقاومت می‌شود.

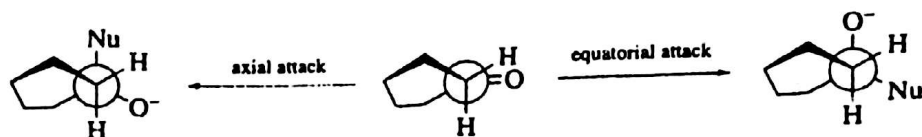


واکنش پذیری گروه کربوتیل در سیکلوهگزانون از یک جنبه دیگر نیز قابل تأمل است و آن ارجحیت برای نزدیک شدن واکنش‌دهنده‌ها از جهت محوری یا استوایی است. در صورت بندی صندلی سیکلوهگزانون، گروه کربونیل در موقعیتی نامتقارن قرار می‌گیرد. مشاهده می‌شود که هسته دوست‌های کوچک ترجیح می‌دهند از جهت محوری به گروه کربونیل سیکلوهگزانون نزدیک شوند هرچند که این موقعیت نسبت به حالت استوایی با ممانعت فضایی بیشتری همراه است.<sup>۱۱۹</sup> اختلاف در پیوندهای C-C (روی موقعیت محوری) در مقابل پیوندهای C-H (روی موقعیت استوایی) چگونه بر واکنش پذیری سیکلوهگزانون تأثیر می‌گذارد؟

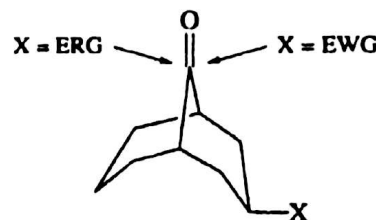


چند اثر ممکن در نظر گرفته شده است. یکی از آنها برهمکنش میان پیوندهای  $\sigma$  و اوربیتال  $*\pi$  گروه کربونیل است. این برهمکنش می‌تواند باعث انحراف شکل LUMO در کربونیل شود. یک پیشنهاد آن است که برهمکنش  $(C=C\pi^*) - (C-C\sigma)$  اوربیتال LUMO در  $C=O$  را منحرف می‌کند به طوری که در موقعیت محوری (C-C) بر چگالی آن افزوده می‌شود.<sup>۱۲۰</sup> یک رویکرد دیگر آن است که پیوندهای C-H محوی (در C-2, C-6) می‌توانند ترجیحاً حالت‌گذار را برای حمله محوری از طریق بخشیدن الکترون به اوربیتال \* پیوند در حال تشکیل با

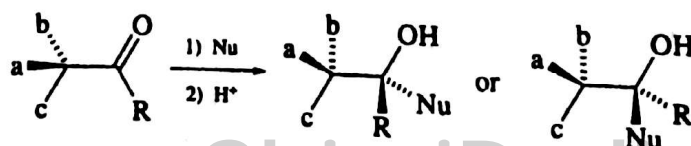
هسته‌دوست پایدار نمایند. در این پیشنهاد، پیوندهای C-H نسبت به پیوندهای C-C الکترون‌دهنده‌های بهتری در نظر گرفته می‌شوند.<sup>۱۲۱</sup> در دیدگاه سوم، بر مسطح بودن گروه کربونیل تأکید می‌شود که این عامل، پیوندهای C-H محوری روی C-6 و C-4 را برای هسته‌دوست نزدیک شونده بیشتر به حالت هم‌سطح و ناهم‌سو در می‌آورد. در آن صورت، مسیر محوری برای هسته‌دوست مطلوب‌تر خواهد شد.<sup>۱۲۲</sup> اثرات پیچشی نیز نقشی عمده در ارجحیت نزدیک‌شدن محوری دارند. در کتون اولیه، گروه کربونیل تقریباً توسط پیوندهای C-H محوری روی C-2 و C-6 پوشیده می‌شود. این کشش پیچشی توسط حمله محوری تخفیف می‌یابد ولی نزدیک‌شدن استوایی آن را قادری افزایش می‌دهد زیرا اتم اکسیژن باید از میان یک آرایش کاملاً پوشیده عبور کند.<sup>۱۲۳</sup> همچنین اثرات قطبی، که ریشه در دوقطبی‌های پیوندی برای استخلاف‌ها دارند، عاملی مهم به شمار می‌روند.<sup>۱۲۴</sup> به نظر می‌رسد که برای سیکلوهگزانون‌ها، اثر پیچشی، مهمترین عامل است و اثرات الکترواستاتیکی و فضالکترونی استخلاف در وهله دوم اهمیت قرار دارند.



هسته‌دوست‌های حجمی‌تر معمولاً از جهت استوایی به کربونیل سیکلوهگزانون نزدیک می‌شوند. این اثر به عنوان کنترل نزدیک‌شدن فضایی شناخته می‌شود و نتیجه دافعه‌هایی از نوع وان‌دروالسی است.<sup>۱۲۵</sup> بی‌سیکلو[۳-۳-۱]نونان-۹-اون کتون دیگری است که فضای‌گزینی جالبی از خود نشان می‌دهد. کاهش به‌وسیله دهنده‌های هیدریدی برای استخلاف‌های جذب‌کننده الکترون در C-5 ترجیحاً به حالت سین (X=EWG) و برای استخلاف‌های الکترون‌دهنده به حالت (X=ERG) است.<sup>۱۲۶</sup> این اثرات حتی برای گروه‌های حاوی فنیل‌های استخلافی نیز قابل مشاهده است.<sup>۱۲۷</sup>



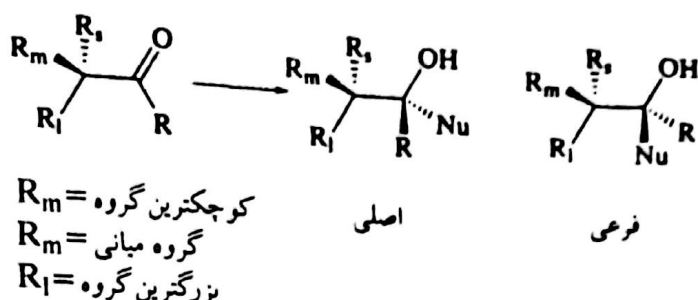
این اثرات به اختلاف در خصوصیت دهنگی در پیوندهای C-C در نتیجه استخلاف‌ها نسبت داده می‌شود. گروه‌های جذب‌کننده الکترون باعث کاهش ظرفیت دهنده و ارتقای افزایش سین می‌شود. به طریق دیگر می‌توان این اثر را با توجه به اثر الکترواستاتیکی مستقیمی که از دوقطبی پیوندی C-X ناشی می‌شود، توضیح داد.<sup>۱۲۸</sup> یک رابطه بسیار مهم میان شیمی فضایی و واکنش‌پذیری در مورد واکنش روى کربن<sup>2sp</sup> مجاور به یک مرکز کایوال وجود دارد. با استفاده از افزایش هسته‌دوستی به گروه کربونیل به عنوان یک مثال، می‌توان مشاهده کرد که دو محصول دیاسترomerی امکان‌پذیر است. فضای‌گزینی و قابلیت پیش‌بینی چنین واکنش‌هایی در کنترل شیمی فضایی در ستر اهمیت دارند.



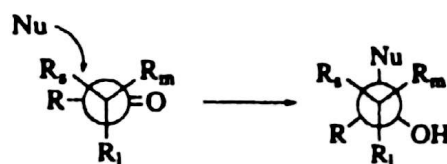
چند سال قبل، یک رابطه تجربی مشخص گردید که اکتون به عنوان قاعده کرام شناخته می‌شود. هنگامی که R<sup>2</sup>, R<sup>1</sup>,

■ شیمی آلی پیشرفته ۱۶۶

و  $R^3$  از نظر اندازه با هم تفاوت داشته باشد و جهت‌گیری مولکول به نحوی باشد که بزرگترین گروه نسبت به اکسیژن کربونیل به حالت آنتی باشد، محصول اصلی از افزایش سین هسته دوست به استخلاف کوچکتر تشکیل خواهد شد.<sup>۱۲۹</sup>



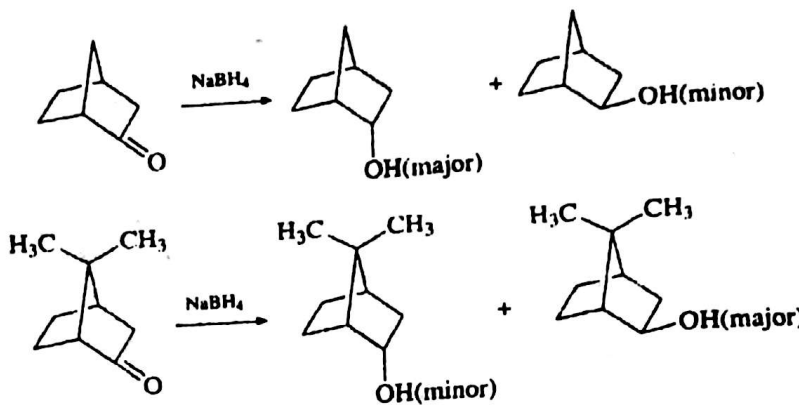
در تفسیر این نتیجه عوامل ساختاری گوناگون مد نظر قرار گرفته‌اند: عمومی‌ترین روش رضایت‌بخش بر یک مدل  
حالت‌گذار مبتنی است که توسط فلکین و همکاران بسط داده شده است و در آن جهت‌گیری بزرگترین گروه عمود  
بر گروه کربونیل است. افزایش هسته دوستی به گروه کربونیل از طرف مقابل رخ می‌دهد.



محاسبات STO-3G معلوم کرده است که حالت گذار مربوط به این واکنش به میزان چند کیلوکالری برمول از صورت بندی های ممکن دیگر پایدار تر است. علت ارجحیت این صورت بندی حالت گذار، پایدار شدن LUMO در پیوند C=O به وسیله اوریتال  $\sigma^*$  استخلافی است که نسبت به آن جهت گیری عمودی دارد.



هرچه LUMO پایدارتر باشد، برهمکنش با HOMO هسته دوستی که نزدیک می‌شود، قوی‌تر می‌شود. در آن صورت، فضای گزینی مشاهده شده (قاعده کرام) ترکیبی از اثرات فضای الکترونی که استخلاف عمودی را ارجح می‌سازند و اثری فضایی است که نزدیک شدن از جهتی را ارجح می‌سازد که کوچکترین استخلاف آن را اشغال کرده است. سیستم دیگری که در آن عوامل کنترل کننده جهت واکنش‌گر به طور سیستماتیک مورد مطالعه قرار گرفته است، سیستم حلقوی بسیکلولو [۱-۲-۲] است. شیمی فضایی تعدادی از واکنش‌های سیستم مادر و مشتق ۷،۷-دی‌متیل آن مورد بررسی قرار گرفته است. برخی از این نتایج در جدول ۱۳-۳ داده شده است. این واکنش‌ها نشان می‌دهند که با وارد شدن استخلاف‌های متیل، جهت مطلوب حمله وارون می‌شود. در سیستم مادر، جهت حمله اگزو مطلوب است. علت آن است که یک گروه  $\text{CH}_2-$  تنها در C-7 از واحد  $\text{CH}_2-\text{CH}_2-$  در طرف اندوی مولکول مقاومت فضایی کمتری ایجاد می‌کند. رابطه هیدروژن‌های اندو با جایگاه واکنش مشابه برهمکنش ۱،۳-دومحری در حلقه سیکلولهگزان صندلی است. هنگامی که یک گروه سین-۷-متیل وجود داشته باشد، حجم فضایی نسبی دو پل وارونه می‌شود. گروه‌های متیل در کنترل شیمی فضایی کاوش کتون‌های مربوط دارای اثری مشابه هستند.<sup>۱۳۲</sup>



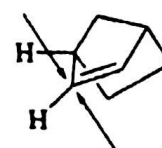
جدول ۱۳-۳ مقایسه فضایی و اکنش‌ها با بی‌سیکلو[۲-۲-۱]هپتان و ۷,۷-دی‌متیل‌بی‌سیکلو[۲-۲-۱]هپتن<sup>a</sup>

Reagent				
	exo	endo	exo	endo
B <sub>2</sub> H <sub>6</sub> (hydroboration)	99.5	0.5	22	78
RCO <sub>3</sub> H (epoxidation)	99.5	0.5	12	88
H <sub>2</sub> , Pd (hydrogenation)	90	10	10	90

a. H. C. Brown, J. H. Kawakami, and K. T. Liu, *J. Am. Chem. Soc.* 95:2209 (1973).

ارجحیت برای حمله اندو در ۷,۷-دی‌متیل‌نوربورن قطعاً مبنایی فضایی دارد به طوری که استخلاف ۷-متیل، جهت اگزو را برای نزدیک شدن محافظت می‌کند. مبنای ارجحیت حمله اگزو در نوربورن جای بحث بیشتری دارد. در یک توضیح فضایی محض، فرض می‌شود هیدروژن‌های اندو در C-5 و C-6 به لحاظ فضایی نزدیک شدن از طریق اندو را مانع می‌شوند. احتمالاً یک اثر پیچشی عمدۀ نیز وجود دارد. مقایسه حالت‌های اندو و اگزو برای نزدیک شدن نشان می‌دهد که نزدیک شدن از طریق اندو رخ دهد.<sup>۱۳۴</sup>

حمله اگزو در این کربن باعث افزایش زاویه میان دو پوند C-H و کاهش کشش پیچشی در رسیدن به حالت گذار می‌شود.



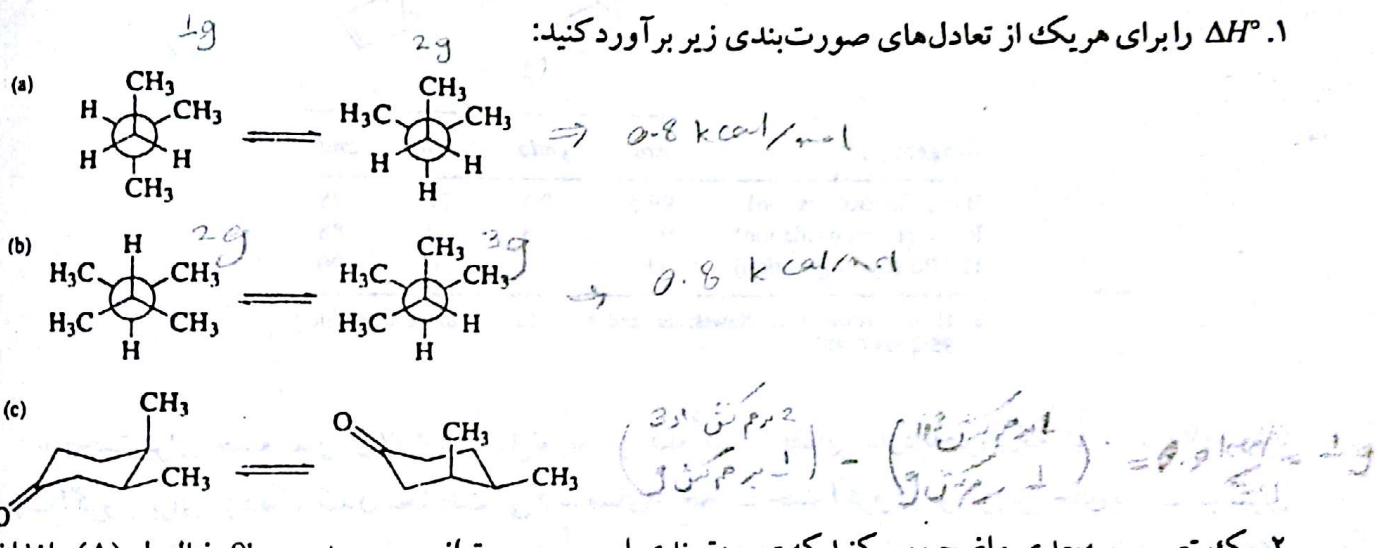
حمله اندو در این کربن باعث می‌شود پوند آن با هیدروژن در رفتن به حالت گذار، پوند C-H دیگر را بپوشاند.

## مراجع کلی

- J. Dale, *Stereochemistry and Conformational Analysis*, Verlag Chemie, New York, 1978.
- E. L. Eliel, N. L. Allinger, S. J. Wilen, and G. A. Mander, *Stereochemistry of Organic Compounds*, John Wiley & Sons, New York, 1965.
- E. L. Eliel, S. H. Wilen, and L. Mander, *Stereochemistry of Organic Compounds*, John Wiley & Sons, New York, 1993.
- A. Greenberg and J. F. Lieberman, *Strained Organic Molecules*, Academic Press, New York, 1978.
- L. M. Jackman and F. A. Cotton, eds., *Dynamic Nuclear Magnetic Resonance Spectroscopy*, Academic Press, New York, 1975. Chapters 3, 6, 7, and 14.
- E. Juaristi and G. Cuevas, *The Anomeric Effect*, CRC Press, Boca Raton, Florida, 1995.
- A. J. Kirby, *Stereoelectronic Effects*, Oxford University Press, Oxford, U.K., 1996.
- A. J. Kirby, *The Anomeric Effect and Related Stereoelectronic Effects at Oxygen*, Springer-Verlag, New York, 1983.
- M. S. Newman, ed., *Steric Effects in Organic Chemistry*, John Wiley & Sons, New York, 1956.
- M. Oki, *Applications of Dynamic NMR Spectroscopy to Organic Chemistry*, VCH Publishers, Deerfield Beach, Florida, 1983.

## مسائل

۱. را برای هر یک از تعادل‌های صورت‌بندی زیر برابر دکنید:  $\Delta H^\circ$



۲. یک تصویر سه‌بعدی واضح رسم کنید که صورت‌بندی ارجح سیس، ترانس-پری‌هیدرو-9b-فناالول (A) را نشان دهد.



۳. نسبت ترانس به سیس در حالت تعادل برای ۴-۴-بوتیل‌سیکلوهگزانول برای چند حلول در نزدیکی  $80^\circ\text{C}$  مشخص شده است:

Solvent	trans (%)	cis (%)
Cyclohexane	70.0	30.0
Benzene	72.5	27.5
1,2-Dimethoxyethane	71.0	29.0
Tetrahydrofuran	72.5	27.5
t-Butyl alcohol	77.5	22.5
i-Propyl alcohol	79.0	21.0

$$\Delta G^\circ = -RT \ln \frac{P_{\text{trans}}}{P_{\text{cis}}}$$

$$\Delta G^\circ = -1.92 \times 3.53 \ln \frac{P_{\text{trans}}}{P_{\text{cis}}}$$

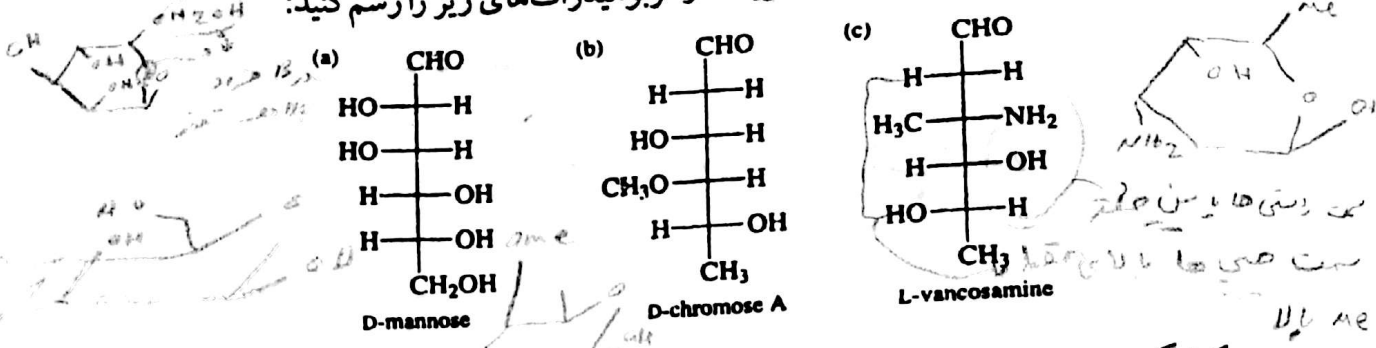
با استفاده از این داده‌ها، انرژی صورت‌بندی گروه هیدروکسیل را در هر حلال محاسبه کنید. آیا متوجه همبستگی خاصی میان ارجحیت صورت‌بندی مشاهده شده و خواص حلال شده‌اید؟ توضیح دهید.

۴. در صورت‌بندی‌های ارجح بسیاری هردو ترکیب ۱-متیل-۱-فنیل‌سیکلوهگزان و

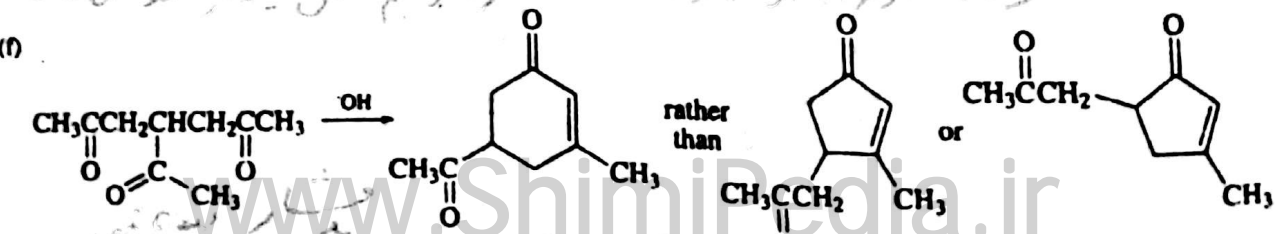
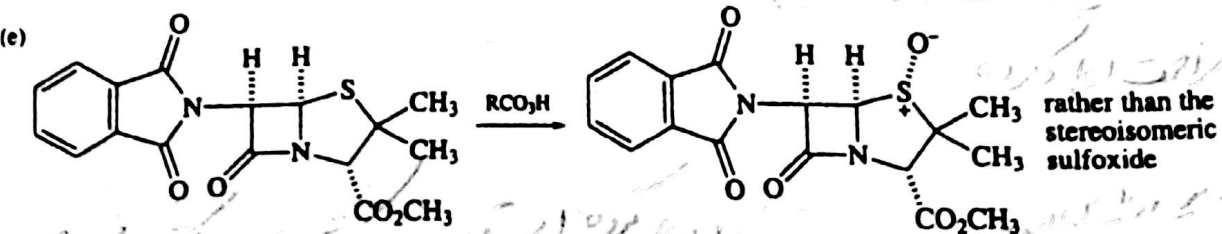
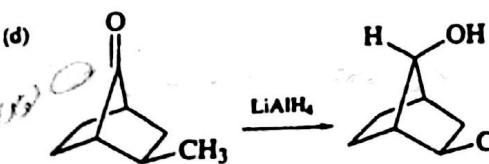
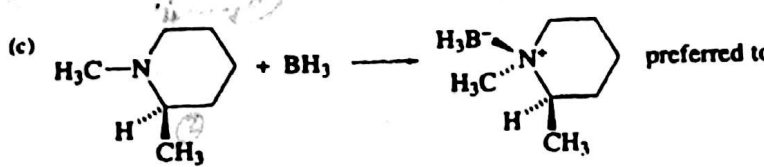
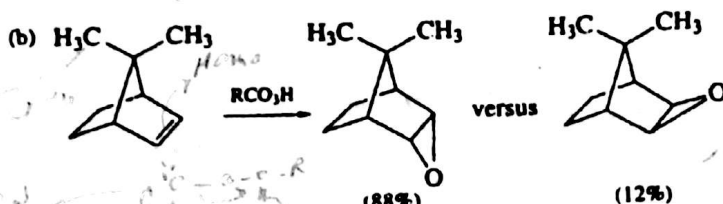
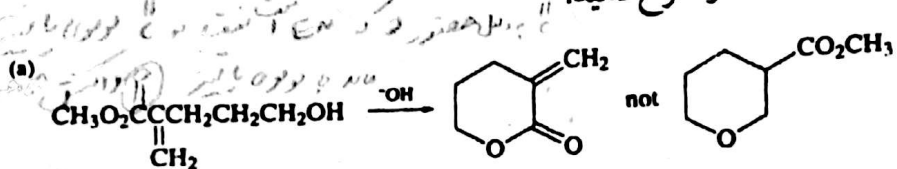
۲-متیل-۲-فنیل-۱،۳-دی‌اکسان، گروه فنیل در جهت‌گیری محوری قرار دارد هرچند که انرژی آزاد صورت‌بندی

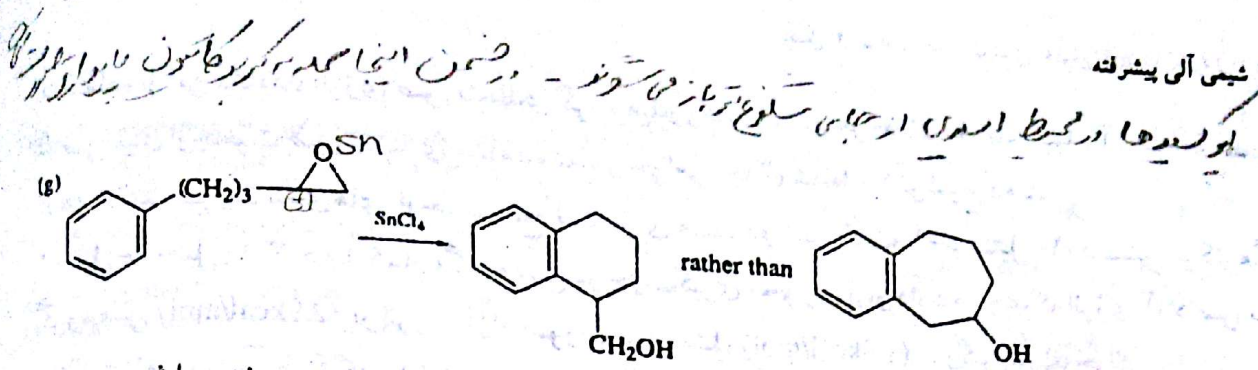
گروه فنیل (2.9 kcal/mol) از انرژی آزاد صورت‌بندی متیل (1.8 kcal/mol) بزرگتر است. چرا؟

۵. نمایش صورت‌بندی شکل‌های  $\beta$ -پیرانوزی هریک از کربوهیدرات‌های زیر رارسم کنید:

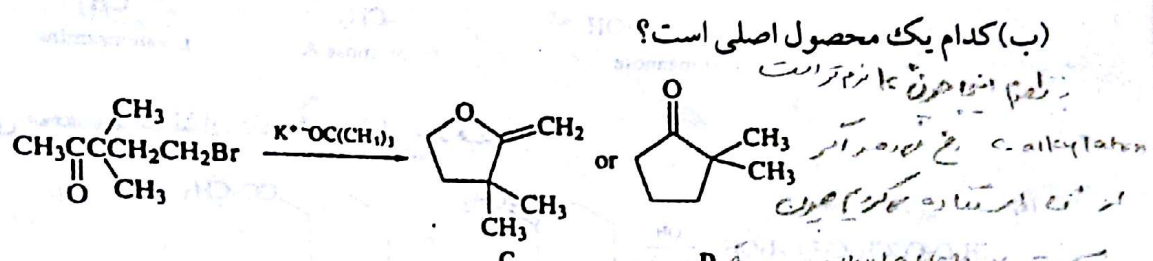
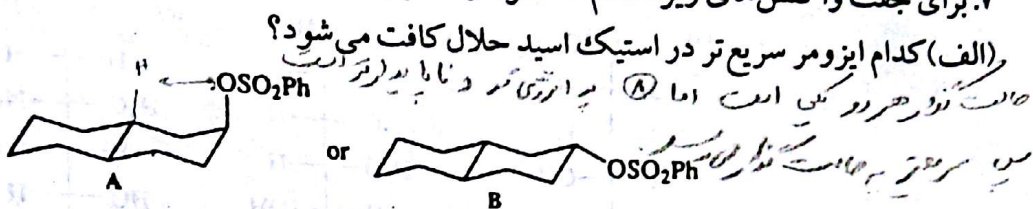


۶. مبنای تشکیل گزینشی محصولات نشان داده شده را شرح دهید.

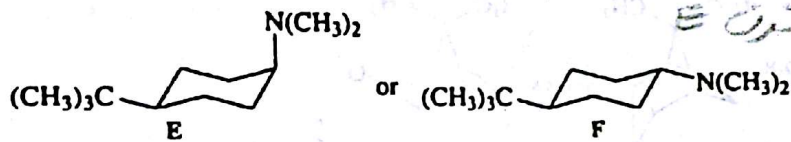




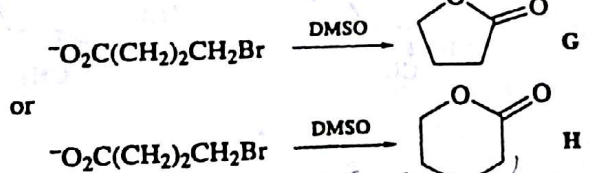
برای جفت واکنش های زیر، کدام محصول را مطلوب تر تشخیص می دهید و مبنای پیش بینی خود را شرح دهید.



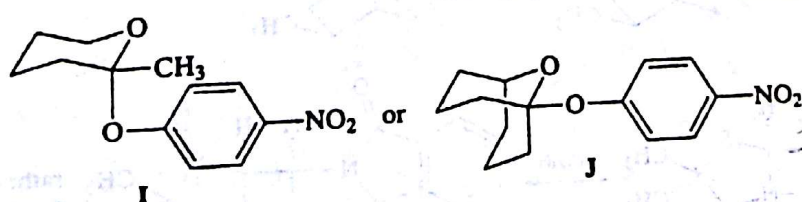
(پ) کدام ایزومر سریع تر به یک نمک چهارتایی تبدیل می شود؟



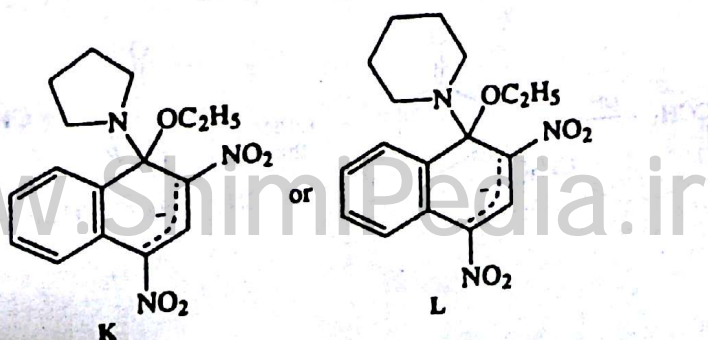
(ت) کدام لاکتون سریع تر تشکیل می گردد؟



(ث) کدام ترکیب سریع تر دستخوش هیدرولیز می شود؟



(ج) کدام ترکیب با از دادن یون اتوکسید، آروماتیک می شود؟

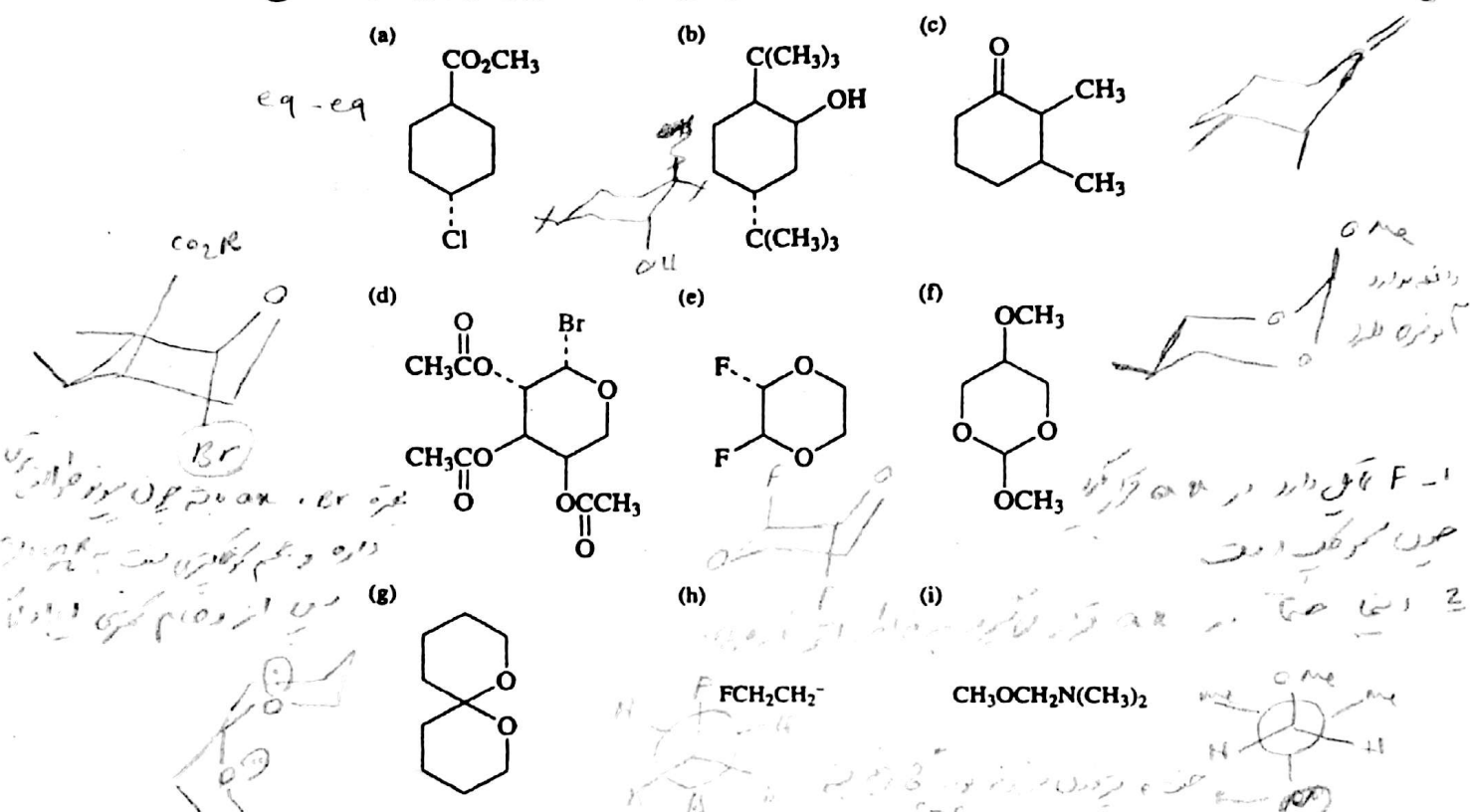


(ج) کدام ترکیب سریع تر توسط کرومیک اسید اکسایش می یابد؟

Oc1ccccc1 or Oc1ccc(O)c1

M N

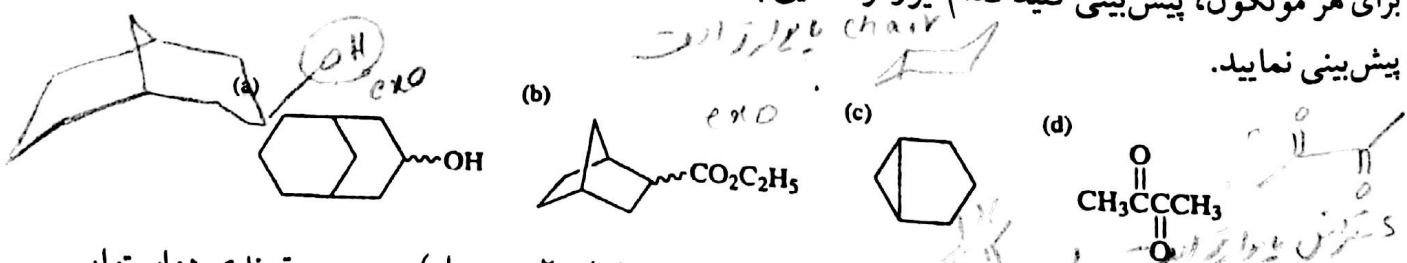
۸ پایدارترین صورت‌بندی هریک از مولکول‌های زیر را پیش‌بینی کنید و اساس پیش‌بینی خود را شرح دهید.



۹. با این فرض که سد انرژی برای پیوند C-C در استون حدود 0.75kcal/mol باشد، (الف) نمودار رابطه انرژی و صورت‌بندی‌ها را با استفاده از فرمول تقدیر نیومن برای مشخص کردن زوایای چرخش رسم کنید و (ب) نشان دهید این منحنی انرژی-صورت‌بندی با افزودن اولین متیل (اتیل متیل کتون) و سپس دومین استخلاف متیل (ایزوپروپیل متیل کتون) را، گ و ه متیل، که در حال چرخش است، چگونه تغییر خواهد کرد.

۱۰. با استفاده از داده‌های موجود در شکل ۳-۳ و با فرض قابلیت افزایش برهمکنش‌های گوش و پوشیده مشابه، که نشان داده شده است، مقدار ۳-۲ دی مترا بوتان رسم کنید.

۱۱- مونیکو مای ریز، سمت پنجه ایزومر فضایی پایدارتر از همه خواهد بود و صورت‌بندی ارجح آن را باع، هر مو لکما، سث بین، کنید کدام ایزومر



۱۲. ترانس-۳-آلکیل-۲-کلروسیکلوهگزانون‌ها (آلکیل-متیل، اتیل، ۲-پروپیل) در صورت بندی دواستوایی وجود دارد. بر عکس، اکسیم‌های O-متیل در صورت بندی‌های دومحوری وجود دارند. این ارجحیت برای صورت بندی دومحوری اترهای اکسیم را توضیع دهد.

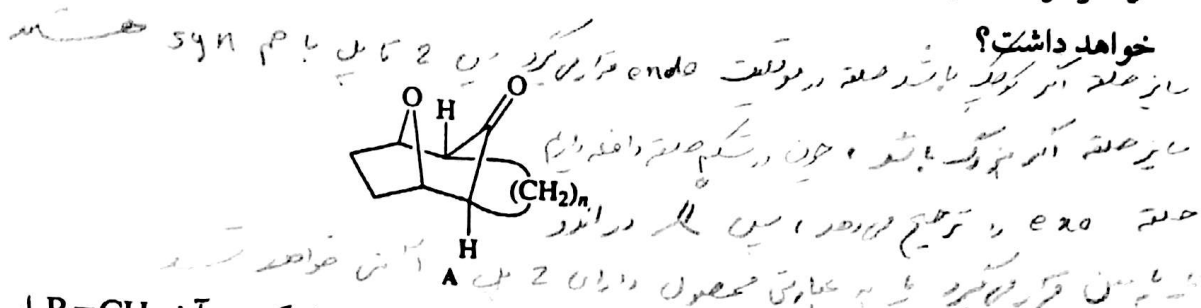
۱۳. سه مشتق از بوتادی‌ان وجود دارد که یک استخلاف، ۲-بوتیل و نه مشتق دی-۲-بوتیل دارد. صورت‌بندی

ارجع را برابر هریک از این ۱۲ ترکیب پیش‌بینی کنید.

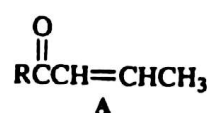
۱۴. صورت‌بندی‌های ممکن برای متیلن سیکلو‌مگزان‌های استخلاف شده در موقعیت ۳ را در نظر بگیرید. آیا انتظار دارید استخلاف‌های متداول نسبت به همان استخلاف‌ها روی حلقه سیکلو‌مگزان ارجحیت بیشتر یا کمتری

برای جهت‌گیری استوایی از خود نشان دهند؟ *نمودار ارجحیت حریض از هر کدام از اینهاست؟*

۱۵. جنبه‌های صورت‌بندی و فضای‌شیمیایی را که باید برای توصیف کامل ساختار مولکول‌های دارای ساختار کلی A در نظر گرفت، مورد بحث قرار دهید. اندازه پل  $(CH_2)_n$  چه تأثیری بر تعادل‌های صورت‌بندی در این مولکول‌ها



۱۶. صورت‌بندی ارجع را برابر دو ایزومر Z و E-۳-پنتن-۲-ون (A) که در آن  $R=CH_3$  است، پیش‌بینی کنید. انتظار دارید با افزوده شدن براندازه R، تصویر صورت‌بندی این دو ایزومر چگونه تغییر کند؟



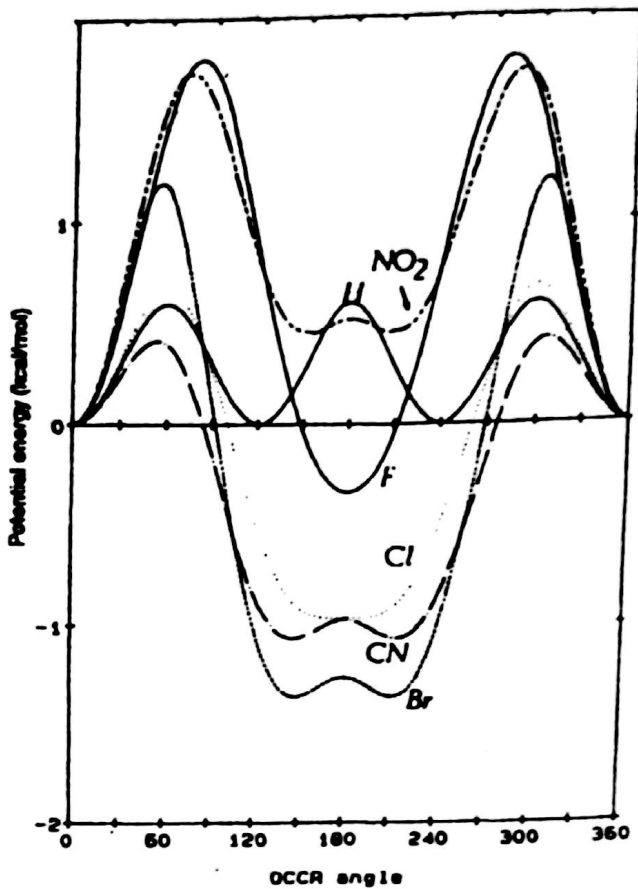
براندازه R، ارجاع می‌شود. می‌از خدم *S* مراکش می‌باشد.

۱۷. در دو شکل ۱۷-الف و ۱۷-ب اثری به صورت تابعی از چرخش برای استالدھیدهای استخلاف شده در موقعیت ۲ داده شده است که  $\theta = 0^\circ$  با صورت‌بندی سین و  $\theta = 180^\circ$  با صورت‌بندی آنتی متناظر است. محاسبات با استفاده از روش MP3 انجام شده‌اند. شکل ۱۷-الف به خلاصه مربوط می‌شود در حالی که شکل ۱۷-ب برای حفره حلالی با ثابت دی‌الکتریک 4.7 است. در جدول زیر، سدهای محاسبه شده ارائه گردیده است. جنبه‌های زیر را مورد بحث قرار دهید: (الف) ترتیب  $F > Cl > Br$  را برای صورت‌بندی‌های سین توجیه کنید. (ب) جایه‌جایی به سمت پذیرش صورت‌بندی آنتی در محیط‌های قطبی تر را توجیه کنید.

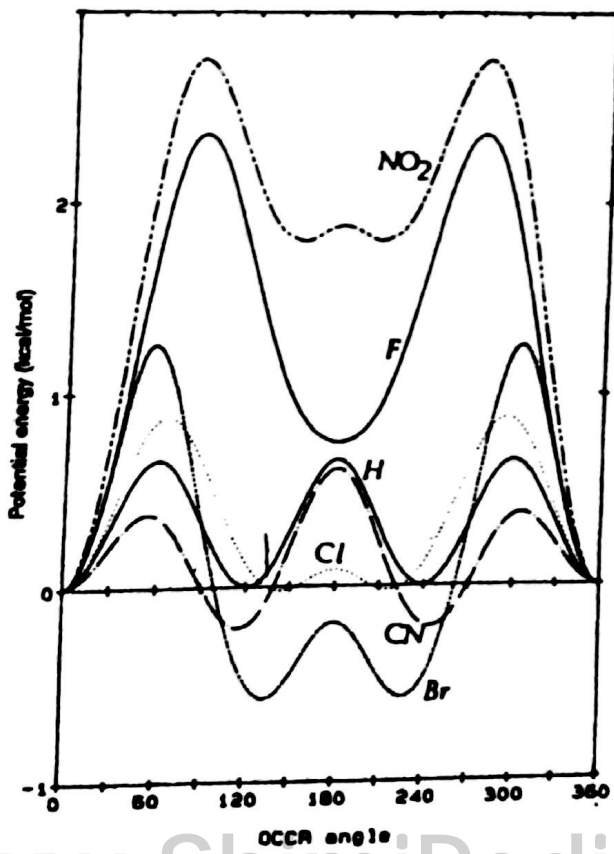
پایداری نسبی صورت‌بندی‌ها و سدهای چرخشی برای استالدھیدهای استخلاف شده در موقعیت ۲ (kcal/mol)

Rotational barriers

R	$E_{\text{syn}} - E_{\text{anti}}$	<i>syn → anti</i>		<i>anti → anti</i>	
		Vacuum	$\epsilon = 4.7$	Vacuum	$\epsilon = 4.7$
H	0.0	0.0	0.60	0.65	0.60
F	-0.34	+0.74	1.79	2.36	0.0
Cl	-0.97	-0.02	0.68	0.87	0.0
Br	-1.36	-0.57	1.20	1.25	0.11
CN	-1.07	-0.21	0.43	0.38	0.39
$\text{NO}_2$	+0.46	+1.85	1.73	2.75	0.09

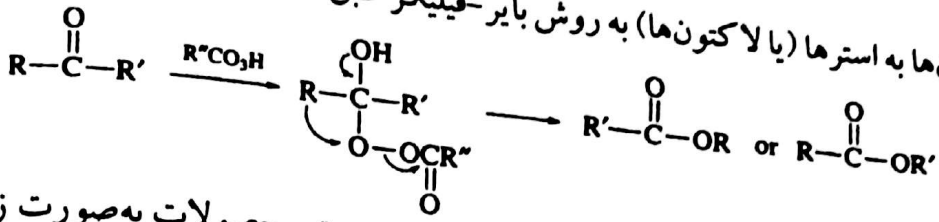


شکل ۱۷-الف انرژی پتانسیل استالدھیدهای استخلافشده به صورت تابعی از زاویه OCCR نسبت به انرژی صورت بندی سین (مولکول ها مجزا هستند:  $\angle OCCR = 0^\circ$ )

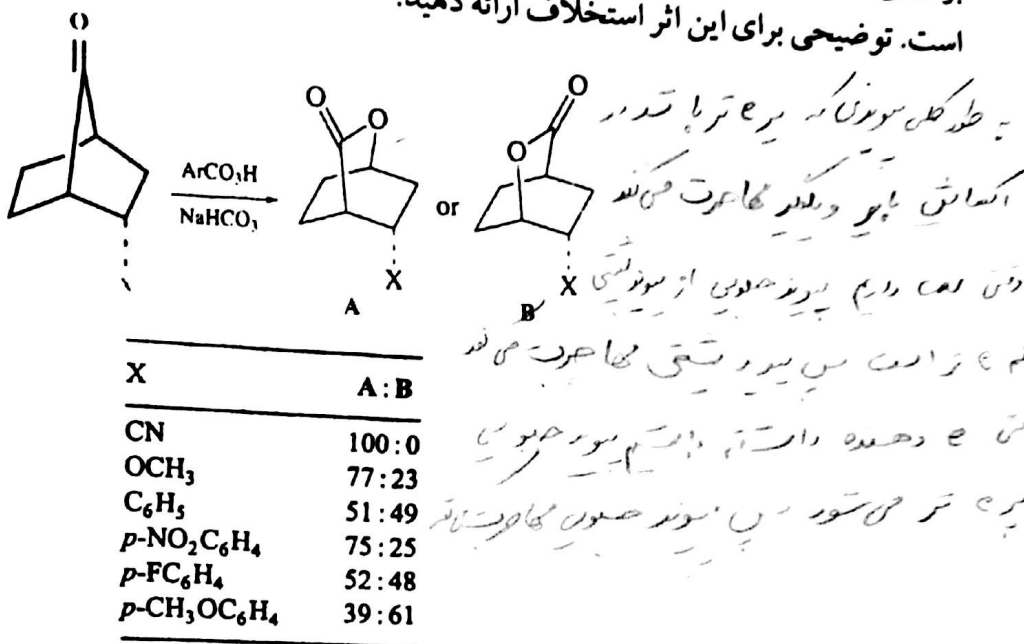


شکل ۱۷-ب انرژی پتانسیل استالدھیدهای استخلافشده به صورت تابعی از زاویه OCCR نسبت به انرژی صورت بندی سین (مولکول ها حلال پوشیده هستند:  $\angle OCCR = 0^\circ$ )

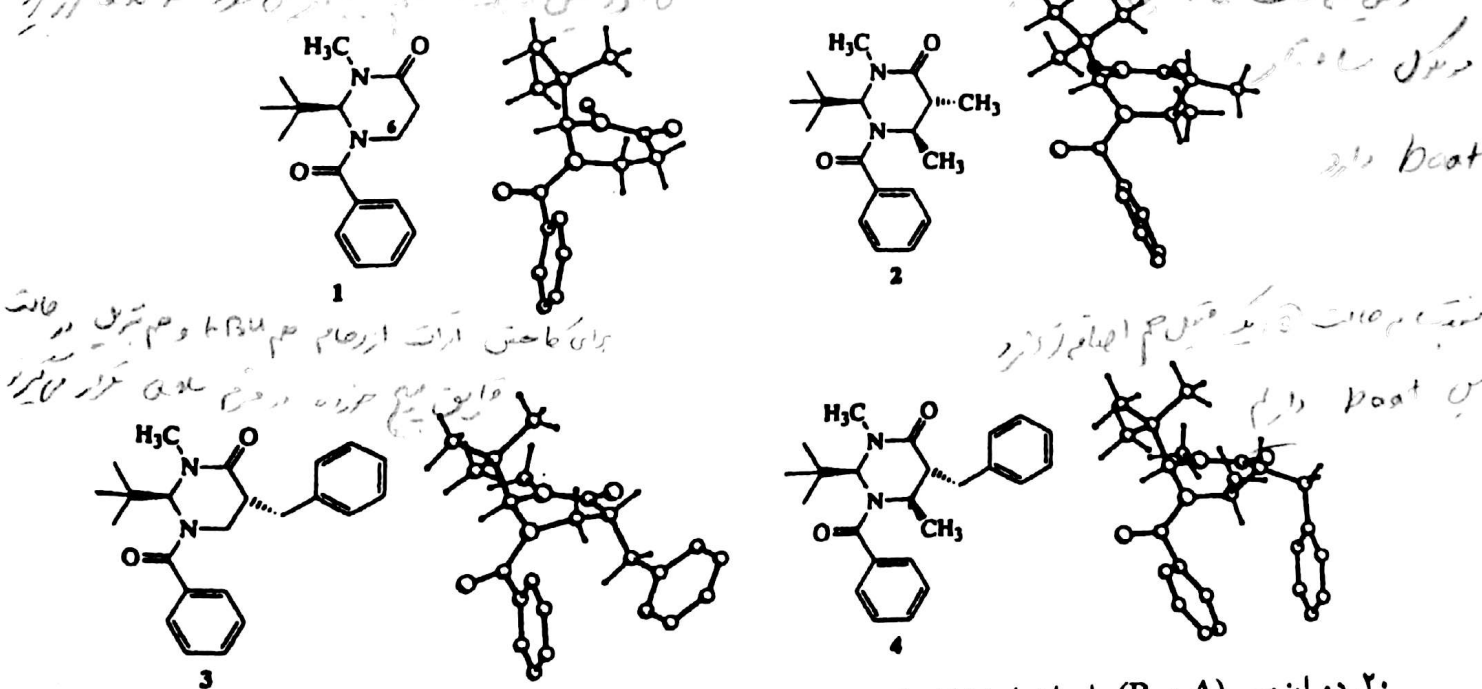
۱.۱۸ اکسایش کتون‌ها به استرها (یا لاکتون‌ها) به روش بایر-فیلیگر طبق مکانیزم زیر رخ می‌دهد.



برای بی‌سیکلو[۲-۲-۱]هپتان-۷-اون‌های دارای استخلاف اندو، نسبت محصولات به صورت زیر مشاهده شده است. توضیحی برای این اثر استخلاف ارائه دهد.

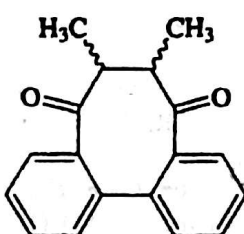


۱.۱۹ آمیدهای ۱ تا ۴ همگی صورت‌بندی‌هایی را اختیار می‌کنند که در آنها گروه ۶-بوتیل دارای موقعیت شبهمحوری است و در نتیجه برای حلقه شش‌عضوی صورت‌بندی غیرصنبدی خواهیم داشت. منشاء این اثر ساختاری را توضیح دهد.



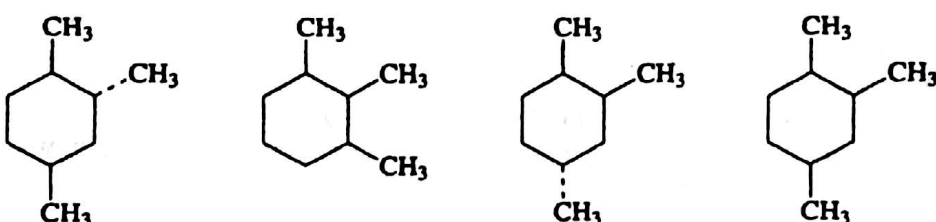
۲. دو ایزومر (A) و (B) با ساختار نشان داده شده در زیر به دست آمده و جداسازی شده‌اند. طیف NMR بک ایزومر (A) دو پیک متیل (دوتایی در 1.03 ppm و 1.22 ppm) و دو پیک چهارتایی (2.68 ppm و 3.47 ppm) برای گروه‌های C-H نشان می‌دهد. طیف ایزومر دیگر (B) یک علامت برای متیل (دوتایی در 1.25 ppm) و

پروتون‌های متین (چهارتایی پهن در 2.94 ppm) نشان می‌دهد. طیف‌های هردو ترکیب با دما تغییر می‌کنند. برای ایزومر A در 95°C، جفت‌های دوتایی متیل و چهارتایی متین هردو به یک علامت تبدیل می‌شوند (که البته هنوز به ترتیب دوتایی و چهارتایی هستند). طیف دمای پایین (40°C-) با طیف دمای اتاق تفاوتی ندارد. برای ایزومر B در 40°C-، علامت‌های متیل به دوتایی باشد نامساوی (1.38 ppm و 1.22 ppm) به نسبت ۹ به ۵ شکافته می‌شوند. سیگنال متین نیز به دو سیگنال پهن در 3.07 ppm و 2.89 ppm شکافته می‌شود که آن نیز به نسبت ۹ به ۵ است. با استفاده از اطلاعات بالا، شیمی فضایی دو ایزومر A و B را مشخص کنید و دلیل وابستگی طیف NMR هر کدام از ایزومرها به دما را شرح دهید.

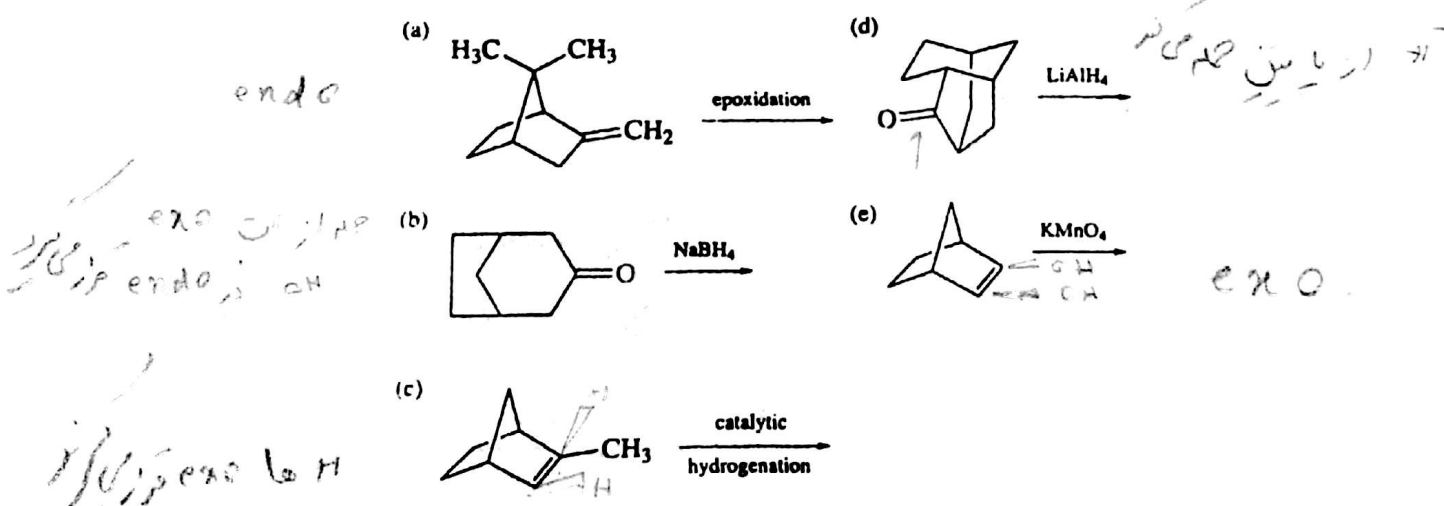


برای ایزومر A دو سیگنال پهن در ۱.۲۲ و ۱.۳۸ ppm داشت  
برای ایزومر B دو سیگنال پهن در ۲.۸۹ و ۳.۰۷ ppm داشت  
و این دو سیگنال نسبت ۹:۵ دارند  
جفت دوتایی متین همچنان که در ایزومر A دارد  
متین همچنان که در ایزومر B دارد  
پس از این تجزیه دو سیگنال پهن در ۱.۲۲ و ۱.۳۸ ppm و دو سیگنال پهن در ۲.۸۹ و ۳.۰۷ ppm فراهم شد

۲۱. اختلاف انرژی میان صورت‌بندی‌های صندلی پایدار و ناپایدار هر کدام از تری‌متیل‌سیکلوهگزان‌های زیر را برآورد کنید.



۲۲. شیمی فضایی هر کدام از واکنش‌های زیر را پیش‌بینی کنید:



## مراجع کلی

- For a review of the concept of strain, see K. B. Wiberg, *Angew. Chem. Int. Ed. Engl.* 25:312 (1986).
- F. H. Westheimer, in *Steric Effects in Organic Chemistry*, M. S. Newman, ed., John Wiley & Sons, New York, 1956, Chapter 12; J. E. Williams, P. J. Stang, and P. v. R. Schleyer, *Annu. Rev. Phys. Chem.* 19:531 (1968); D. B. Boyd and K. P. Lipkowitz, *J. Chem. Educ.* 59:269 (1982); P. J. Cox, *J. Chem. Educ.* 59:275 (1982); N. L. Allinger, *Adv. Phys. Org. Chem.* 13:1 (1976); E. Osawa and H. Musso, *Top. Stereochem.* 13:117 (1982); U. Burkett and N. L. Allinger, *Molecular Mechanics*, ACS Monograph 177, American Chemical Society, Washington, D.C., 1982.